

Hochschule für Angewandte Wissenschaften Hamburg
Hamburg University of Applied Sciences

Bachelorthesis

Richard Günther

Vorausschauend-adaptives Energiemanagement auf
einem energieautonomen eingebetteten System

Richard Günther

**Vorausschauend-adaptives Energiemanagement auf einem
energieautonomen eingebetteten System**

Bachelorthesis eingereicht im Rahmen der Bachelorprüfung
im Studiengang Mechatronik
der Fakultät Technik und Informatik
der Hochschule für Angewandte Wissenschaften Hamburg

Betreuender Prüfer: Prof. Dr. rer. nat. Rasmus Rettig
Zweitgutachter: Prof. Dr. rer. nat. Thomas Lehmann

Eingereicht am: 15.04.2014

Richard Günther

Thema der Arbeit

Vorausschauend-adaptives Energiemanagement auf einem energieautonomen eingebetteten System

Stichworte

Energiemanagement, eingebettete Systeme, energieautonome Systeme, vorausschauend, adaptiv

Kurzzusammenfassung

In dieser Bachelorthesis wird ein vorausschauendes Energiemanagement auf einem autonom mit Energie versorgten eingebetteten System prototypisch umgesetzt. Es wird ein Algorithmus entwickelt, welcher gestützt von Wettervorhersagen die Energieaufnahme des eingebetteten Systems vorausschauend beeinflusst.

Title of the paper

Predictive and adaptive powermanagement on an autonomously powered embedded system

Keywords

power management, embedded systems, autonomously powered systems, predictive, adaptive

Abstract

In this thesis a prototype for predictive power management on an autonomously powered embedded system is implemented. An algorithm is developed which predictively controls the power consumption of the embedded device using weather forecast data.

Inhaltsverzeichnis

| | |
|--|-----------|
| 1. Einführung | 1 |
| 1.1. Motivation | 1 |
| 1.2. Zielsetzung und Aufgabenstellung | 2 |
| 2. Stand der Technik | 3 |
| 2.1. Prädiktive Systeme | 3 |
| 2.1.1. Prädiktiver, selbstadaptiver Heizungsregeler | 3 |
| 2.1.2. Vorausschauende Getriebesteuerung in Nutzfahrzeugen | 5 |
| 2.2. Energiemanagement auf eingebetteten Systemen | 5 |
| 2.2.1. Power States (ACPI-States) | 5 |
| 2.2.2. Clock-Management | 7 |
| 2.2.3. Peripherie-Management | 7 |
| 3. Analyse | 8 |
| 3.1. Szenario: Autonome Messstation | 8 |
| 3.2. Anforderungsanalyse | 9 |
| 3.2.1. Anforderungen an die Hardware | 9 |
| 3.2.2. Anforderungen an die Software | 11 |
| 4. Konzept | 13 |
| 4.1. Verhalten des Gesamtsystems | 13 |
| 4.2. Energiemanagement-Ansatz | 13 |
| 4.3. Energiefluss | 14 |
| 4.3.1. Berechnung des Energieverbrauchs | 15 |
| 4.3.2. Berechnung der Energieerträge | 19 |
| 4.4. Vorausschauender Algorithmus | 20 |
| 4.4.1. Ablauf der Optimierung | 21 |
| 4.4.2. Vorausberechnung zukünftiger Systemzustände | 21 |
| 4.4.3. Optimierung des Aktivitätslevels | 23 |
| 5. Realisierung | 26 |
| 5.1. Übersicht der verwendeten Komponenten | 26 |
| 5.1.1. Eingebettetes System | 26 |
| 5.1.2. Energieversorgung | 28 |

| | |
|---|-----------|
| 5.1.3. Sensorik | 29 |
| 5.1.4. Gesamtsystem | 29 |
| 5.2. Betriebssystem | 30 |
| 5.2.1. Yocto Embedded Linux | 30 |
| 5.2.2. Anpassung des Linux-Kernels | 31 |
| 5.3. Implementierung der Anwendungssoftware | 33 |
| 5.3.1. Entwicklungsumgebung | 34 |
| 5.3.2. Hardware-Zugriff | 34 |
| 5.3.3. Verwendete Strukturen | 35 |
| 5.3.4. Umsetzung der Anwendungssoftware | 36 |
| 5.3.5. Verwendung der Software | 40 |
| 5.4. Implementierung der Anwendungssoftware auf die vorhandene Hardware | 41 |
| 5.4.1. Modellierung des Gesamtsystems | 41 |
| 5.4.2. Auslegung der Aktivitätslevel | 44 |
| 6. Messungen und Auswertung | 49 |
| 6.1. Messungen | 49 |
| 6.1.1. Messaufbau | 49 |
| 6.1.2. Durchführung der Messungen | 50 |
| 6.1.3. Messergebnisse | 51 |
| 6.2. Auswertung | 59 |
| 6.2.1. Verhalten unter statischen Bedingungen | 59 |
| 6.2.2. Verhalten unter dynamischen Bedingungen | 59 |
| 6.2.3. Bewertung des Gesamtsystems | 60 |
| 7. Zusammenfassung | 61 |
| 8. Ausblick | 62 |
| 8.1. Optimierung des Algorithmus | 62 |
| 8.2. Optimierung Software | 63 |
| 8.3. Einsatz optimierter Hardware | 64 |
| Tabellenverzeichnis | 65 |
| Abbildungsverzeichnis | 66 |
| Abkürzungsverzeichnis | 68 |
| Literaturverzeichnis | 69 |
| A. Anhang | 71 |
| A.1. CD | 72 |

A.2. Quellcode: Energiemanagement-Applikation 73

1. Einführung

1.1. Motivation

Energiemanagement in eingebetteten Systemen ist besonders bei mobilen Anwendungen von zentraler Bedeutung. Die Funktionalität soll möglichst lange ohne Aufladung gewährleistet sein, aber dennoch die Funktionsfähigkeit so wenig wie möglich eingeschränkt werden.

Besonders kritisch ist das Energiemanagement, wenn der Füllstand des Akkus sehr niedrig ist. Ein hoher Energieverbrauch kann dann zur Folge haben, dass es zum kurzfristigen Ausfall des Gerätes kommt. Die Funktion kann erst wieder durch das Aufladen des Akkus hergestellt werden. Die Aufladung muss dabei jedoch immer aktiv vom Benutzer eingeleitet werden. Viele Geräte versuchen daher den Energieverbrauch bei niedrigem Akkustand zu reduzieren, indem z. B. weniger wichtige Funktionen deaktiviert werden.

Ein weiterer Aspekt kommt hinzu, wenn man ein System betrachtet, welches autonom mit Energie versorgt wird (z. B. Sonnen- oder Windenergie (*Energy Harvesting*)). Die Aufladung wird dann nicht aktiv vom Benutzer gesteuert, sondern ist von den Umweltbedingungen abhängig. Ein solches System könnte ausfallen, wenn sich eine ungünstige Konstellation aus niedrigem Akkustand und fehlender Energiezufuhr einstellt. Ein Ausfall ist hier jedoch wesentlich kritischer, denn eine manuelle Aufladung ist häufig nicht möglich.

Während die manuelle Aufladung durch einen Benutzer immer kontrolliert und mit einer gewissen Regelmäßigkeit durchgeführt wird, treten Umwelteinflüsse, wie Wind und Sonne, in Abständen auf, die teilweise durch den Zufall bestimmt werden. Durch Erfahrungen und Analysen aus der Meteorologie können zukünftige Wetterbedingungen mit einer begrenzten Genauigkeit vorhergesagt werden. Mit Hilfe dieser Vorhersagen kann abgeschätzt werden, wann die nächste Aufladung stattfindet und wie stark diese ausfallen wird. Damit ließen sich die Zeiten bestimmen, in denen sich möglicherweise ein kritischer Akkustand einstellt. Dadurch kann bereits im voraus Energie gespart werden, um diese Zeiträume zu überbrücken und so die Funktionalität durchgängig zu gewährleisten.

Im Rahmen dieser Arbeit wird ein System entwickelt, welches ein solches vorausschauendes Energiemanagement auf einem autonomen eingebetteten System umsetzt. Die Arbeit wird in Kooperation mit der Firma Garz & Fricke GmbH erstellt.

1.2. Zielsetzung und Aufgabenstellung

In dieser Arbeit wird ein vorausschauendes Energiemanagement-System auf einem autonom mit Energie versorgten und eingebetteten System realisiert. Dabei soll das autonome Gerät dynamisch den eigenen Energieverbrauch steuern und kritische Akkuzustände vermeiden. Die Regelung des Energieverbrauchs soll dazu nicht nur vom aktuellen Zustand des Energiespeichers ausgehen, sondern auch mit Hilfe der Vorhersage zukünftiger Energiespeicherzustände erfolgen. Dazu stützt sich das System auf Vorhersage-Daten über zukünftig verfügbare Energiemengen.

Zunächst wird der Stand der Technik von Energiemanagement-Methoden auf eingebetteten Systemen und vorausschauenden Regelungssystemen beschrieben.

Im Anschluss wird ein Algorithmus entwickelt, welcher ein vorausschauendes Energiemanagement auf einem eingebetteten System realisiert und dieser prototypisch in einer Software umgesetzt. Als Basis für die Umsetzung wird ein Linux-basiertes Betriebssystem verwendet, welches ebenfalls im Zuge dieser Arbeit auf dem eingebetteten Gerät in Betrieb genommen wird.

Abschließend wird ein prototypischer Aufbau des Gesamtsystems getestet und die Ergebnisse ausgewertet. Hierbei wird untersucht, wie leistungsfähig das entwickelte vorausschauendes Energiemanagement-System auf dem verwendeten eingebetteten Gerät ist.

2. Stand der Technik

Das folgende Kapitel beschreibt vorhandene Technologien, welche dem zu entwickelnden System als Grundlage dienen.

Zunächst werden prädiktive Regelsysteme und deren Anwendungsgebiete erläutert, sowie zwei konkrete Beispiele vorgestellt. Im zweiten Teil werden Energiemanagement-Mechanismen für Mikrocontroller und Computer im Überblick dargestellt, wobei der Fokus auf eingebettete Systeme gelegt wird.

2.1. Prädiktive Systeme

Vorausschauende Systeme werden im Bereich der Regelungstechnik angewendet, die sogenannte „modellbasierte prädiktive Regelung“ (Model based Predictive Control (MPC)). Prädiktive Regelungsalgorithmen verwenden ein Modell für das dynamische Verhalten des Prozesses im laufenden Betrieb des Reglers. Das Modell dient dabei zur Vorhersage des zukünftigen Verhaltens der Regelgrößen des Systems. [4, vgl. Vorwort]. Durch das Wissen über zukünftige Werte der Regelgrößen, kann die Stellgröße bereits im Voraus angepasst werden. Dadurch wird die Sollwertabweichung erheblich verbessert und Über- und Unterschwingen der Regelgröße weitgehend vermieden.

Die Genauigkeit der Vorhersage der Regelgrößen spielt dabei eine entscheidende Rolle, denn die Regelung stützt sich auf diese Werte, um die Stellgröße zu beeinflussen. Da die Genauigkeit der Vorhersage von der Güte des verwendeten Modells abhängt, werden prädiktive Regelungssysteme häufig adaptiv ausgelegt. So können die Parameter des Modells im laufenden Betrieb verändert und auf den echten Prozess angepasst werden. So kann das System auch auf schleichende Veränderungen am Prozess reagieren, welche bei der initialen Auslegung des Modells nicht berücksichtigt wurden. Typisch hierfür sind Alterungs- oder Abnutzungsprozesse von Komponenten im zu regelnden Prozess.

Anhand der beiden folgenden Beispiele sollen typische Teilaufgaben und Randbedingungen verdeutlicht werden, die auch für die zu lösende Aufgabenstellung zutreffen.

2.1.1. Prädiktiver, selbstadaptiver Heizungsregler

Eine typische Anwendung für eine prädiktive und adaptive Steuerung ist die Regelung einer Heizungsanlage. Eine solche intelligente Heizungsregelung ist insbesondere in großen Gebäuden von Bedeutung, um die Energieeffizienz zu steigern. Die Regelung des Heizsystems

hängt dabei von der aktuellen Außentemperatur, der Innentemperatur und Anlagen-internen Größen ab. Nachfolgend wird ein solcher Heizungsregler am Beispiel eines Produkts der Firma Siemens AG vorgestellt [24].

Ein herkömmlicher Heizungsregler kann nur auf die aktuellen Daten der Sensoren zurückgreifen. So kann es zu Überhitzungs- oder Unterkühlungsphasen kommen, da die Randbedingungen des Gebäudes nicht berücksichtigt werden oder das Heizungssystem verzögert reagiert. [24, S. 6] Durch Integration eines Modells des Gebäudes und durch Vorhersagen über zukünftiger Sensorwerte, kann der Regler die Heizung wesentlich effizienter steuern. So kann die Heizleistung bereits vor Erreichen der gewünschten Temperatur zurückgenommen werden, um beispielsweise das „Nachheizen“ der Anlage zu berücksichtigen. Durch Vorhersagen über den zukünftigen Verlauf der Außentemperatur kann weiterhin der optimale Ein- bzw. Ausschaltzeitpunkt der Heizanlage berechnet werden. Auf diese Weise werden Sollwert-Abweichungen der Raumtemperatur minimiert. Die Abbildung 2.1 zeigt vereinfacht die Wirkungsweise des prädiktiven Heizungsreglers.

Die Energieeinsparung der prädiktiven Regelung gegenüber gut eingestellten klassischen Heizungsregelungen beträgt ca. 8-13 % bei vergleichbarer Regelgüte. Die Sollwert-Abweichungen der prädiktiven Heizungsregelung erzielen im Vergleich zu den Referenzanlagen ausgezeichnete Werte und tragen somit zum Komfort bei. [24, S. 14-15]

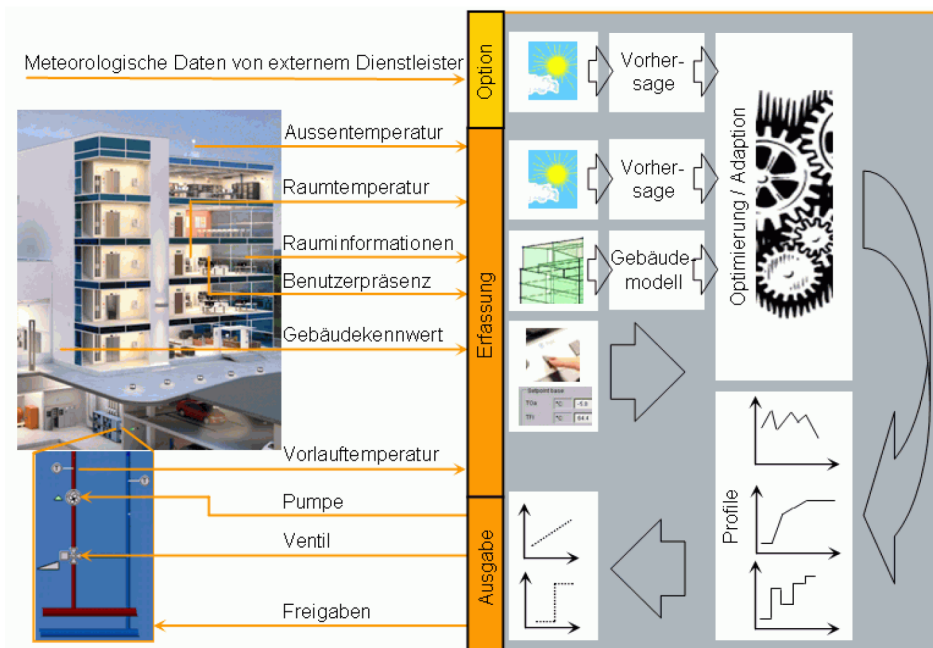


Abbildung 2.1.: Vereinfachte Darstellung der Wirkweise der prädiktiven Heizungsregelung [24, S. 7]

2.1.2. Vorausschauende Getriebesteuerung in Nutzfahrzeugen

Eine weitere Anwendung für eine vorausschauendes System ist die Steuerung von Automatikgetrieben in Nutzfahrzeugen. Dabei wird durch eine prädiktive Schaltstrategie insbesondere der Kraftstoffverbrauch und die Durchschnitts- bzw. Transportgeschwindigkeit des Fahrzeugs optimiert.

Die Firma ZF Friedrichshafen AG hat eine vorausschauende Schaltstrategie „PreVision GPS“ für das Nutzfahrzeuggetriebe „TraXon“ entwickelt [27]. Zur Berechnung der Schaltpunkte wird, zusätzlich zu aktuellen Getriebe- und Fahrzeugdaten, das zu befahrende Streckenprofil berücksichtigt. Unter Zuhilfenahme des GPS-Systems des Fahrzeugs, kann das System beispielsweise bevorstehende Steigungen erkennen und frühzeitig einen niedrigeren Gang wählen, sodass der Geschwindigkeitsverlust auf der Steigung minimiert wird. Des weiteren erkennt das System Streckenabschnitte, die vom Fahrzeug kraftstoffsparend durchrollt werden können. So wird insgesamt auch die Anzahl der Schaltvorgänge minimiert, was außerdem zu einer höheren Lebensdauer des Getriebes führt.

Durch dieses System steigt die Wirtschaftlichkeit eines Nutzfahrzeugs durch Kraftstoffeinsparung und Erhöhung der Transportgeschwindigkeit. [27]

2.2. Energiemanagement auf eingebetteten Systemen

Auf eingebetteten Systemen werden meist System On Chip (SoC)-Prozessoren eingesetzt, welche neben der CPU noch weitere Controller auf einem Chip vereinen. Ein solcher SoC hat häufig bereits ein integriertes Energiemanagement. Im folgenden wird der Stand der Technik zur Energieverwaltung auf Prozessoren und Peripherie-Geräten gemeinsam vorgestellt, da diese häufig auf einem SoC verschmelzen.

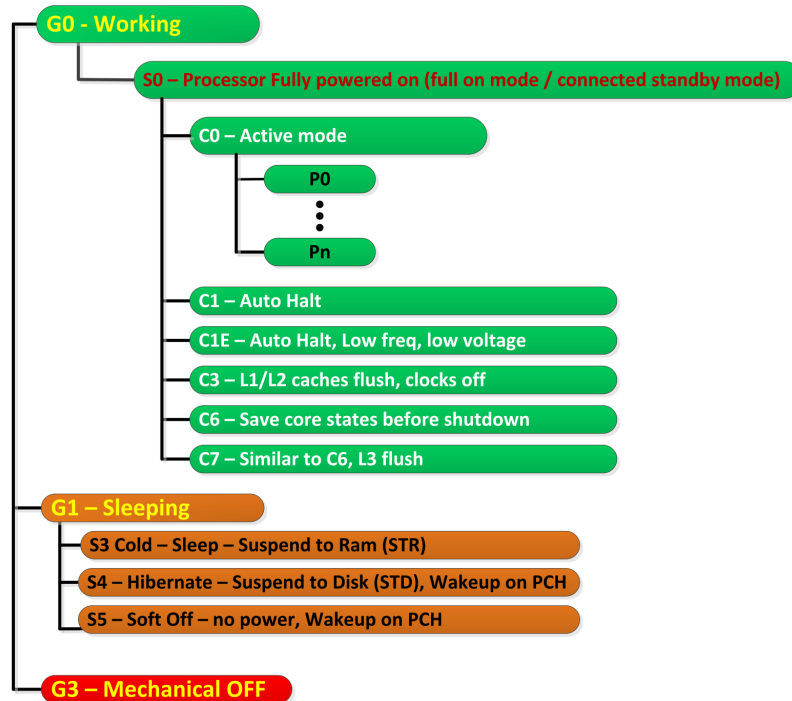
Die folgenden Mechanismen können für das Energiemanagement von eingebetteten Systemen verwendet werden:

- Power States (ACPI-States)
- Clock-Management
- Peripherie-Management (Abschaltung, Energiesparmodi, Clock-Gating)

2.2.1. Power States (ACPI-States)

Grundsätzlich besitzt ein Mikroprozessor verschiedene *Power States*, die den Aktivitätsgrad des Prozessors widerspiegeln. Diese werden häufig nach dem Advanced Configuration and Power Interface (ACPI)-Standard definiert und auch als *ACPI-States* bezeichnet. Die Standardisierung hat den Vorteil, dass das Betriebssystem beim Anfahren der verschiedenen Modi, unabhängig vom Prozessortyp, die zu erwartende Prozessoraktivität kennt. Die Abbil-

Abbildung 2.2 gibt eine Übersicht über die verfügbaren ACPI-States eines modernen Intel Core 4th Generation Prozessors [13].



Note: Power states availability may vary between the different SKUs

Abbildung 2.2.: ACPI-States eines Intel Core 4th Gen. Prozessors [13, S. 49]

Es werden aktive und passive globale System-Zustände unterschieden (ACPI S-State). Im Aktiv-Modus ist der Prozessor im „arbeitsfähigen“ Zustand und verarbeitet entweder aktiv Befehle oder wartet auf das Eintreffen neuer Befehle. Im passiven Modus (Energiesparmodus) sind weite Teile des Prozessors deaktiviert und es können keine Aufgaben bearbeitet werden, da der Prozessorkern abgeschaltet ist. Es werden unterschiedlich tiefe Energiesparmodi unterschieden, wobei im Normalfall mindestens *Suspend to Ram* und *Suspend to Disk* unterstützt werden. Der „Soft-Off“-Modus (S5) ist der Normalzustand für einen heruntergefahrenen Computer. In diesem Zustand wird der Prozessor nur durch Bestätigung des Einschaltknopfes wieder in einen Aktivmodus versetzt. An diesen System-Zustand sind nicht nur der Prozessorkern, sondern auch weitere integrierte Module eines SoC-Prozessors, wie z.B. Speicher- und Bus-Controller gekoppelt.

Die CPU ist nur im Systemzustand S0 aktiv und kann Instruktionen verarbeiten. Für den Zustand des Prozessors im Aktivmodus werden weitere ACPI-States unterschieden (C-State). Diese beschreiben das Verhalten des Prozessors für die Zeiträume zwischen den Instruktionen und bei der aktiven Bearbeitung von Aufgaben. So kann sich der Prozessor automatisch in leichte Energiesparmodi versetzen, während er auf das Eintreffen neuer In-

struktionen wartet. Da die Leerlaufzeit zwischen zwei Instruktionen sehr kurz sein kann, muss der Wechsel der Modi sehr schnell sein, damit keine spürbare Latenz auftritt. Die C-State Modi unterscheiden sich gegenüber den S-State-Energiesparmodi dadurch, dass nur kleine Teile des Prozessors für kurze Zeit deaktiviert werden. Dabei gilt, je tiefer der Energiesparmodus, desto größer ist die Energieersparnis, doch umso länger dauert der Ein- und Austritt für diesen Zustand. Während der aktiven Bearbeitung von Instruktionen kann die CPU verschiedene *Performance-States* einnehmen, die Taktfrequenz und Spannungsversorgung des Prozessors regulieren, sodass der Energieverbrauch gesenkt werden kann.

2.2.2. Clock-Management

Ein Ansatzpunkt für das Energiemanagement eines laufenden Prozessors ist das Clock-Management. Üblicherweise besitzt ein SoC-Prozessor ein Clock Controller Module (CCM), welches die Hauptfrequenz des Rechenkerns steuert und Taktsignale für andere Module auf dem SoC zur Verfügung stellt. Da eine CPU die meiste Zeit nicht vollständig ausgelastet ist, muss diese nicht zwangsläufig mit der höchsten Frequenz arbeiten. Die Haupt-Frequenz der CPU kann daher bei geringer Auslastung gedrosselt werden, ohne signifikante Leistungseinbußen zu erzeugen. Zusätzlich kann auch die Versorgungsspannung des Prozessorkerns verringert werden. Dies hat zwei Vorteile: Zum einen wird der Energieverbrauch gesenkt, zum anderen reduziert sich die Wärmeentwicklung des Prozessors. Dieses Verfahren wird als Dynamic Voltage and Frequency Scaling (DVFS) bezeichnet. Mehrkernprozessoren können bei geringer Auslastung auch einzelne Kerne im laufenden Betrieb komplett abschalten bzw. in einen Schlafmodus versetzen. In Kombination mit DVFS ergibt sich damit eine sehr energieeffiziente Taktung der Prozessorkerne. Eine weitere Energieersparnis kann erreicht werden, indem Taktsignale für Module deaktiviert werden, welche sich im Energiesparmodus oder Idle-Zustand befinden (Clock-Gating).

2.2.3. Peripherie-Management

Das Energiemanagement der Peripherie-Geräte wird durch deren jeweilige Treiber-Software gesteuert. Die Geräte, welche Energiemanagement-Unterstützung im Treiber besitzen, können durch das Betriebssystem ausgeschaltet oder in einen Energiesparmodus versetzt werden. In diesem Zuge wird meist auch das entsprechende Taktsignal für diese Geräte abgeschaltet (s.O. Clock-Gating). Auf den meisten eingebetteten Systemen arbeitet der Prozessor außerdem mit einem Power Management Integrated Circuit (PMIC) zusammen, welcher die Spannungsversorgungen für das System verwaltet. So können Teile der Peripherie komplett von der Spannungsversorgung getrennt und die Aktivität auf der Hauptplatine auf ein Minimum beschränkt werden.

3. Analyse

Dieses Kapitel beschreibt das Einsatzszenario für vorausschauendes Energiemanagement auf einem eingebetteten System, welches als Anwendungsfall für diese Arbeit ausgewählt wurde. Es werden die Anforderungen analysiert, die an die einzelnen Komponenten des Gesamtsystems gestellt werden.

3.1. Szenario: Autonome Messstation

Im Bereich der Landwirtschaft können die Wetterbedingungen großen Einfluss auf die Entstehung von Pflanzenkrankheiten an Nutzpflanzen haben. Als Beispiel soll die Pflanzenkrankheit *Septoria-Blattdürre* dienen, deren Verursacher zur Gattung der Pilze gehören und die mit Fungiziden bekämpft werden kann. In der Regel entstehen jedoch bei der Verwendung von Fungiziden Resistenzen, sodass es nicht zielführend ist präventiv Bekämpfungsmittel auf das Feld zu bringen. Umweltfreundlicher ist die Pflanzenkrankheit nur dann zu bekämpfen, wenn akute Entstehungsgefahr besteht. [2, S. 105, S. 482ff]

Mit Hilfe einer autonomen Messstation sollen daher günstige Entstehungsbedingungen für diese Pflanzenkrankheit auf dem Feld erkannt werden, sodass Fungizide nur noch dann eingesetzt werden, wenn dies zwingend erforderlich ist.

Das System soll anhand von Wetterdaten erkennen, ob eine akute Gefahr für die Entstehung von *Septoria*-Pilzen besteht. Um Flexibilität und Mobilität zu gewährleisten, soll die Messstation autonom arbeiten. Die Energieversorgung soll durch ein Solarmodul erfolgen, ein Akkumulator dient als Energiespeicher, damit das Gerät auch über Nacht mit Energie versorgt werden kann. Mit Hilfe von Temperatur-, Luftfeuchte- und Blattnässe-Sensoren, werden die Umweltbedingungen erfasst und von einem Computer-Modul ausgewertet. Das System kann über ein integriertes Global System for Mobile Communication (GSM)-Modem eine Kommunikation über das Mobilfunknetz aufbauen, um eine Warnung abzusetzen. Die Abbildung 3.1 zeigt ein vereinfachtes Blockschaltbild des zu entwickelnden Systems.

Zur Erkennung von kritischen Wetterbedingungen werden im Laufe eines Tages regelmäßig eine Mindestzahl an Messungen von Temperatur, Luftfeuchte und Blattnässe durchgeführt. Sobald die Station günstige Bedingungen für die Entstehung des Pilzes feststellt, wird über das GSM-Modem eine Warnung gesendet. Zusätzlich zu der Mindestzahl, soll das Gerät versuchen weitere Messungen durchzuführen, wenn der Ladezustand des Akkus und der zu erwartende Energieertrag es zulassen. Die Planung dieser zusätzlicher Aktivitäten

3. Analyse

soll vorausschauend erfolgen, um zu verhindern, dass durch die erhöhte Aktivität der Akku zu stark entleert wird. Dazu sollen Wettervorhersagen verwendet werden, welche das Gerät regelmäßig über das GSM-Modem einholt.

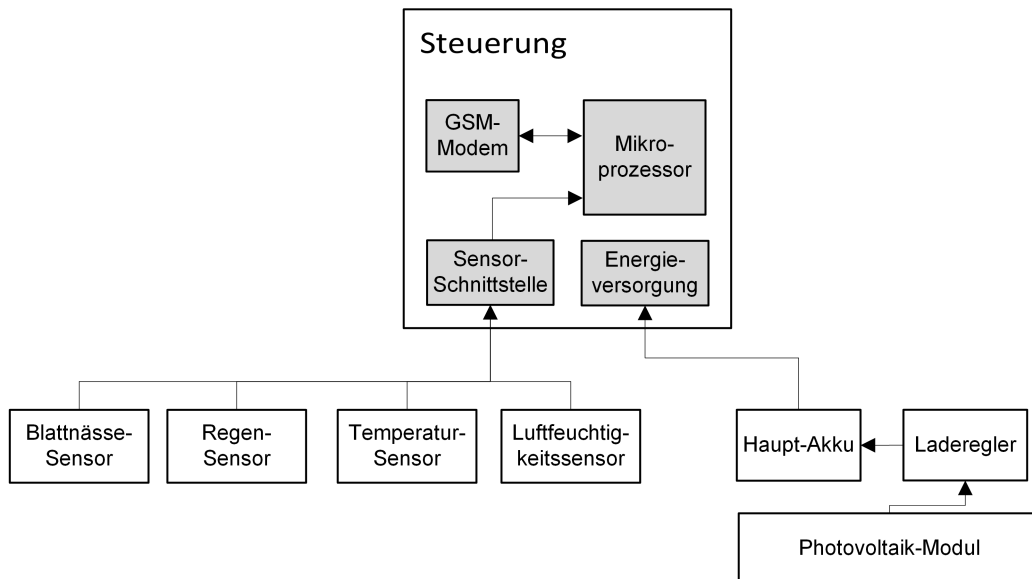


Abbildung 3.1.: Blockschaltbild autonome Messstation als Warnsystem für Pflanzenkrankheiten

3.2. Anforderungsanalyse

Nachfolgend werden die Anforderungen an die einzelnen Systemkomponenten analysiert und, wenn möglich, quantifiziert, die für die Entwicklung des zuvor beschriebenen Systems benötigt werden.

3.2.1. Anforderungen an die Hardware

Sensorik: Die Sensorik muss in der Lage sein, die für die Erkennung des Septoria-Pilzes erforderlichen Umweltbedingungen zu erfassen. Dazu zählt die Messung von Außentemperatur, Blattfeuchte, Niederschlag und Luftfeuchtigkeit. Die Sensoren müssen über eine kabelgebundene Schnittstelle verfügen, über welche die Messwerte an die Steuerung weitergeleitet werden können.

Energieversorgung: Die Energieversorgung soll aus einem Solarmodul, einem Laderegler und einem Akkumulator bestehen. Der Akku dient dabei als Zwischenspeicher und versorgt die Messstation in Zeiten, in denen keine Energie durch das Solarmodul bereitgestellt wird.

3. Analyse

Liefert das Solarmodul genügend Energie, soll der Akku mit Hilfe eines Ladereglers aufgeladen werden. Die Kapazität des Akkus muss groß genug sein, um das gesamte System auch ohne Aufladung mindestens 3 Tage lang zu betreiben. Bei der Dimensionierung des Solarmoduls muss berücksichtigt werden, dass der Akku bei starker Sonneneinstrahlung innerhalb von 3 Tagen voll aufgeladen werden kann.

Steuerung: Als intelligente Steuerung für die autonome Messstation soll ein programmierbares Mikroprozessor- oder Computer-Modul verwendet werden. Hier müssen mindestens die Schnittstellen für serielle Kommunikation (*RS232*, *RS485*) vorhanden sein, an welche später die Sensoren oder Diagnose- und Auslesegeräte angeschlossen werden können. Zusätzlich werden auch analoge Eingänge (A/D-Wandler) benötigt, um Spannungen und Ströme innerhalb des Gesamtsystems zu überwachen, damit der aktuelle Ladezustand des Akkus beurteilt werden kann. Weiterhin muss das Modul ein GSM-Modem besitzen, über welches später die Messwerte übermittelt werden können. Zusätzlich zum Hauptakku sollte ein Backup-Akku für die Steuerung vorgesehen werden, falls durch einen Defekt die Hauptversorgung ausfällt. Damit die Steuerung Messungen zu exakten Zeitpunkten durchführen kann, muss diese eine auf eine Echtzeit-Uhr (Real Time Clock (RTC)) zurückgreifen können, die separat mit Energie versorgt wird. Die auszuwählende Steuerung sollte für den mobilen Einsatz geeignet sein und eine maximale Energieaufnahme von unter 3 W besitzen.

Die gesammelten Anforderungen an die Hardware werden in der Tabelle 3.1 zusammengefasst.

| Teilsystem | Anforderung |
|-------------------|---|
| Steuerung | <ul style="list-style-type: none">● Schnittstellen: RS232, RS485, Analoge Ein- und Ausgänge● GSM-Modem● Überwachung von Akku- und Solarmodul-Spannung● Echtzeit-Uhr● Backup-Akku● Energieverbrauch maximal 3 W (Annahme) |
| Sensorik | <ul style="list-style-type: none">● Sensor-Schnittstellen: RS232, RS485, Analog● Messung von Temperatur, Luftfeuchte, Blattnässe, Niederschlag |
| Energieversorgung | <ul style="list-style-type: none">● Aufladung des Akkus innerhalb von 3 Tagen bei einer Sonnenleistung von 250 W/m² (Annahme)● Akku: Gewährleistung von mindestens 3 Tagen Betrieb ohne Aufladung (Annahme) |

Tabelle 3.1.: Anforderungen an die Hardware des Systems

3.2.2. Anforderungen an die Software

Die Anforderungen an die Software werden in die drei Bereiche Betriebssystem, Energiemanagement-Software und Messsoftware unterteilt.

Betriebssystem: Es soll ein Linux-basiertes System verwendet werden, welches auf einer Yocto-Distribution aufbaut und mit einem Linux-Kernel der Version 3.10 arbeitet. Das Betriebssystem stellt die erforderlichen Schnittstellen für den Zugriff auf die Hardware bereit, sodass diese von der Anwender-Software verwendet werden können (Sensor-Schnittstellen, Echtzeituhr, GSM-Modem). Auch die Laufzeitumgebung für die Anwendungssoftware wird durch das Betriebssystem zur Verfügung gestellt. Das System muss mindestens ein Energiesparmodus unterstützen, welcher vom Benutzer angefahren werden kann. Weiterhin soll der Umfang des Betriebssystems so gering wie möglich gehalten werden.

Energiemanagement: Die Energiemanagement-Software reguliert den Energieverbrauch des eingebetteten Systems je nach Wetterbedingungen. Dazu muss die Software unterschiedliche Aktivitätslevel definieren, welche jeweils zu einem spezifischen Energieverbrauch führen. Es müssen Batterie- und Solarmodul-Spannung gemessen und ausgewertet werden. Die Software soll einen prädiktiven Algorithmus enthalten, der die Regulierung des Energieverbrauchs vorausschauend vornimmt. Dazu werden, neben den aktuellen gemessenen Werten, Wettervorhersage-Daten verwendet, um zukünftige Zustände von Batterie und Solarmodul vorauszuberechnen. Das Ziel des prädiktiven Energiemanagements soll sein, die maximal mögliche Anzahl an Messungen durchzuführen, wobei der Akkumulator zu keinem Zeitpunkt unter 25 % Restkapazität entladen wird.

Messsoftware: Die Messungen für die Erkennung von „Septoria“-Gefahr, werden durch die Messsoftware durchgeführt. Dazu müssen die Umweltbedingungen mit Hilfe der Sensorik erfasst und bewertet werden. Im Falle gefährlicher Bedingungen soll eine Warnung generiert und über das GSM-Modem weitergeleitet werden.

Die Tabelle 3.2 fasst die Anforderungen an die Software des Gesamtsystems zusammen.

3. Analyse

| Teilsystem | Anforderung |
|---------------------------|---|
| Betriebssystem | <ul style="list-style-type: none">● Embedded Linux (Yocto) mit Linux-Kernel 3.10● Bereitstellung der Schnittstellen für die Hardware (Treiber)● Bereitstellung einer Laufzeitumgebung für die Anwender-Software● mindestens ein Energiesparmodus verfügbar● Enthält nur notwendige Komponenten und Softwarepakete |
| Energiemanagment-Software | <ul style="list-style-type: none">● Erfasst Akku-Ladezustand und Solarmodul-Zustand● Implementiert prädiktiven Energiemanagement-Algorithmus:<ul style="list-style-type: none">- Restenergie im Akku immer über 25%- Maximal mögliche Messdichte |
| Mess-Software | <ul style="list-style-type: none">● Messung und Bewertung der Wetterbedingungen● Generierung einer Warnung bei „Septoria“-Gefahr (über GSM) |

Tabelle 3.2.: Anforderungen an die Software des Systems

4. Konzept

Die Konzepte für die Entwicklung des Systems werden im folgenden Kapitel erläutert. Es wird dazu das allgemeine Verhalten des Gesamtsystems beschrieben und der verwendete Energiemanagement-Ansatz vorgestellt, mit welcher der Energieverbrauch des Systems beeinflusst wird. Die Basis hierbei bilden die Energieflüsse zwischen Solarmodul, Akkumulator und eingebettetem System. Anschließend wird das Konzept für einen Algorithmus erläutert, der eine vorausschauende Steuerung des Energieverbrauchs realisiert.

4.1. Verhalten des Gesamtsystems

Wie bereits in Abschnitt 3.1 beschrieben, soll das System regelmäßige Aufgaben bzw. Messungen durchführen. Da sich die Wetterbedingungen nur langsam ändern, ist es nicht notwendig permanent Messungen durchzuführen. Es bietet sich daher an, die Station nach einer Messung in einen Energiesparmodus zu versetzen, bis die nächste Messung durchgeführt wird. Dadurch ergibt sich ein Wechsel zwischen aktiver Phase (Durchführung der Messung) und passiver Phase (Energiesparmodus). Je weiter nun die Aktivphasen auseinander liegen, desto länger befindet sich das Gerät durchschnittlich im Energiesparmodus und verbraucht weniger Energie. Demnach kann durch gezieltes Verschieben der aktiven Phasen der Energieverbrauch der Messstation reguliert werden.

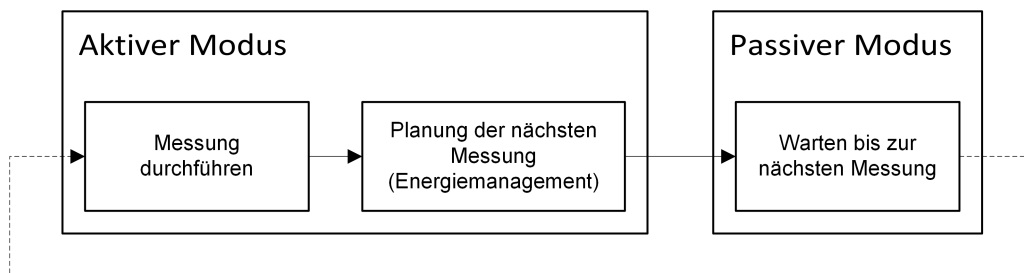


Abbildung 4.1.: Verhalten des Gesamtsystems: Wechsel zwischen Aktiv- und Passivphasen

4.2. Energiemanagement-Ansatz

Es wird ein Ansatz verwendet, der nur geringfügig von der verwendeten Hardware abhängig ist. Die verwendete Technik basiert auf der unterschiedlichen Stromaufnahme des Geräts

im aktiven und passiven Zustand (z. B. in einem Energiesparmodus). Da die meisten eingebetteten Systeme mindestens einen Energiesparmodus besitzen, kann diese Strategie auf vielen Geräten angewandt werden.

Die Energieaufnahme des eingebetteten System ist im passiven Zustand wesentlich geringer als im aktiven Zustand. Durch abwechselnde Aktiv- und Passivphasen stellt sich ein mittlerer Energieverbrauch ein. Wird das Verhältnis zwischen aktiver und passiver Zeit nun verändert, so ändert sich auch die mittlere Energieaufnahme des Geräts. Nachfolgend beschreibt ein Aktivitätslevel den Grad des Energieverbrauchs des Systems und ein Aktivitätszyklus die Dauer eines Zyklus aus Aktiv- und Passivphase.

Die folgende Abbildung 4.2 verdeutlicht den Aktivitätsgrad des Geräts über der Zeit. Dabei beschreibt der untere Graph (b) ein höheres Aktivitätslevel als der Graph (a), denn die Zeit im passiven Modus ist im Verhältnis zur Zeit im aktiven Modus wesentlich kürzer. Die Leistungsaufnahme kann auf diese Weise innerhalb eines bestimmten Bereichs nahezu stufenlos geregelt werden.

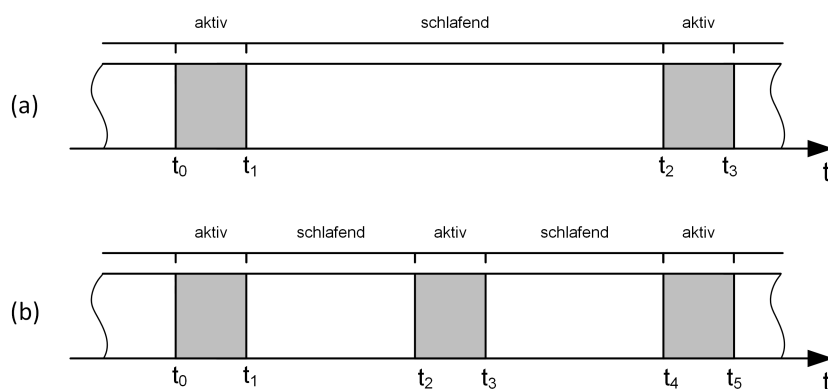


Abbildung 4.2.: Steuerung des Energieverbrauchs durch abwechselnde Aktiv- und Passivphasen, mittlerer Energieverbrauch in (a) niedriger als in (b)

4.3. Energiefluss

Für die Entwicklung des Energiemanagements werden die Energieflüsse im Gesamtsystem untersucht. Dabei ist insbesondere die Berechnung von Energieverbrauch und Energiezufuhr von großer Bedeutung für die spätere Implementierung.

Das zu realisierende System soll autonom mit Sonnenenergie versorgt werden. Demnach stellt die Sonnenstrahlung die einzige Energiequelle dar, welche das System nutzen kann. Durch ein Solarmodul wird die Sonnenenergie in elektrische Energie umgewandelt und über einen Laderegler in den Zwischenspeicher (Akkumulator) geleitet. Das eingebette-

4. Konzept

te System, welches die Messungen durchführt, stellt den Verbraucher des Systems dar und bezieht Energie aus dem Zwischenspeicher.

Die Abbildung 4.3 zeigt schematisch die Energieflüsse im Gesamtsystem.

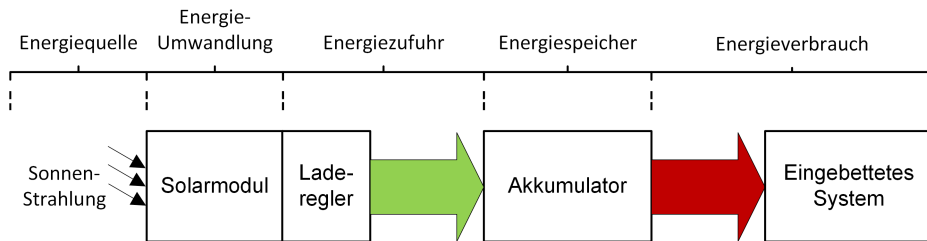


Abbildung 4.3.: Energiefluss im Gesamtsystem

4.3.1. Berechnung des Energieverbrauchs

Im Folgenden bilden eine Aktivphase und eine Passivphase gemeinsam einen Aktivitätszyklus mit der Zykluszeit t_{zyklus} . Dieser setzt sich aus der Zeit im Aktivmodus t_{aktiv} und der Zeit im Passivmodus t_{passiv} zusammen. Die Leistungsaufnahmen P_{aktiv} und P_{passiv} in den jeweiligen Zuständen werden als konstant angenommen.

Die Abbildungen 4.4 und 4.5 zeigen die Leistungsaufnahme des Geräts über der Zeit bei unterschiedlichen Aktivitätslevels.

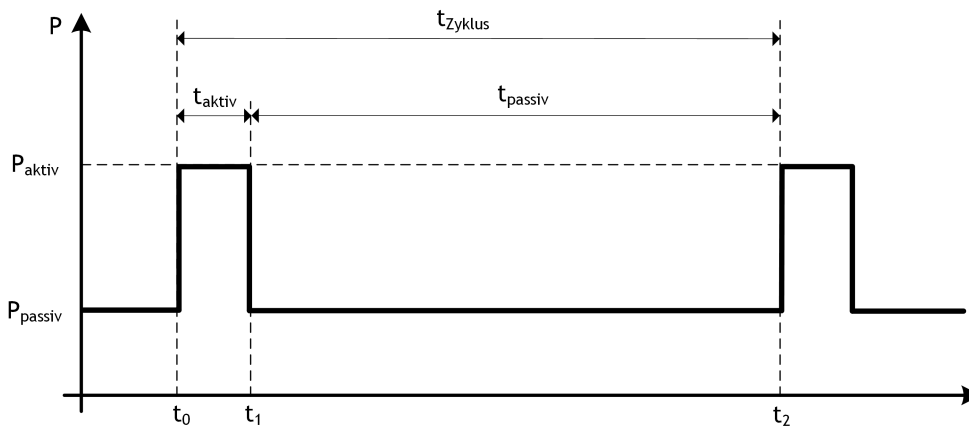


Abbildung 4.4.: Leistungsaufnahme über der Zeit bei einem niedrigen Aktivitätslevel

4. Konzept

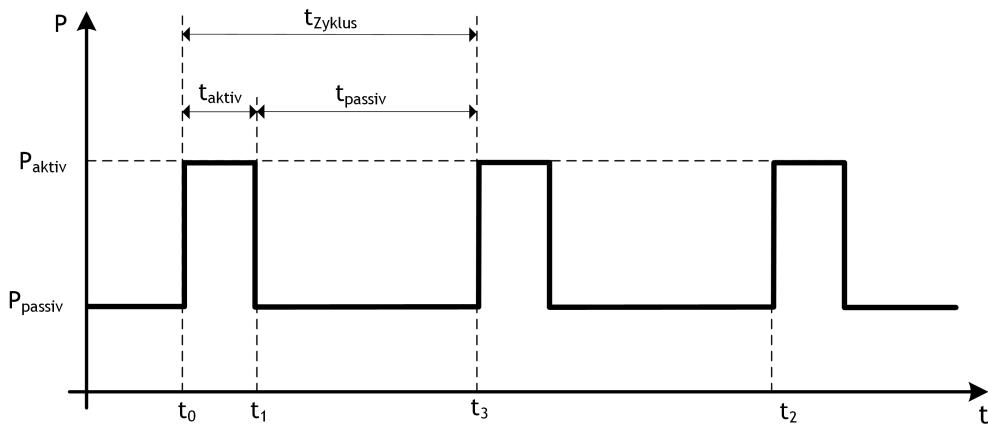


Abbildung 4.5.: Leistungsaufnahme über der Zeit bei einem hohen Aktivitätslevel

Die sich einstellende mittlere Leistungsaufnahme P_d für einen Aktivitätszyklus kann mit der Formel 4.1 berechnet werden:

$$P_d = P_{passiv} + (P_{aktiv} - P_{passiv}) \left(\frac{t_{aktiv}}{t_{passiv} + t_{aktiv}} \right) \quad (4.1)$$

Aus der Formel 4.1 ist ersichtlich, dass das Verhältnis von Aktiv- und Passivzeit den Einfluss von P_{aktiv} auf die Durchschnittsleistung P_d reguliert. Dieser Zusammenhang ist linear, wie die Abbildung 4.6 zeigt.

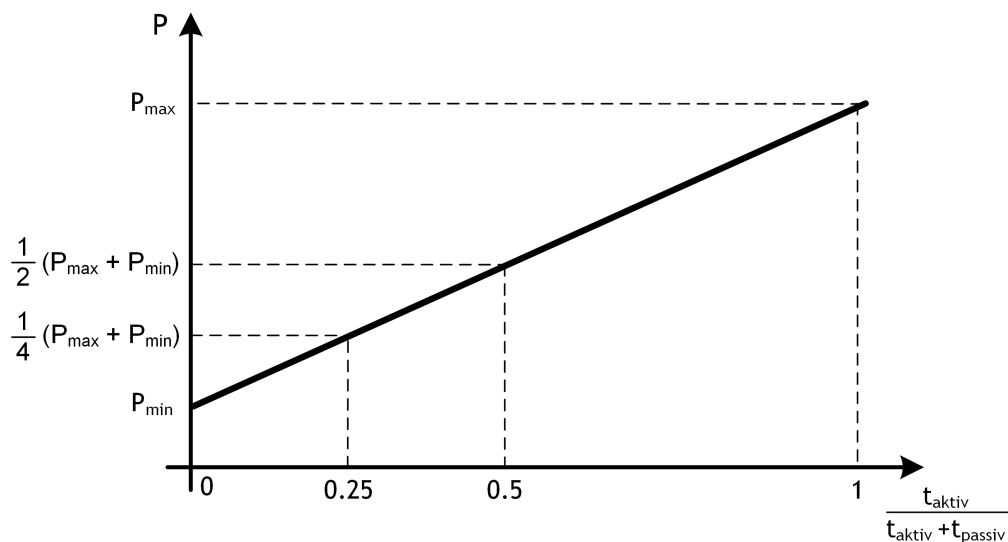


Abbildung 4.6.: Leistungsaufnahme über dem Verhältnis von Aktivzeit zur Zykluszeit

4. Konzept

Da das Gerät in der aktiven Phase eine feste Folge von Aufgaben bearbeiten muss, wird die Aktivzeit für einen Zyklus als konstant angenommen. Die Zeit im Passivmodus bestimmt so allein den mittleren Energieverbrauch für einen Aktivitätszyklus. Die folgende Grenzwertbetrachtungen geben Aufschluss über die Randbedingungen, die für die Einstellung der Leistungsaufnahme L durch die Passivzeit beachtet werden müssen.

$$\begin{aligned} L &= \lim_{t_{passiv} \rightarrow \infty} P_{passiv} + (P_{aktiv} - P_{passiv}) \left(\frac{t_{aktiv}}{t_{passiv} + t_{aktiv}} \right) \\ &= P_{passiv} + (P_{aktiv} - P_{passiv}) \cdot 0 = \underline{\underline{P_{passiv}}} \end{aligned} \quad (4.2)$$

$$\begin{aligned} L &= \lim_{t_{passiv} \rightarrow t_{aktiv}} P_{passiv} + (P_{aktiv} - P_{passiv}) \left(\frac{t_{aktiv}}{t_{passiv} + t_{aktiv}} \right) \\ &= P_{passiv} + (P_{aktiv} - P_{passiv}) \cdot \frac{1}{2} = \underline{\underline{\frac{1}{2}(P_{aktiv} + P_{passiv})}} \end{aligned} \quad (4.3)$$

$$\begin{aligned} L &= \lim_{t_{passiv} \rightarrow 0} P_{passiv} + (P_{aktiv} - P_{passiv}) \left(\frac{t_{aktiv}}{t_{passiv} + t_{aktiv}} \right) \\ &= P_{passiv} + (P_{aktiv} - P_{passiv}) \cdot 1 = \underline{\underline{P_{aktiv}}} \end{aligned} \quad (4.4)$$

Wie die Gleichungen 4.2 - 4.4 zeigen, lässt sich die Leistungsaufnahme nur zwischen der maximalen Leistung P_{aktiv} und der minimal Leistung P_{passiv} einstellen. Ist die Passivzeit genauso groß wie die Aktivzeit, ist der Einfluss von P_{aktiv} genauso groß wie der Einfluss von P_{passiv} auf die mittlere Leistung.

Nachfolgend wird der funktionale Zusammenhang zwischen der Passivzeit und der sich einstellenden mittleren Leistungsaufnahme P_{Ziel} analysiert (Formel 4.5).

$$t_{passiv}(P_{Ziel}) = t_{aktiv} \left(\frac{P_{aktiv} - P_{passiv}}{P_{Ziel} - P_{passiv}} \right) - t_{aktiv} \quad (4.5)$$

Annahme: $t_{aktiv}, P_{aktiv}, P_{passiv} = const.$ und $P_{Ziel} := [P_{passiv}, P_{aktiv}]$

Der durch die Formel beschriebene Zusammenhang zwischen Passivzeit und mittlerer Leistungsaufnahme ist stark nichtlinear, wie in Abbildung 4.7 deutlich wird.

4. Konzept

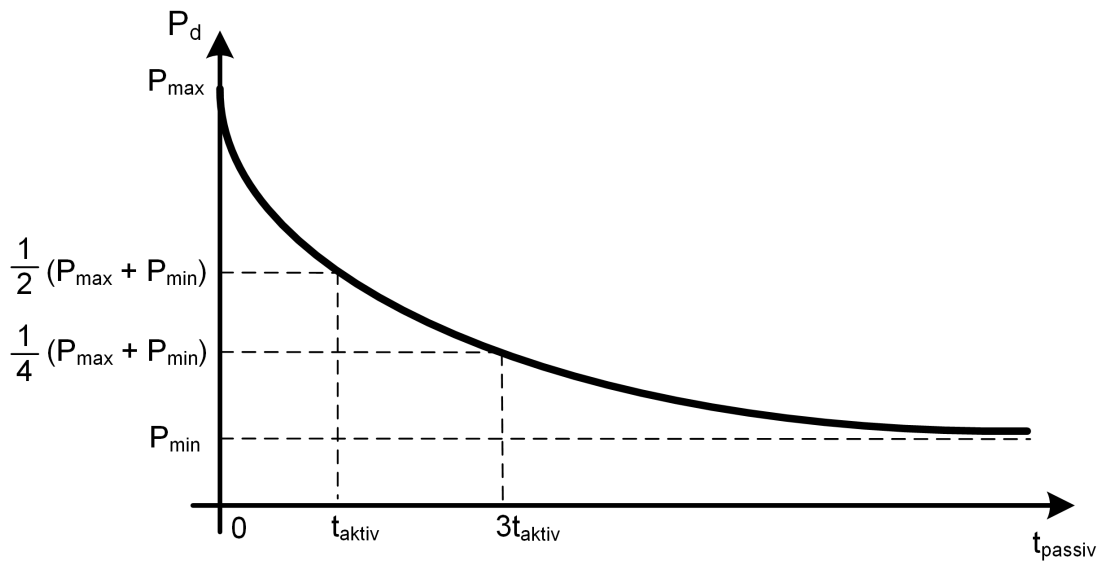


Abbildung 4.7.: Mittlere Leistungsaufnahme als Funktion der Passivzeit

Nachdem die mittlere Leistungsaufnahme für einen Aktivitätszyklus ermittelt wurde, kann nun die Energiemenge berechnet werden, die in diesem Zyklus verbraucht wird. Dazu wird eine Integration über der Zeit durchgeführt, mit der Anfangs- bzw. Endzeit des Zyklus als Grenzen.

Die Grafik 4.8 kennzeichnet die Fläche, welche durch die Gleichung 4.6 berechnet wird und die verbrauchte Energiemenge darstellt.

$$E_{Zyklus} = \int_{t_0}^{t_2} P_d \cdot dt \quad (4.6)$$

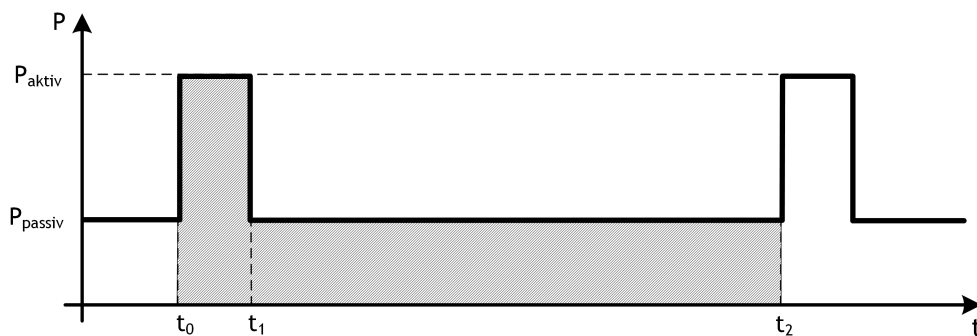


Abbildung 4.8.: Verbrauchte Energiemenge für einen Gesamtzyklus

4.3.2. Berechnung der Energieerträge

Ebenso wichtig wie die Betrachtung des Energieverbrauchs durch das Gerät, ist die Berechnung der Energiezufuhr durch das Solarmodul.

Die vom Solarmodul abgegebene Leistung hängt von der Intensität der Sonneneinstrahlung ab. Diese wiederum ist von der geografischen Position des Solarmoduls, dessen Himmelsausrichtung und der Jahreszeit abhängig.

Sind die technischen Daten des Solarmoduls bekannt, kann aus der Sonnenleistung die durch das Solarmodul abgegebene Leistung berechnet werden. Dazu werden die Daten über den Wirkungsgrad, sowie die wirksame Fläche des Solarmoduls benötigt. Mit der folgenden Formel 4.7 kann anschließend die vom Modul abgegebene Leistung berechnet werden [17, S. 32].

$$P_{Solar} = E_{Sonne} \cdot A_{Solar} \cdot \eta_{Solar} \quad (4.7)$$

Für die vorausschauende Steuerung des Energieverbrauchs, müssen Daten über zukünftige Energieerträge durch das Solarmodul berechnet werden. Dazu werden Wettervorhersagen über die zu erwartende Strahlungsleistung der Sonne verwendet. Die Vorhersage-Daten werden in gleichmäßigen Zeitintervallen angegeben, sodass Datenpaare aus Sonnenleistung und Uhrzeit vorliegen. Daraus lässt sich vereinfacht eine Stufenfunktion bilden, die den vereinfachten Verlauf der zu erwartenden Strahlungsenergie über der Zeit darstellt (s. Abbildung 4.9).

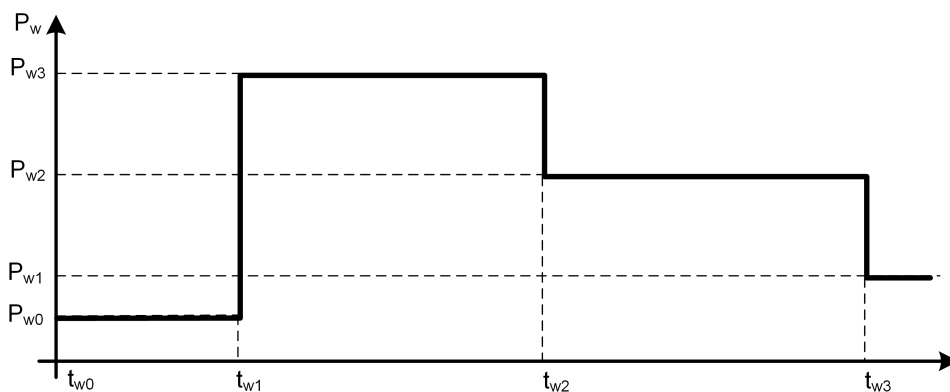


Abbildung 4.9.: Vorhersage-Daten über zukünftige Sonnenenergie als Stufenfunktion über der Zeit

Ähnlich der Berechnung der verbrauchten Energiemenge, kann auch die zu erwartende zu-

4. Konzept

geführte Energiemenge durch Integration berechnet werden. Die Abbildung 4.10 zeigt die Fläche, welche die zu erwartende, durch das Solarmodul zugeführte, Energiemenge darstellt.

$$E_w = \int_{t_0}^{t_2} P_w \cdot dt \quad (4.8)$$

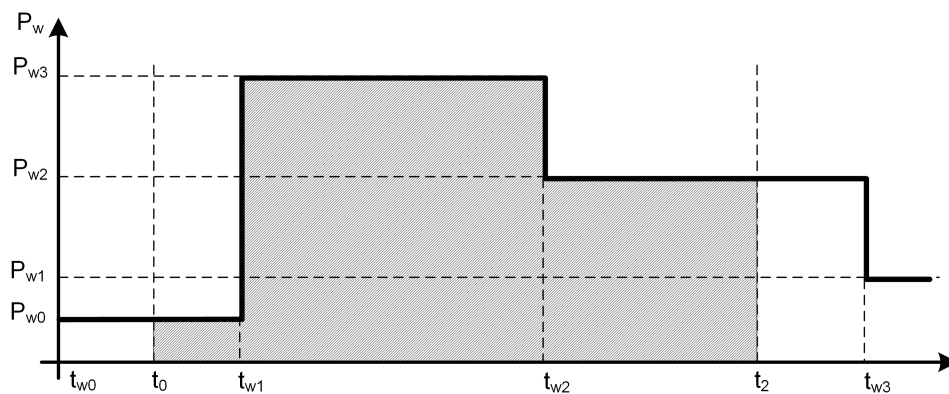


Abbildung 4.10.: Erwartete zugeführte Energiemenge für einen Gesamtzyklus

4.4. Vorausschauender Algorithmus

Um den Energieverbrauch des eingebetteten Systems vorausschauend zu steuern, wird ein Algorithmus verwendet, der durch Vorhersage der Regelgröße auf das zukünftige Verhalten des Gesamtsystems schließt. Im zu entwickelnden System stellt der Akkuladestatus die Regelgröße dar. Das Ziel ist, das aktuelle Aktivitätslevel optimal zu wählen, sodass auch in Zukunft keine unerwünschten Entladezustände entstehen. Die Zeitspanne, für die zukünftige Werte vorausberechnet werden, wird als Prädiktionshorizont bezeichnet und beeinflusst die „Langfristigkeit“ der später durchgeführten Optimierung. Durch Analyse der vorausberechneten Werte können optimale Aktivitätslevel für den aktuellen Zustand und zukünftige Zustände berechnet werden.

Nachfolgend beschreibt ein *Systemzustand* die aktuellen Werte des Gesamtsystems (Systemzeit, Aktivitätslevel, Aktivitätszyklus (Zyklus aus Aktiv- und Passivphase), Energieverbrauch, Akkuladestatus)

4.4.1. Ablauf der Optimierung

Für die Optimierung des aktuellen Aktivitätslevels werden zunächst Akkuzustände für zukünftige Zeitpunkte, entsprechend dem Prädiktionshorizont, berechnet. Anschließend werden die berechneten Werte ausgewertet und geprüft, ob die vorausberechneten Zustände den Randbedingungen entsprechen. Entspricht ein Zustand nicht den Randbedingungen, so wird dieser optimiert und die Vorhersage wiederholt. Dies geschieht so lange, bis alle zukünftigen Zustände optimal sind oder eine weitere Optimierung nicht mehr möglich ist. In Abbildung 4.11 ist der Ablauf dargestellt, nach welchem das aktuelle Aktivitätslevel optimiert wird.

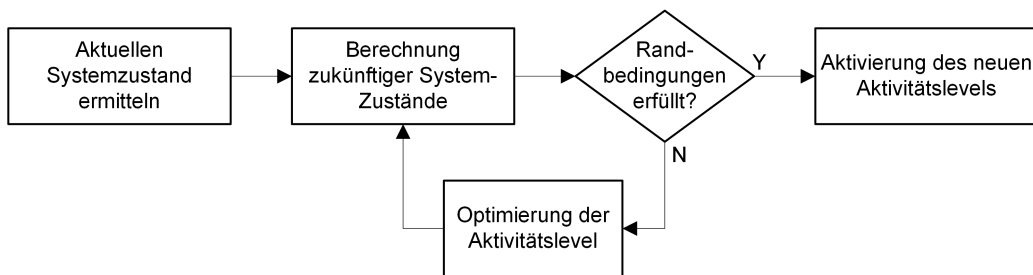


Abbildung 4.11.: Allgemeiner Ablauf der vorausschauenden Optimierung des aktuellen Aktivitätslevels

4.4.2. Vorausberechnung zukünftiger Systemzustände

Da das System phasenweise aktiv ist, wird die Vorausberechnung des Akkuzustands nur für Zeitpunkte durchgeführt, zu denen das Gerät aktiv ist.

In der Abbildung 4.12 ist dargestellt, wie ausgehend vom aktuellen Zeitpunkt t_{S0} und dem aktuellen Akkuzustand S_0 ein zukünftiger Akkuzustand S_1 zum Zeitpunkt t_{S1} berechnet wird.

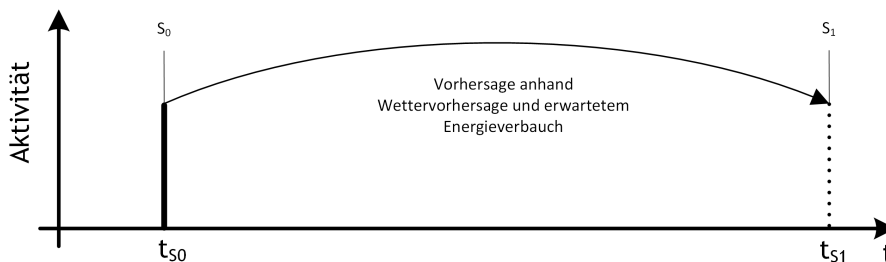


Abbildung 4.12.: Vorausberechnung eines Systemzustands in der Zukunft

Die Anzahl der zu berechnenden zukünftigen Werte hängt vom Prädiktionshorizont $t_{präd}$

4. Konzept

und dem Aktivitätszyklus ab. Die Zeitspanne für einen Aktivitätszyklus ist im jeweiligen Aktivitätslevel definiert, wodurch die Anzahl an notwendigen Werten berechnet werden kann. Dabei muss berücksichtigt werden, dass sich die aktiven Zeitpunkte des Geräts verschieben, wenn das Aktivitätslevel gewechselt wird. Da die Vorausberechnungen nur für aktive Phasen vorgenommen werden, der Prädiktionshorizont jedoch auch in einer passiven Phase liegen kann, wird der nächste aktive Zustand berechnet, der nach dem Prädiktionshorizont folgt (s. Abb. 4.13).

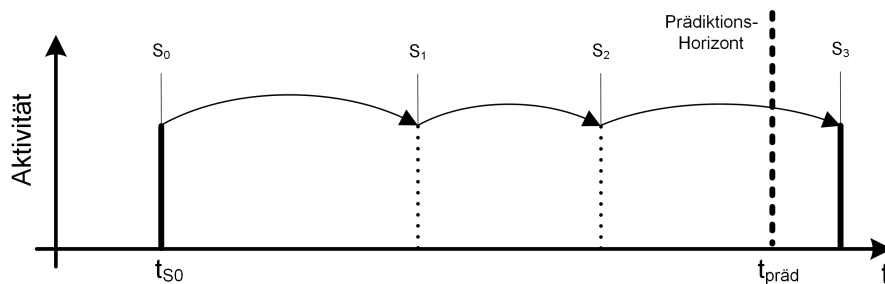


Abbildung 4.13.: Vorausberechnungen für Aktivzyklus-Zeitpunkte

Um zukünftige Ladezustände zu berechnen, muss die entnommene und zugeführte Energiemenge vorausberechnet werden. Dazu werden Modelle für die entsprechenden Komponenten des Systems gebildet, um deren Verhalten zu simulieren. Die Qualität der Berechnung ist dadurch an die Güte des verwendeten Modells gebunden. Anschließend wird mit Hilfe der Modelle das energetische Gesamtverhalten des Systems nachgebildet und ein daraus resultierender neuer Akkuladezustand zur nächsten Aktivphase berechnet.

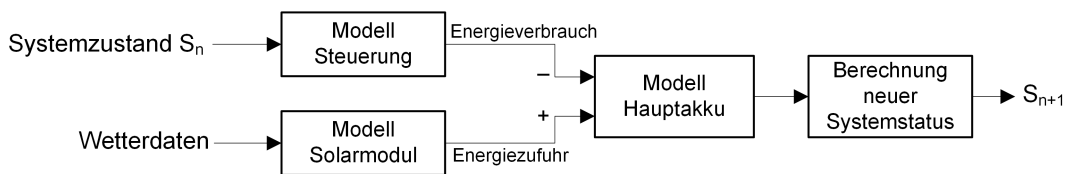


Abbildung 4.14.: Ablauf für die Vorausberechnung eines zukünftigen Systemzustands

Im Regelfall werden mehrere aufeinander folgende Akkuzustände berechnet. Für die erste Vorausberechnung dienen dabei die aktuellen Daten des Akkus als Grundlage. Die Berechnung des darauf folgenden Zustands hängt dann von den Ergebnissen der ersten Vorausberechnung ab. Die Berechnung eines Zustands hängt so immer von den Ergebnissen der vorherigen Berechnung ab. Das Aktivitätslevel für neue vorausberechnete Zustände wird dabei vom vorherigen Systemzustand übernommen.

4. Konzept

Auf diese Weise können mehrere Zustände iterativ berechnet werden. In Abbildung 4.15 ist beispielhaft die Berechnung von 3 zukünftigen Systemzuständen, basierend auf dem aktuellen Zustand des Systems, dargestellt.

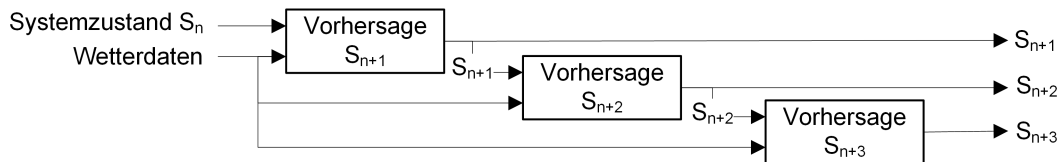


Abbildung 4.15.: Ablauf für die Berechnung von 3 zukünftigen Akkuzuständen

4.4.3. Optimierung des Aktivitätslevels

Mit Hilfe der vorausgerechneten Werte soll nun vorausschauend das aktuelle Aktivitätslevel optimal eingestellt werden. Dazu ist zunächst die Definition von Randbedingungen nötig, welche einen Akkuzustand als optimal kennzeichnen. Zusätzlich muss berücksichtigt werden, dass im nächsten Aktivzyklus wieder eine Optimierung durchgeführt wird.

Als Randbedingung wird festgelegt, dass die Restkapazität im Akku 25% nicht unterschreiten darf. Dies ist eine Anforderung an den Algorithmus gemäß Abschnitt 3.2. Um einen Zustand zu optimieren, welcher nicht dieser Randbedingungen entspricht, muss die Energiemenge im Akku für diesen Zustand erhöht werden. Das wird erreicht, indem das Aktivitätslevel des *vorherigen* Systemzustands verringert wird. Dadurch wird der Energieverbrauch für den Zeitraum vor dem zu optimierenden Zustand verringert und es bleibt mehr Energie im Akku erhalten. Anschließend muss die Vorhersage für alle folgenden Zustände wiederholt werden, da sich die Berechnungsgrundlage verändert hat und sich auch die aktiven Zeitpunkte verschieben.

Ein besonderer Fall tritt ein, wenn das vorherige Aktivitätslevel nicht mehr optimiert werden kann, da es bereits auf den kleinstmöglichen Wert eingestellt ist. Um dennoch die verbleibende Restenergie im zu optimieren Zustand zu erhöhen, wird nun das Aktivitätslevel des *vor-vorherigen* Systemzustands verringert, auch wenn in diesem Zustand mehr als 25% Restenergie im Akku vorhanden ist. Dadurch ist im vorherigen Zustand bereits mehr Restenergie im Akku und so auch im zu optimierenden Zustand. Die Optimierung der einzelnen Aktivitätslevel wird so rekursiv durchgeführt, bis der aktuelle Zustand erreicht wurde oder alle berechneten Akkuzustände optimal sind. Durch diese Vorgehensweise erfolgt die Optimierung vorausschauend.

In der Abbildung 4.16 ist die rekursive Optimierung als Ablaufdiagramm dargestellt.

4. Konzept

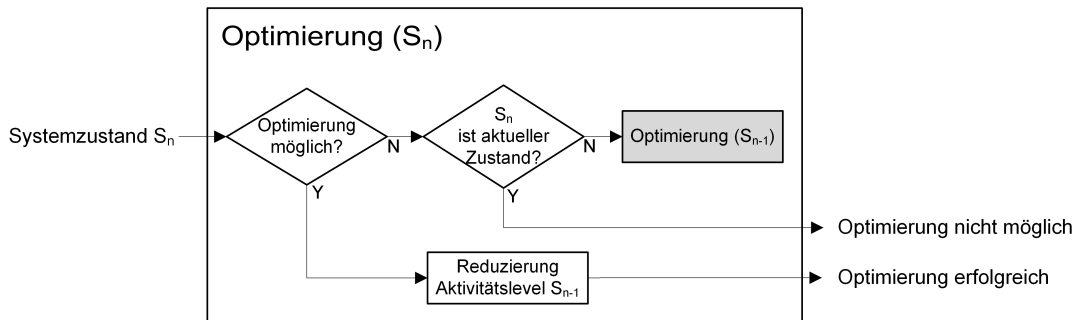


Abbildung 4.16.: Rekursive Optimierung des Aktivitätslevels des Zustands S_n

Das aktuelle Aktivitätslevel wird erst dann verändert, wenn alle vorausberechneten Zustände vollständig optimiert wurden und das minimale Aktivitätslevel verwenden. Treten dennoch unzulässige Akkuladestände, ist es erforderlich das aktuelle Aktivitätslevel zu verringern, um die Restenergie für alle zukünftigen Zustände zu erhöhen.

In Abbildung 4.17 ist der Akkuladestand und das Aktivitätslevel über der Zeit für einen einfachen Entladevorgang ohne Aufladung dargestellt. Die Abbildung beinhaltet 3 Graphen, welche 3 Phasen in der Optimierung der Aktivitätslevel darstellen. Graph (a) zeigt die unoptimierten vorhergesagten Zustände. Es folgt eine Zwischenphase (b), in welcher bereits einige zukünftige Systemzustände optimiert wurden. Der letzte Graph (c) stellt die abgeschlossene Optimierung des Aktivitätslevels dar.

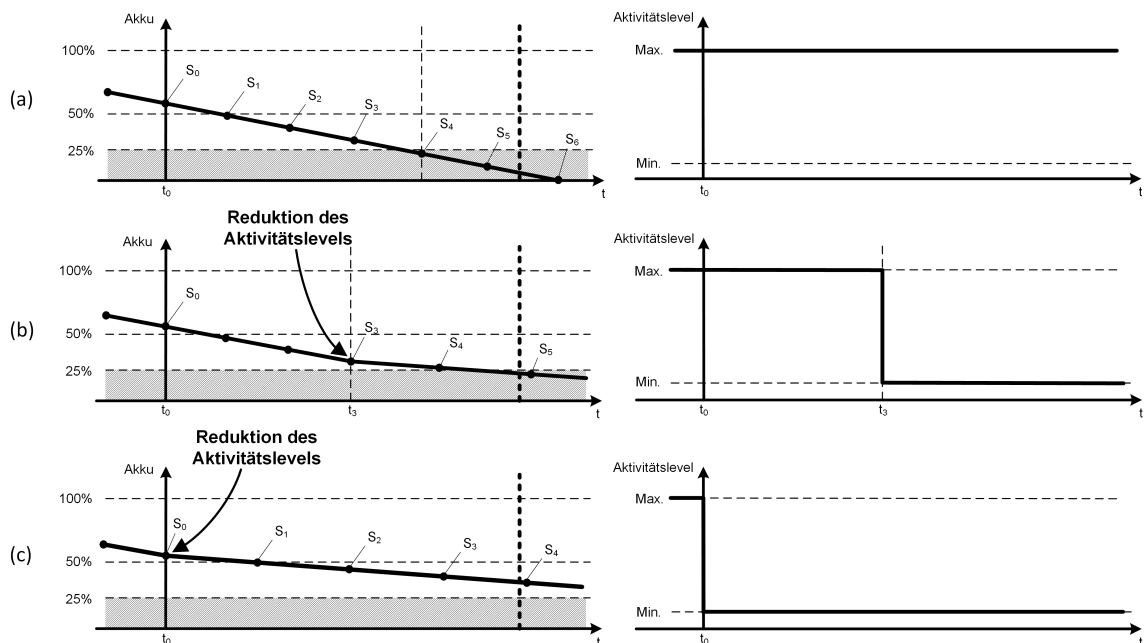


Abbildung 4.17.: Schematische Darstellung der rekursiven Optimierung des Aktivitätslevels

4. Konzept

Nach der ersten Vorausberechnung haben alle zukünftigen Zustände das maximale Aktivitätslevel und damit den maximalen Energieverbrauch. Es ist erkennbar, dass der Zustand S_4 und alle darauf folgenden Zustände nicht der Randbedingung (Restenergie > 25%) entsprechen. Es muss demnach eine Optimierung vorgenommen werden. Um Zustand S_4 zu optimieren, wird nun das Aktivitätslevel von Zustand S_3 verringert, um im Zustand S_4 mehr Restenergie im Akku zu erhalten (2. Graph in Abbildung 4.17). Anschließend werden die berechneten Werte für S_4 und alle folgenden Zustände verworfen und die Vorausberechnung wiederholt. Auf diese Weise wird das geänderte Aktivitätslevel von Zustand S_3 berücksichtigt. In der neuen Vorausberechnung werden die auf S_3 folgenden Zustände das gleiche Aktivitätslevel wie S_3 annehmen.

Nachdem das Aktivitätslevel von Zustand S_3 so weit optimiert wurde, dass der minimale Wert erreicht ist, liegt der Zustand S_4 nun oberhalb der 25%-Grenze. Doch S_5 befindet sich immer noch unter der 25%-Grenze. Gleichzeitig haben alle 3 Zustände bereits das minimale Aktivitätslevel erreicht.

Um dennoch die Restenergie für Zustand S_5 zu erhöhen wird das Aktivitätslevel von Zuständen vor S_3 reduziert. So wird indirekt die Restenergie S_4 und S_5 erhöht. Auf diese Weise werden nun rekursiv alle vorherigen Zustände optimiert, bis der aktuelle Systemzustand erreicht und optimiert wurde oder alle berechneten Zustände der Randbedingung genügen. Der dritte Graph der Abbildung 4.17 zeigt die abgeschlossene Optimierung. Das aktuelle Aktivitätslevel wurde verringert, damit für alle zukünftigen Zustände die Randbedingung erfüllt ist.

5. Realisierung

Das folgende Kapitel beschreibt die Implementierung der zuvor erläuterten Konzepte. Dazu werden zunächst die, für die Realisierung verwendeten, Komponenten vorgestellt. Anschließend wird die Inbetriebnahme und Anpassung eines Linux-basierten Betriebssystems auf dem verwendeten eingebetteten System dokumentiert. Abschließend wird die Implementierung einer Anwendungssoftware beschrieben, welche den entwickelten Algorithmus prototypisch umsetzt.

5.1. Übersicht der verwendeten Komponenten

5.1.1. Eingebettetes System

Für die Steuerung steht das Computer-Modul „LIVIUS“ der Firma Garz & Fricke GmbH zur Verfügung [9]. Auf diesem Gerät sind Hardware-seitig mehrere Energiemanagement-Mechanismen integriert, wodurch es sich als intelligente Steuerung für eine autonome Messstation sehr gut eignet. Das Gerät ist in einem Hutschienen-Gehäuse mit der Schutzart IP20 untergebracht.



Abbildung 5.1.: Computer-Modul Garz & Fricke „LIVIUS“ [10]

Hardware-Spezifikation

Der Prozessor des Geräts ist ein Freescale i.MX35 SoC (ARM-Architektur), welcher mit einer Frequenz von 532 MHz arbeitet. Auf der Platine sind 128 MB DDR-RAM und 256 MB Flash-Speicher untergebracht. Es sind die Schnittstellen RS233, RS485, CAN sowie analoge und digitale Ein- und Ausgänge vorhanden. Die Energieversorgung des Geräts kann variabel mit 9 - 30 VDC erfolgen. Sollte die Spannungsversorgung ausfallen, übernimmt ein interner Lithium-Ionen-Akku die kurzfristige Energieversorgung. Weiterhin ist eine Echtzeituhr mit Alarm-Funktion vorhanden, die durch eine separate Lithium-Batterie versorgt wird, sodass auch bei ausgeschaltetem Gerät das Datum und die Zeit aktuell bleiben. Über ein integriertes GSM-Modem kann das System über das Mobilfunknetz kommunizieren.

Die wichtigsten technischen Daten des Computer-Moduls sind in Tabelle 5.1 im Überblick dargestellt:

| | |
|--------------------------|--|
| CPU | |
| Typ | Freescale ARM1136JF-S™ i.MX35 |
| Frequenz | 523 MHz |
| Speicher | |
| RAM | 128 MB DDR-RAM |
| Flash | 256 MB NAND-Flash |
| Erweiterung | MicroSD(HC) Slot |
| Schnittstellen | |
| Netzwerk | 10/100 MBit/s Ethernet |
| Mobilfunk | GE 865-QUAD GSM/GPRS Modem |
| Serielle Schnittstellen | RS-232 RS-485 (half/full duplex) CAN |
| Digital I/O | 4x Digital Eingang 4x Digital Ausgang |
| Analog I/O | 4x Analog Eingang (0-10 V, max. 20 mA) 2x Analog Ausgang (0-10 V) |
| Energieversorgung | |
| Versorgungsspannung | 9 – 30 VDC |
| Leistungsaufnahme | typ. 140 mA @ 12 V DC (Angabe aus Datenblatt) |
| Besonderheiten | |
| Backup-Akku | Lithim-Ionen Akku 3.7 V / 1000 mAh |
| Echtzeituhr | NXP PCF8563 (Versorgung mit Lithium-Batterie) |

Tabelle 5.1.: Technische Daten: Garz & Fricke LIVIUS [10]

Energiemanagement

In LIVIUS sind mehrere Hardware-seitig unterstützte Energiemanagement-Funktionen realisiert. Dazu zählen die Überwachung wichtiger Spannungen und Ströme, ein Tiefschlafmodus und entsprechende Mechanismen zum Aufwecken des Geräts.

Als Basisfunktionen kann das Gerät die interne Spannungsversorgung über den Backup-Akku deaktivieren, wodurch auch das GSM-Modem abgeschaltet wird. LIVIUS hat einen integrierten Laderegler für die Aufladung des Backup-Akkus, welcher den Ladevorgang bei Erreichen einer Akku-Spannung von 4.0 V automatisch startet. Dieses Verhalten kann durch das Betriebssystem unterbunden werden.

Über einen internen Analog/Digital-Wandler kann das System die folgenden Spannungen selbstständig überwachen: externe Spannungsversorgung, Strom der Versorgungsspannung, Backup-Akku-Spannung und Echtzeituhr-Batterie-Spannung.

Das System unterstützt einen „Off-Mode“ genannten Tiefschlafmodus. Dabei kann das Betriebssystem das Gerät sofort komplett abschalten. Die Stromaufnahme sinkt dabei unter 100 μ A. Ein Aufwecken des Systems ist dann nur noch über einen Echtzeituhr-Interrupt, einen digitalen Eingang oder das Einstecken einer externen Energieversorgung möglich. Sobald das Gerät geweckt wird, durchläuft es einen normalen Systemstart.

Betriebssystem

Auf dem Gerät arbeitet aktuell ein Linux-System, basierend auf einer OSELAS[®]-Distribution [19], welches mit dem Linux-Kernel 2.6.33 arbeitet. Der Kernel beinhaltet mehrere Anpassungen, welche durch die Firma vorgenommen wurden, um die Hardware vollständig zu unterstützen. Als Bootloader dient eine, ebenfalls modifizierte Version von eCos „Redboot“ [6].

Im Zuge dieser Arbeit wird ein Linux-System auf dem Gerät in Betrieb genommen, da das vorhandene System veraltet ist und nicht alle Eigenschaften des Gerätes unterstützt.

5.1.2. Energieversorgung

Für die Energieversorgung der Messstation steht ein Dünnschicht-Solarmodul der Firma Koekraf GmbH zur Verfügung. Als Zwischenspeicher dient ein Panasonic LC-R127R2PG Blei-Akkumulator. Zwischen Solarzelle und Akku wird der Solar-Laderegler H-Tronic SL 53 geschaltet. Der Laderegler ist für die Aufladung von 12V Akku konzipiert und reguliert die Ladespannung. Dies ist notwendig, damit der Akku nicht „überladen“ wird.

Die wichtigsten technischen Daten der Energieversorgung im Überblick:

| Solarmodul | |
|-------------------|-----------------------------|
| Produkt | Koekraf 6 W Solarmodul 12 V |
| Bauform | Dünnschicht (amorph) |
| Leistung | 6 Wp |
| Fläche | ca. 0.146 m ² |

| Laderegler | |
|----------------------|----------------|
| Produkt | H-Tronic SL 53 |
| Betriebsspannung | 12 - 15 VDC |
| Eigenverbrauch | < 0.15 W |
| Ladestrom | max. 4 A |
| Soloarmodul-Leistung | max. 53 W |

| Akku | |
|--------------|----------------------------------|
| Produkt | Panasonic LC-R127R2PG |
| Technologie | Valve-Regulated Lead-Acid (VRLA) |
| Nennspannung | 12 V (6 Zellen) |
| Kapazität | 7.2 Ah |

Tabelle 5.2.: Technische Daten der Komponenten der Energieversorgung [12][14][18]

5.1.3. Sensorik

Vorgesehen sind Sensoren zur Messung von Temperatur, Luftfeuchte, Blattnässe und Niederschlag. Für die Implementierung des Energiemanagements ist es jedoch nicht erforderlich echte Sensoren für eine Messung abzufragen. Die Durchführung der Messung wird daher in der Software durch einen, mit Zeitstempel versehenen, Eintrag in einer Log-Datei „simuliert“. Soll das System später mit echten Sensoren getestet werden, kann der Log-Eintrag durch den Aufruf einer Messfunktion ersetzt werden.

5.1.4. Gesamtsystem

Die vorhandenen Komponenten werden zu einem Gesamtsystem kombiniert, um eine autonome Messstation zu realisieren. Nachfolgend ist das detaillierte Blockschaltbild des Gesamtsystems mit allen verwendeten Komponenten und deren wichtigste Subkomponenten dargestellt (Abb. 5.2).

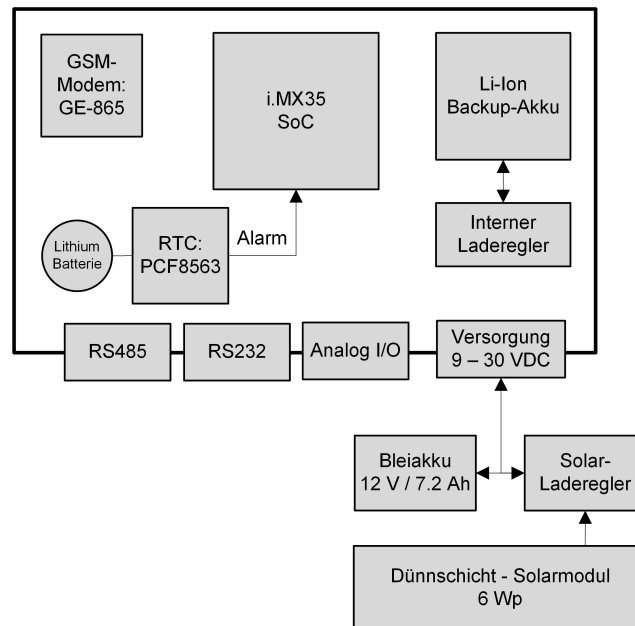


Abbildung 5.2.: Blockschaltbild des verwendeten Gesamtsystems

5.2. Betriebssystem

Auf dem eingebetteten Gerät wird ein Linux-basiertes Betriebssystem mit Hilfe des Yocto-Systems [16] generiert und in Betrieb genommen. Der verwendete Linux-Kernel hat die Version 3.10 und wird leicht angepasst. Dazu zählt das Hinzufügen der Hardware-Unterstützung für das Gerät, sowie Anpassungen und Erweiterungen an einzelnen Geräte-Treibern.

5.2.1. Yocto Embedded Linux

Das Yocto-Projekt ist ein *Open-Source*-System, das Werkzeuge zur Erstellung von Linux-basierten Betriebssystemen zur Verfügung stellt. Es kommt die Version 1.5.1 (Yocto Dora) zum Einsatz.

Das Yocto-System stellt eine Vielzahl an Paketen zur Verfügung, aus denen das spätere Betriebssystem besteht. Für der Erstellung eines Betriebssystems können die Pakete beliebig ausgewählt werden, sodass nur die Features auf dem späteren System zur Verfügung stehen, die gewünscht sind. Bei einem Linux-System stellt der Linux-Kernel das wichtigste Paket des Systems dar, die anderen Pakete sind z. B. Bibliotheken, Programme und Laufzeitumgebungen. Die gewünschten Pakete werden in eine Konfigurationsdatei (*Image-Configuration*) eingetragen. Zusätzlich wird auch eine *Machine-Configuration* ange-

legt, welche Informationen über die Zielhardware, wie z.B. Prozessor-Architektur und -Typ enthält. Das Yocto-System benötigt diese Informationen, da es einen für die Ziel-Hardware geeigneten *Compiler* verwenden muss, um die Pakete zu übersetzen.

Anschließend wird das Betriebssystem mit dem Yocto-System vollständig generiert. Dabei werden alle Pakete (und von diesen abhängige Pakete) übersetzt, die in der Konfiguration ausgewählt wurden. Das Ergebnis stellt ein *Kernel-Image* und Dateisystem dar, welche auf den Flash-Speicher des Gerätes übertragen werden.

Durch ein im Bootloader hinterlegtes *Bootscrip*t werden dem Kernel entsprechende Parameter übergeben, um in das neu erstellte Yocto-Linux zu booten.

5.2.2. Anpassung des Linux-Kernels

Für die Inbetriebnahme müssen verschiedenen Anpassungen am Kernel vorgenommen werden, damit dieser mit der verwendeten Hardware funktioniert. Als Grundlage dient ein Freescale-Linux-Kernel mit der Version 3.10.17 [7]. Dabei handelt es sich um einen *Mainline*-Linux-Kernel, der Erweiterungen enthält, um die CPUs und Controller der Freescale i.MX-Prozessoren zu unterstützen.

Anpassungen an Garz & Fricke Bootloader

Die Firma Garz & Fricke verwendet für ihre Gerät einen eigenen Bootloader, der auf Redboot basiert. Zunächst muss der Kernel angepasst werden, um den Kernel mit diesem Bootloader verwenden zu können. Diese Anpassungen wurden im Rahmen dieser Arbeit durchgeführt, werden jedoch nicht weiter beschrieben, da sie für die Implementierung des Energiemanagements nicht von Bedeutung sind.

Hardware-Unterstützung

Zunächst muss die Hardware-Plattform in die Liste der Geräte eingetragen werden, die dem Kernel bekannt sind. Dazu wird ein neuer *Machine-Type* hinzugefügt, mit welchem der Kernel später erkennen kann, welche Hardware vorliegt. Mit diesem Machine-Type identifiziert der Kernel die vorliegende Hardware und wählt die entsprechend hinterlegte Konfiguration aus, um die Hardware zu initialisieren. Es muss daher auch eine neue Hardware-Konfiguration für das Geräts angelegt werden. Hierfür wird eine *Board-Configuration* verwendet. Die *Device-Tree*-Architektur wird nicht verwendet, da dies von der Firma Garz & Fricke nicht erwünscht ist. Die Board-Konfiguration enthält sämtliche Konfigurationen für die einzelnen Hardware-Geräte, welche auf der Plattform vorhanden sind.

Es wurden anschließend sämtliche verfügbaren Schnittstellen getestet, um die korrekte Initialisierung der Hardware und einen stabilen Betrieb des Gerätes zu verifizieren.

Treiberanpassungen

Neben kleineren Fehlerbehebungen und Erweiterungen an Geräte-Treibern, wurden auch mehrere Treiber neu hinzugefügt.

Serieller Treiber: Der vorhandene serielle Geräte-Treiber wurde erweitert, sodass das RS485-Bussystem im Halb- und Vollduplexmodus unterstützt wird. Dazu muss auf Treiber-Ebene ein zusätzliches Signal eingeführt werden, welches im Halbduplexmodus verwendet wird, um zwischen Sende- und Empfangsmodus der RS485-Schnittstelle umzuschalten. Beim verwendeten Gerät teilen sich die RS485- und die RS232- Schnittstelle einen Universal Asynchronous Receiver/Transmitter (UART) des Prozessors. Der jeweilige Betriebsmodus kann über einen General Purpose Input Output (GPIO) umgeschaltet werden. Dieses Signal muss ebenfalls in den Treiber integriert werden, damit der Betriebsmodus später durch die Software automatisch ausgewählt wird.

RTC: Die RTC ist über den Inter-Integrated Circuit (I2C)-Bus an den Prozessor angeschlossen. Die Uhr besitzt, neben der Bereitstellung der Uhrzeit und des Datums, auch einen programmierbaren Alarm. Beim Erreichen der Alarmzeit wird über einen Pin der RTC ein Signal erzeugt, welches den Prozessor „aufwecken“ kann. Der im Kernel vorhandene Treiber für die RTC ist in der Lage die Uhrzeit und das Datum der Systemuhr zu lesen und zu schreiben, unterstützt die Alarm-Funktion jedoch nicht. Da für die Realisierung des Gesamtsystems die Alarm-Funktion zum gesteuerten Aufwecken des Systems unbedingt erforderlich ist, wird der Treiber erweitert, sodass auch das Setzen und Lesen eines Alarms möglich ist. Die Alarm-Zeit der RTC kann Hardware-seitig auf Minuten genau eingestellt werden.

A/D- und D/A-Wandler: Im verwendeten Kernel sind keine Treiber für die auf LIVIUS vorhandenen A/D- bzw. D/A-Wandler vorhanden. Es existieren aber in der Firma bereits Treiber für die entsprechenden Geräte, welche das Industrial Input Output (IIO)-Subsystem verwenden. Diese Treiber wurden in den Kernel integriert, wobei der Treiber für den A/D-Wandler minimal angepasst werden musste, da dieser für einen etwas anderen A/D-Wandler des Herstellers programmiert wurde. Der Geräte-Treiber für den D/A-Wandler konnte ohne Anpassungen übernommen werden.

CPUIidle: Linux bietet ein Subsystem (*CPUIidle*), welches das Verhalten des Prozessors im *Idle*-Zustand steuert. Der verwendete Kernel besitzt jedoch keinen Treiber für den verwendeten IMX35-Prozessor. Damit der Prozessor im Idle nicht mit Höchstleistung läuft, wird ein einfacher CPUIidle-Treiber für den IMX35 ergänzt. Dieser bringt den Prozessor im Idle-Zustand in den *WAIT*-Mode, einen leichten Energiesparmodus des Prozessors.

Die Änderungen und Anpassungen am Kernel werden in der folgenden Tabelle 5.3 kurz zusammengefasst.

| Komponente | Anpassung |
|--------------------------------------|--|
| Allgemein | • Anpassung an Garz & Fricke Redboot Bootloader |
| Hardware-Unterstützung: GF LIVIUS | • Hinzufügung eines neuen Machine-Types • Board-Konfiguration für GF LIVIUS |
| Serieller Treiber | • Unterstützung von RS485 • Wechsel zwischen RS232 und RS485 Modus |
| RTC-Treiber | • Unterstützung zum Schreiben und Lesen des Alarms |
| ADC- und DAC-Treiber | • Hinzufügen eines IIO-Treibers für ADC und DAC |
| CPUidle | • Unterstützung von CPUidle für IMX35 Prozessoren |

Tabelle 5.3.: Übersicht der Kernelanpassungen

5.3. Implementierung der Anwendungssoftware

Für die prototypische Implementierung des Algorithmus in einem Programm wird die Programmiersprache „C“ verwendet. Die implementierte Software besteht aus zwei Hauptbestandteilen. Der erste Teil beinhaltet Hilfsfunktionen für die Hardwarezugriffe, während der zweite Teil die eigentliche Umsetzung des Energiemanagements darstellt.

Der vollständige Quellcode der Anwendungssoftware befindet sich im Anhang A.2 und auf der CD-ROM (A.1). Die Applikation besteht aus den folgenden Dateien:

- `pman.c`
- `pman.h`
- `sysfs_utils.c`
- `sysfs_utils.h`
- `weather.h`

Die Datei `pman.c` enthält den Hauptteil der Applikation, die prototypische Implementierung des Algorithmus. Dort befindet sich die `main`-Funktion des Programms. In `sysfs_utils.c` sind Hilfsfunktionen zur Interaktion mit dem Linux-Sysfs und damit mit der Hardware des Geräts implementiert. In der Headerdatei `weather.h` sind unterschiedliche Arrays mit virtuellen Wetterdaten enthalten. Diese werden für die Prädiktion von zukünftigen Ladezuständen vom Hauptprogramm verwendet.

5.3.1. Entwicklungsumgebung

Als Entwicklungsumgebung für die Software wird ebenfalls das Yocto-System verwendet. Es wird ein neues Yocto-Paket angelegt, welches das neue Energiemanagement-Programm enthält. Das Paket wird außerdem zur *Image-Configuration* für das Gerät hinzugefügt, so dass es standardmäßig im Betriebssystem verfügbar ist.

Das Yocto-System stellt auch hier einen entsprechenden Compiler zur Verfügung, welcher für die Zielhardware ausführbaren Maschinen-Code erzeugt. Ein zusätzlicher Vorteil bei der Verwendung des Yocto-Systems ist, dass die implementierte Software auch für andere Geräte mit anderer Hardware übersetzt werden kann. Dazu muss nur eine andere *Machine-Configuration* ausgewählt werden. Das Yocto-System wird dann automatisch die korrekten Einstellungen vornehmen.

5.3.2. Hardware-Zugriff

Für den Zugriff auf die Hardware des eingebetteten System wird das *Sysfs*, ein virtuelles Dateisystem unter Linux, verwendet. Es stellt Informationen der Hardware-Treiber und-Geräte in Form eines Dateisystems zur Verfügung. Treiber-Subsysteme werden als Ordner dargestellt und einzelne Eigenschaften oder Funktion von Geräten als Dateien. So wird durch einfache Dateimanipulation eine Interaktion mit der Hardware realisiert. Zusätzlich kann das *Sysfs* auch zur Konfiguration von Geräten und deren Treibern verwendet werden.

In der Datei *sysfs_utils.c* sind Funktionen implementiert, welche über das *Sysfs* entsprechende Dateien lesen oder beschreiben und auf diese Weise mit der Hardware des Systems interagieren. Als Grundlage für die Umsetzung dienen Funktionen, welche in der Dokumentation des IIO-Subsystems des verwendeten Linux-Kernels zu finden sind.

In der folgenden Übersicht sind die implementierten Funktionen aufgelistet, die mit der Hardware kommunizieren:

- Schreiben und Lesen von Zuständen der GPIOs
- Schreiben der Alarmzeit der RTC
- Lesen der Spannung eines Analog-Digital-Converter (ADC)-Kanals

Auf die RTC wird über das RTC-Subsystem von Linux zugegriffen. So können Zeit und Datum, aber auch Alarm und Konfiguration gelesen oder gesetzt werden. Es muss beachtet werden, dass die RTC die Angaben zu Zeit und Datum nur im UNIX-Format¹ liefert und verarbeitet.

¹Das UNIX-Zeit-Format ist eine positive Zahl, die die vergangenen Sekunden seit dem 1. Januar 1970 00:00 Uhr zählt.

Der ADC ist über das IIO-Subsystem in das System integriert. Es können die Rohdaten des ADC direkt ausgelesen werden, dazu zählt das Ergebnis der Wandlung als 10-Bit-Wert und die Referenz-Spannung des niederwertigsten Bits. Aus diesen Werten kann eine Spannung berechnet werden, welche die am ADC angelegte Spannung abbildet.

5.3.3. Verwendete Strukturen

Die zentrale Komponente der Applikation ist eine C-Struktur, die Daten eines Systemzustands enthält. Die wichtigsten Elemente sind dabei das aktuelle Aktivitätslevel, die Systemzeit, die Spannung des Hauptakkus und die daraus berechnete Restenergie des Akkus. Außerdem enthält die Struktur zwei Zeiger auf Strukturen dieses Typs, wodurch mehrere Instanzen der Struktur zu einer verketteten Liste verknüpft werden können.

Für die einzelnen Aktivitätslevel wird ebenfalls eine Struktur verwendet. Diese beinhaltet das Level, die Dauer des Aktivitätszyklus und die Leistungsaufnahme des Geräts.

Die Daten der Wettervorhersagen werden ebenfalls in einer Struktur abgelegt, welche als Elemente eine Zeit im UNIX-Format und einen Wert für die vorhergesagte Sonnenleistung in mW/m^2 beinhaltet.

Die folgende Abbildung 5.3 zeigt die verwendeten Strukturen mit den jeweiligen Elementen und deren Datentyp.

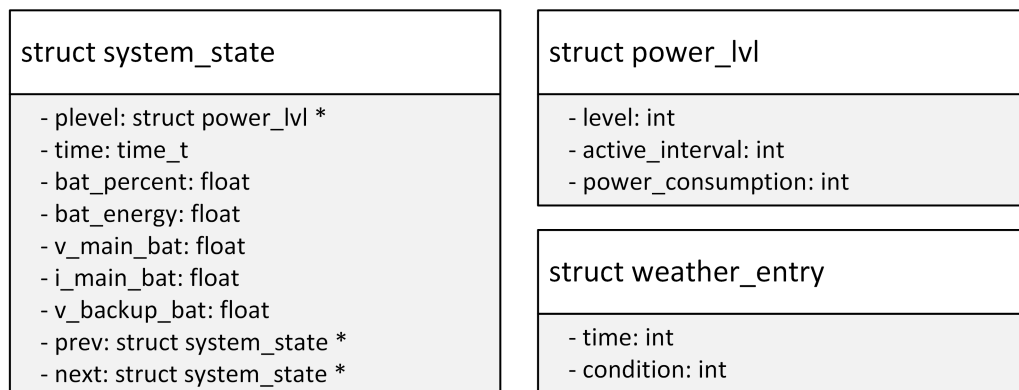


Abbildung 5.3.: Strukturen für Systemzustand, Aktivitätslevel und Wetterdaten

Alle Funktionen wurden so implementiert, dass zur Manipulation eines Systemzustands nur ein Zeiger auf den jeweiligen Zustand übergeben wird. Mehrere Systemzustände werden in einer verketteten Liste verwaltet, sodass Funktionen auch Zugriff auf weitere Elemente der Liste erlangen. So kann jede Funktion auch die gesamte Liste von Zuständen bearbeiten. Für die Organisation der Liste, wurden Funktionen für das Hinzufügen und Löschen von Elementen der Liste implementiert. Nur diese Listen-Funktionen initialisieren und löschen

Instanzen von *struct system_state*. Alle anderen Funktionen greifen nur auf die Werte der einzelnen Listenelemente zu.

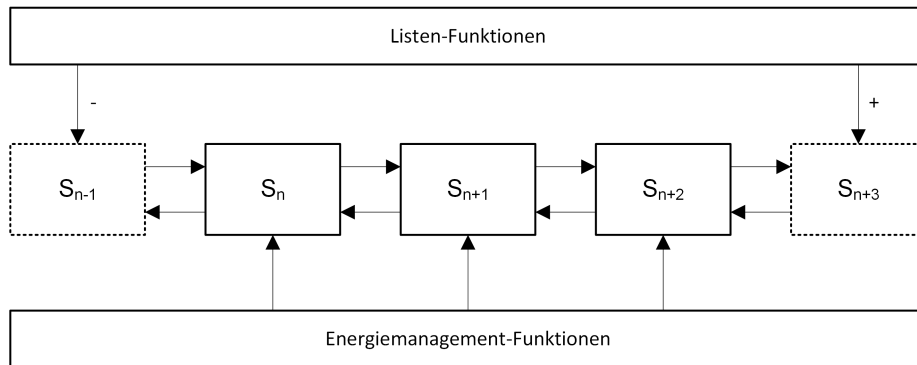


Abbildung 5.4.: Doppelt verkettete Liste von Systemzuständen

5.3.4. Umsetzung der Anwendungssoftware

Nachfolgend wird beschrieben, wie die in Abschnitt 4 entwickelten Ansätze programmier-technisch umgesetzt wurden. Die exakten Abläufe sollen an dieser Stelle nicht erneut erläutert werden, sondern nur die für die Umsetzung verwendeten Mechanismen. Die Abläufe werden mit Hilfe von Struktogrammen verdeutlicht, wobei grau hinterlegte Anwendungsblöcke in einem weiteren Struktogramm dargestellt und erläutert werden.

Das implementierte Programm arbeitet ohne grafische Oberfläche und wird über die Kommandozeile bedient. Dabei können beim Start mehrere Kommandozeilenparameter angegeben werden, welche das Verhalten des Programms beeinflussen.

Main-Funktion

Die zentrale Funktion des Programms stellt die *Main*-Routine dar. Darin ist die Initialisierung der Variablen, die Verarbeitung der Kommandozeilen-Parameter und die Hauptschleife für die Anwendung enthalten.

In der Hauptschleife werden die Aktivitäten ausgeführt, welche die Funktionalität des Gesamtsystems realisieren. Dazu gehören die Ermittlung des aktuellen Systemzustands, die Durchführung einer Messung und die anschließende Optimierung des aktuellen Aktivitätslevels. Im Anschluss wird die Alarm-Zeit der RTC neu programmiert und das Gerät begibt sich in einen Energiesparmodus. Die Hauptschleife ist als Endlosschleife realisiert, da das Gesamtsystem durchgängig arbeiten soll. Sie wird jedoch in jedem Aktivzyklus nur einmal durchlaufen. Beim Eintritt in den Energiesparmodus werden sämtliche Prozesse des Systems gestoppt und erst nach der Reaktivierung durch den Alarm der RTC wieder an der

Stelle weitergeführt, an der diese angehalten wurden. In diesem Fall wird die Hauptschleife dann ein weiteres Mal ausgeführt bis wieder der Energiesparmodus aktiviert wird.

Die Abbildung 5.5 zeigt ein Struktogramm der *Main*-Routine. Die entsprechende Implementierung im Programm befindet sich auf Seite 90 (ab Zeile 1022) im Anhang A.2.

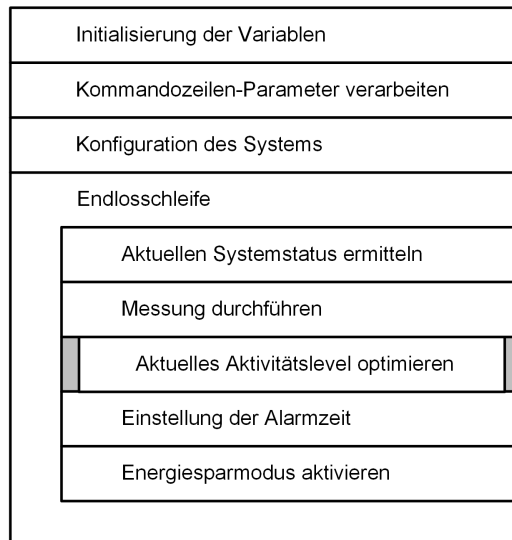


Abbildung 5.5.: Struktogramm der *Main*-Funktion der Anwendung

Optimierung des Aktivitätslevels

Der Anweisungsblock „Aktuelles Aktivitätslevel optimieren“ stellt die eigentliche Umsetzung des Energiemanagement-Algorithmus dar. Hier werden die Abläufe implementiert, welche bereits in Abschnitt 4.4.1 beschrieben sind.

Für die Optimierung des aktuellen Aktivitätslevels wird zunächst eine Vorhersage zukünftiger Ladezustände durchgeführt und die ermittelten Zustände zu einer Liste verkettet. Anschließend wird die Liste vom ersten Element beginnend durchlaufen und jeder Zustand mit einer Optimierungsfunktion geprüft bzw. angepasst, sofern dies notwendig ist. Das Ergebnis der Optimierung wird ausgewertet und entsprechend entweder der nächste Zustand betrachtet, die Prädiktion wiederholt oder die Optimierung beendet. Die Optimierung des Aktivitätslevels ist dann abgeschlossen, wenn die gesamte Liste durchlaufen wurde, ohne einen Zustand weiter optimieren zu müssen, oder eine weitere Anpassung nicht mehr möglich ist.

Das folgende Struktogramm in Abbildung 5.6 zeigt die implementierten Abläufe für die Einstellung des aktuellen Aktivitätslevels. Im Anhang A.2 befindet sich der C-Quellcode für die Funktion ab Seite 87 (Code-Zeile 850).

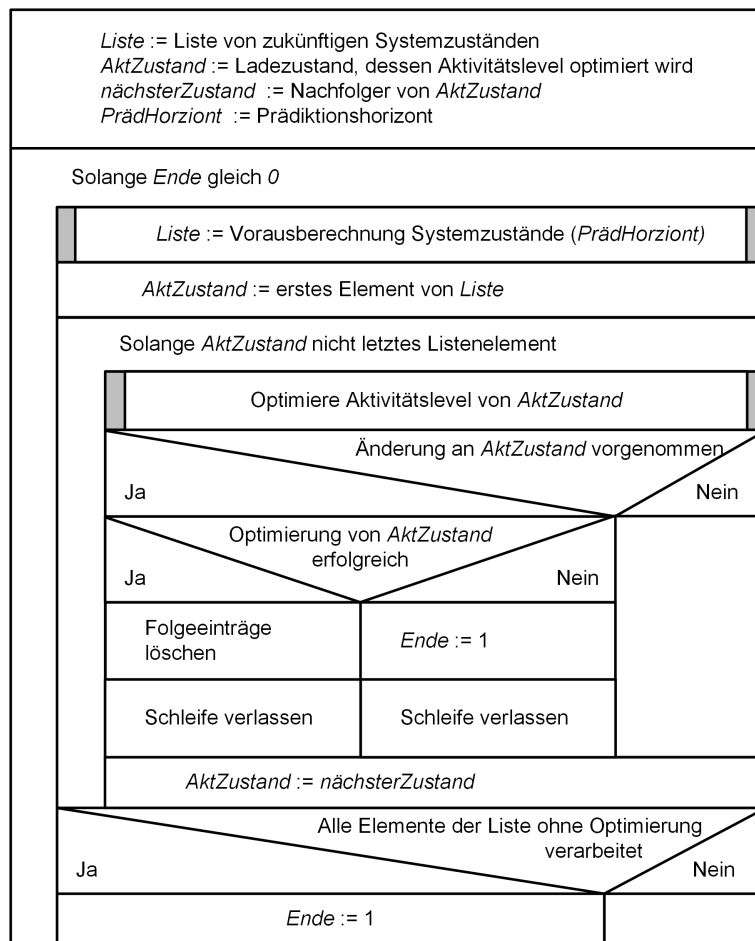


Abbildung 5.6.: Struktogramm für die Optimierung des aktuellen Aktivitätslevels

Vorausberechnung der Systemzustände

Die Vorausberechnungen finden im Anweisungsblock „Vorausberechnung zukünftiger Ladezustände“ statt. Die Funktion führt eine Prädiktion von zukünftigen Systemzuständen anhand von Wettervorhersage-Daten durch. Hierzu werden Modelle für das energetische Verhalten der einzelnen Komponenten des Systems verwendet (Energieverbraucher, Energieerzeuger, Zwischenspeicher). Die Anzahl der zu vorhersagenden Zustände richtet sich nach dem Prädiktionshorizont, welcher der Funktion ebenfalls übergeben wird. Es werden so lange Systemzustände vorhergesagt und deren Zykluszeiten addiert, bis die Summe größer ist als der Prädiktionshorizont. Die Umsetzung der Funktion befindet sich im Anhang A.2 auf Seite 84 ab Code-Zeile 669.

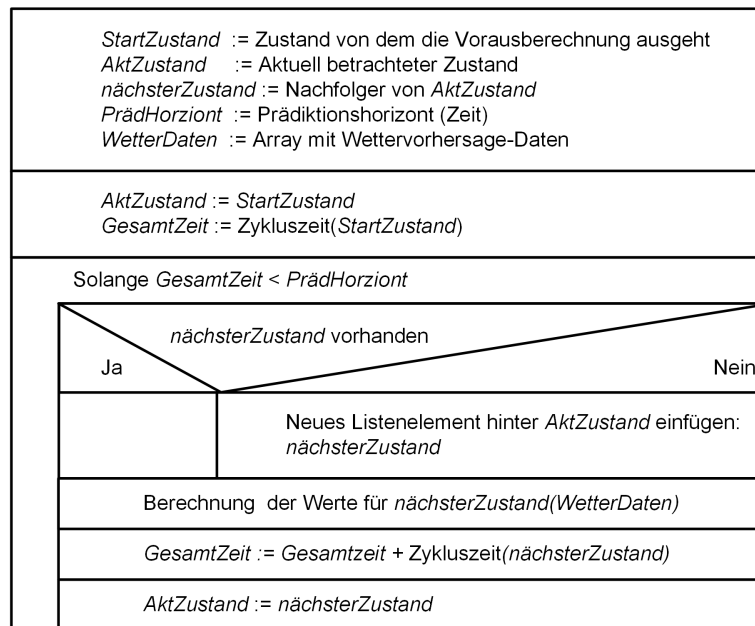


Abbildung 5.7.: Struktogramm für die Vorausberechnung zukünftiger Ladezustände

Rekursive Optimierung des Aktivitätslevels

Es wird nachfolgend die Implementierung der rekursiven Optimierungs-Funktion erläutert. In dieser Funktion ist das „Verhalten“ des Algorithmus implementiert. Die Entwicklung des Konzepts dieser Funktion ist im Abschnitt 4.4.3 zu finden.

Diese Funktion ist für die eigentliche Optimierung der Systemzustände verantwortlich und enthält die Randbedingungen, die einen Ladezustand als optimal oder ungültig kennzeichnen. Gemäß der Anforderungsliste wird eine Bedingung implementiert, die eine Untergrenze für die Restkapazität des Akkus von 25 % darstellt. Die Funktion betrachtet den Folgezustand des zu optimierenden Zustands und prüft, ob die Bedingung erfüllt ist. Ist die Randbedingung erfüllt, werden keine Aktivitätslevel geändert, die Funktion signalisiert „keine Änderung nötig“. Genügt der Folgezustand nicht der Randbedingung, wird das Aktivitätslevel des zu optimierenden Systemzustands reduziert. In diesem Fall wird ein Wert zurückgegeben, der signalisiert, dass ein Aktivitätslevel geändert wurde. Ist eine Reduktion des Aktivitätslevels nicht mehr möglich, werden rekursiv die Aktivitätslevel der vorherigen Systemzustände optimiert, auch wenn diese der Randbedingung entsprechen. Die Rekursion endet, wenn ein Systemzustand gefunden wurde, der weiter optimiert werden kann oder der aktuelle Systemzustand erreicht ist.

Die Abbildung 5.8 zeigt das Struktogramm der rekursiven Optimierungsfunktion. Der Quellcode für die Funktion befindet sich im Anhang A.2 auf Seite 88 ab Zeile 920.

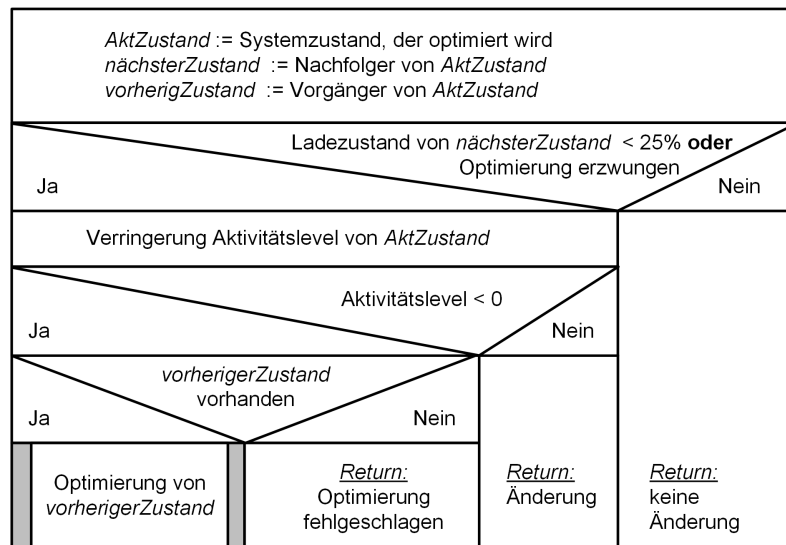


Abbildung 5.8.: Struktogramm für die rekursive Optimierung eines Systemzustands

5.3.5. Verwendung der Software

Um die Software zu starten, muss zunächst ein Login auf dem Gerät stattfinden. Dies kann entweder über den seriellen Debug-Port (RS232-1) über ein geeignetes Kabel oder durch eine Secure Shell (SSH)-Verbindung über das Netzwerk realisiert werden.

Das Programm gibt über die Standardausgabe Nachrichten aus, um den Benutzer über mögliche Fehler und Ereignisse zu informieren. Die Nachrichten werden mit unterschiedlichen Prioritäten ausgegeben, mit Hilfe von Kommandozeilenparametern kann die Anzahl der auszugebenden Nachrichten gesteuert werden. Bei einem Standardaufruf werden nur Fehlermeldungen und Warnungen ausgegeben.

Während das Programm ausgeführt wird, werden automatisch mehrere Log-Dateien erstellt. Darin wird der Systemstatus für jede aktive Phase festgehalten, um später analysieren zu können, welche Zustände das System einnimmt. Außerdem wird eine Datei erstellt, in welcher die Durchführung von Messungen mit entsprechendem Datum und Uhrzeit protokolliert wird.

Um die Software über die Kommandozeile zu starten, wird der Befehl „pman“ verwendet. Hierbei ist zu beachten, dass es sinnvoll ist, beim Start den Prozess von der aktuellen Login-Shell zu entkoppeln, da sonst das Programm beendet werden würde, sobald die Login-Shell geschlossen wird. In Linux kann dazu der *detach*-Parameter „&“ verwendet werden.

Beim Aufruf können zusätzliche Kommandozeilen-Parametern angegeben werden, die in der folgenden Übersicht mit ihrer jeweiligen Funktion dargestellt sind.

| Parameter | Funktion |
|--------------|---|
| -h, -help | Zeigt eine Hilfe, sowie die verfügbaren Parameter an und beendet das Programm |
| -s, -status | Zeigt den aktuellen Status des Systems an und beendet das Programm |
| -v, -verbose | Erhöhung der Anzahl der auszugebenden Nachrichten |
| -q, -quiet | Verringerung der Anzahl der auszugebenden Nachrichten |

Tabelle 5.4.: Kommandozeilenparameter der Anwendung

Die Parameter „-v“ und „-q“ können mehrfach angegeben werden, wodurch die Anzahl der Ausgaben stufenweise geändert wird.

Der folgende Beispielaufruf startet das Programm als entkoppelten Hintergrundprozess mit erhöhtem Verbositätslevel, sodass auch Nachrichten mit der Priorität „debug“ ausgegeben werden:

```
root@livius-0:~# pman -v &
```

5.4. Implementierung der Anwendungssoftware auf die vorhandene Hardware

Die entwickelte Anwendungssoftware muss an die Randbedingungen des Gesamtsystems und der verwendeten Hardware angepasst werden. Es werden entsprechende Modelle für die verwendeten Hardware-Komponenten ausgelegt, welche dann von der Software verwendet werden, um die Vorausberechnung von zukünftigen Systemzuständen durchzuführen. Weiterhin werden die Aktivitätslevel definiert, wobei unterschiedliche Aufteilungen der Zykluszeit verwendet werden, um verschiedene Aktivitätslevel-Kennlinien zu erstellen.

5.4.1. Modellierung des Gesamtsystems

Nachfolgend werden die Modelle beschrieben, die das energetische Verhalten des Gesamtsystems abbilden. Wie in der Abbildung 4.14 dargestellt, werden Modelle für das eingebettete System, das Solarmodul und den Akkumulator benötigt, um einen zukünftigen Systemzustand berechnen zu können.

Solarmodul

Das Solarmodul sorgt für die Energiezufuhr in den Akkumulator. Mit Hilfe von konkreten Wettervorhersagen für die Sonnenstrahlungsleistung kann der zukünftige Energieertrag durch das Solarmodul berechnet werden. Die Leistungsabgabe wird mit der Gleichung 4.7 berechnet.

Dazu wird zunächst der Wirkungsgrad des Solarmoduls aus den Nenndaten ermittelt. Die Nennleistung eines Solarmoduls wird im Normalfall unter Standardbedingungen (Standard Test Conditions (STC)) ermittelt. Die STC-Sonnenenergie beträgt 1000 W/m^2 . Mit Hilfe der Solarmodul-Oberfläche und der angegebenen Nennleistung kann so der Wirkungsgrad des Moduls berechnet werden. [17, vgl. S. 31]

$$\begin{aligned}\eta_{STC} &= \frac{P_{STC}}{E_{STC} \cdot A} \\ &= \frac{6W}{1000 \frac{W}{m^2} \cdot 0,146475 m^2} \\ &= \underline{\underline{0,04096}}\end{aligned}\tag{5.1}$$

So ergibt sich die folgende Gleichung 5.2, mit der der Energieertrag des verwendeten Solarmoduls berechnet werden kann.

$$P_{Solar} = E_{Sonne} \cdot 0,146475 m^2 \cdot 0,04096\tag{5.2}$$

Daraus ergibt sich die in Abbildung 5.9 dargestellte Kennlinie für die Solarmodul-Leistung über der Sonneneinstrahlung.

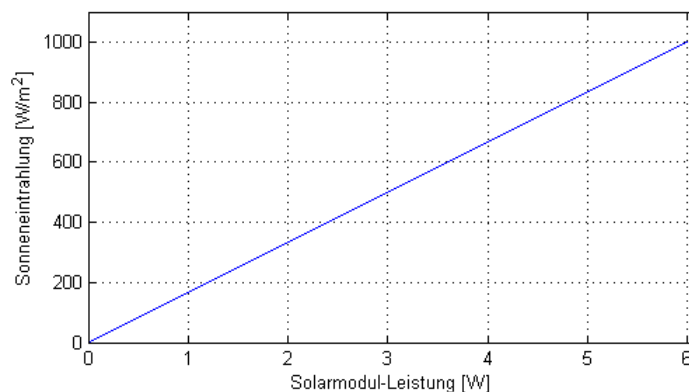


Abbildung 5.9.: Verwendete Kennlinie der Solarmodul-Leistung über der Sonneneinstrahlung

Akkumulator

Der Akkumulator dient dem Gerät als Zwischenspeicher für die Energie, welche vom Solar-
modul erzeugt wird. Um vorausschauend zu agieren, muss im laufenden Betrieb der aktuelle
Ladezustand des Akkus ermittelt werden können. Dafür wird die Spannung des Akkus
gemessen und so ein Rückschluss auf dessen Restenergie gezogen.

Es wird eine lineare Akkumulatorkennlinie angenommen, welche von einer maximalen
Spannung von 13,8 V und einer minimalen Spannung von 10,5 V ausgeht. Dabei wird nicht
zwischen Auf- und Entladevorgängen unterschieden.

Die Abbildung 5.10 zeigt die Kennlinie für einem Entladestrom von 180 mA (maximale
Stromaufnahme des eingebetteten Systems im Aktivmodus).

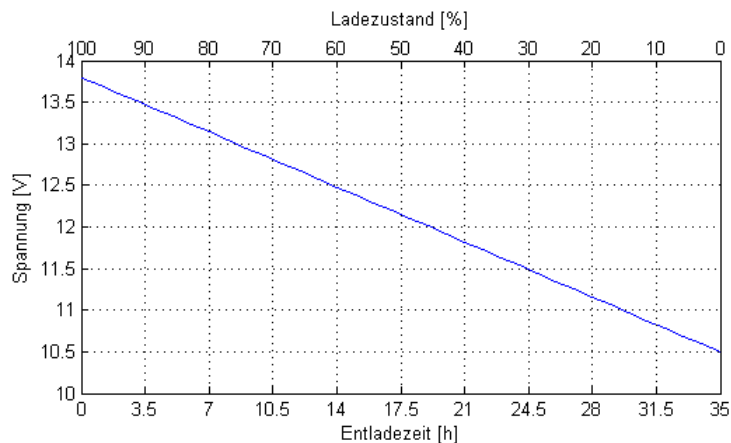


Abbildung 5.10.: Verwendete Entladungs-Kennlinie des Akkumulators

Um zukünftige Energiezustände des Akkus zu berechnen werden die Gleichungen 4.1 und
4.7 zur Berechnung des Energieverbrauchs durch das Gerät bzw. des Energieertrags durch
das Solarmodul verwendet. Da das Aktivitätslevel für vorausberechnete Systemzustände
bekannt ist, kann die Zeitspanne, in der Energie verbraucht und aufgeladen wird, bestimmt
werden. Zusammen mit der jeweiligen positiven bzw. negativen Leistungsaufnahme wird eine
Energiebilanz gebildet, welche zur Restenergie des Akkus addiert wird (Gleichung 5.3).

$$E_{\text{Akku}} = E_{\text{Rest}} + E_{\text{Solar}} - E_{\text{Gerät}} \tag{5.3}$$

$$E_{\text{Akku}} = E_{\text{Rest}} + (P_{\text{Solar}} * t_{\text{Zyklus}}) - (P_{\text{Gerät}} * t_{\text{Zyklus}})$$

Eingebettetes System

Die Steuerung stellt den Energieverbraucher des Systems dar. Der Verbrauch wird dabei durch das Aktivitätslevel beeinflusst und ändert sich über der Zeit. Jedes Aktivitätslevel steht für eine spezifische mittlere Leistungsaufnahme, welche über den gesamten Aktivitätszyklus als konstant betrachtet wird. Das energetische Verhalten der Steuerung ist demnach in den unterschiedlichen Aktivitätsleveln abgebildet. Die Auslegung der Aktivitätslevel folgt in Abschnitt 5.4.2.

5.4.2. Auslegung der Aktivitätslevel

Die Aktivitätslevel dienen dem Algorithmus als Steuergröße für die Beeinflussung der Energieaufnahme und müssen daher sinnvoll ausgelegt werden. Dazu werden zunächst die einzuhaltenden Randbedingungen ermittelt und anschließend verschiedene Aktivitätslevel-Kennlinien definiert.

Randbedingungen und Annahmen

Die Randbedingungen werden entweder durch die Hardware vorgegeben oder sinnvoll angenommen. Die Verweildauer des Geräts im aktiven Modes wird auf 60 Sekunden festgelegt und für jedes Aktivitätslevel als konstant betrachtet. Innerhalb dieser Zeit wird später das Gerät die Messungen durchführen. Für die Auslegung ist weiterhin interessant wie groß die Schrittweite der Zeit im Passivmodus gewählt werden kann. Die verwendete RTC kann einen Interrupt zum Aufwecken nur mit einer Genauigkeit auf Minuten, nicht jedoch auf Sekunden auslösen. Daher ist die minimale Schrittweite für die Passivzeit 60 Sekunden. So ist auch die Zeit im Passivmodus mindestens 60 Sekunden lang. Als kürzester Aktivitätszyklus ergibt sich so aus der Zeit im Aktivmodus und der Zeit im Passivmodus 120 Sekunden, während die maximale Länge eines Gesamtzyklus mit 1h (3600 Sekunden) angenommen wird.

Wie im Abschnitt 4.4 ermittelt wurde, kann der Energieverbrauch nur zwischen der maximalen und minimalen Leistungsaufnahme gesteuert werden. Daher muss vor der Definition der Aktivitätslevel die Leistungsaufnahme der Steuerung im Aktiv- und Passivmodus gemessen werden. Das Gerät wird dazu an eine Spannungsversorgung angeschlossen und die Stromaufnahme jeweils für den Aktiv- und Passivmodus gemessen.

Die Tabelle 5.5 zeigt die Ergebnisse der Messungen der Energieaufnahme.

| Modus | Spannung [V] | Strom [A] | Leistung [W] |
|--------|--------------|-----------|--------------|
| Aktiv | 13,8 | 0,1796 | 2,478 |
| Passiv | 13,8 | 0,0453 | 0,625 |

Tabelle 5.5.: Leistungsaufnahme des verwendeten Systems im Aktiv- und Passivmodus

Mit Hilfe der Leistungsaufnahmen und den zuvor ermittelten Randbedingungen für die Aktivitätszyklen kann nun der mit dem Gesamtsystem mögliche maximale und minimale Energieverbrauch berechnet werden. (Gleichung 5.4, 5.5):

$$P_{min} = 0,625W + (2,478W - 0,625W) \left(\frac{60s}{3600s} \right) = \underline{\underline{0,656W}} \quad (5.4)$$

$$P_{max} = 0,625W + (2,478W - 0,625W) \left(\frac{60s}{120s} \right) = \underline{\underline{1,551W}} \quad (5.5)$$

Die folgende Tabelle 5.6 fasst die ermittelten Randbedingungen zusammen:

| Parameter | Wert |
|----------------------------------|-------------------------|
| Kleinster Aktivitätszyklus | 120 s |
| Größter Aktivitätszyklus | 3600 s (Annahme) |
| Zeit im Aktivmodus (konst.) | 60 s (Anforderung) |
| Minimale Zeit im Passivmodus | 60 s |
| Minimale Schrittweite Passivzeit | 60 s (Vorgabe Hardware) |
| Maximale Leistungsaufnahme | 1,550 W |
| Minimale Leistungsaufnahme | 0,625 W |

Tabelle 5.6.: Randbedingungen für die Auslegung der Aktivitätslevel

Definition der Aktivitätslevel

Mit den ermittelten Randbedingungen und den in Tabelle 5.5 gemessenen Werten, werden nun die Aktivitätslevel definiert. Die Anzahl der Level wird auf 11 (0 bis 10) festgelegt und es werden mehrere Aktivitätslevel-Kennlinien mit unterschiedlichen Aufteilungen der Zykluszeiten erstellt. So kann später die Auswirkung unterschiedlicher Kennlinien auf das Verhalten des Algorithmus ausgewertet werden.

Aktivitätskennlinie I:

Die erste Serie von Aktivitätsleveln verwendet einen linearen Verlauf der Zeit im Passivmodus. Als maximale Zykluszeit wird die Randbedingung von 1h ausgewählt, die minimale Zeit wird auf 180 Sekunden festgelegt. Zwischen diesen zwei Zeiten werden die anderen 9 Zykluszeiten weitestgehend gleichmäßig verteilt und die jeweilige Leistungsaufnahme berechnet. Für diese Serie bleibt das Gerät für 90 s statt für 60 s im aktiven Modus.

| Level | Aktivitätszyklus [s] | Energieverbrauch [W] |
|-------|----------------------|----------------------|
| 0 | 3600 | 0,671 |
| 1 | 3258 | 0,676 |
| 2 | 2916 | 0,682 |
| 3 | 2574 | 0,689 |
| 4 | 2232 | 0,699 |
| 5 | 1890 | 0,716 |
| 6 | 1548 | 0,732 |
| 7 | 1206 | 0,762 |
| 8 | 864 | 0,817 |
| 9 | 522 | 0,943 |
| 10 | 180 | 1,550 |

Tabelle 5.7.: Definition der Aktivitätslevel-Kennlinie I

Die Abbildung 5.11 zeigt die Leistungsaufnahmen und Passivzeiten für die verschiedenen Aktivitätslevel.

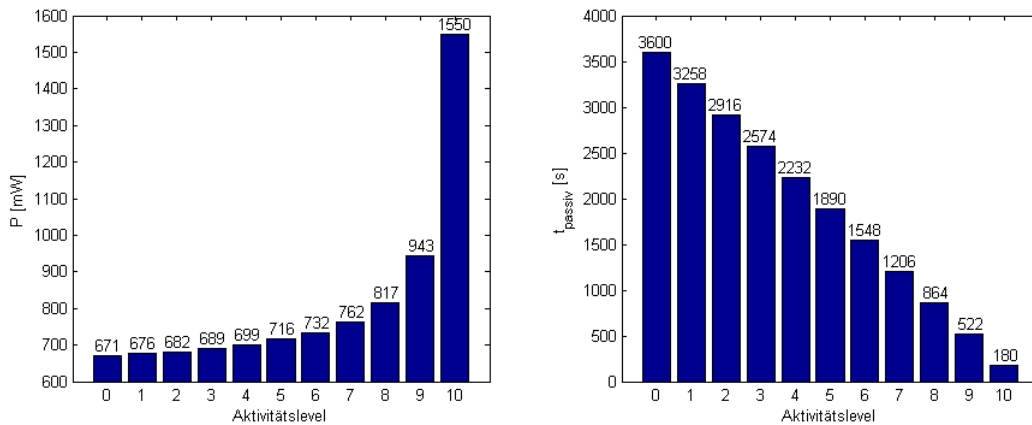


Abbildung 5.11.: Leistungsaufnahme und Passivzeit der Aktivitätslevel-Kennlinie I

Aktivitätskennlinie II:

Bei der Auslegung der zweiten Kennlinie wird versucht einen möglichst linearen Zusammenhang zwischen Aktivitätslevel und Leistungsaufnahme zu erzeugen. Durch den nichtlinearen Zusammenhang von Passivzeit und Energieverbrauch, in Kombination mit der Schrittweite der Passivzeit von 60 Sekunden, kann insbesondere für die hohen Aktivitätslevel jedoch kein linearer Zusammenhang erreicht werden. Hier wäre es notwendig die Passivzeit mit einer höheren Genauigkeit einzustellen. Daher wird in für die Aktivitätslevel 4 - 10 die minimale Schrittweite verwendet.

| Level | Aktivitätszyklus [s] | Energieverbrauch [W] |
|-------|----------------------|----------------------|
| 0 | 3600 | 0,656 |
| 1 | 1449 | 0,702 |
| 2 | 813 | 0,762 |
| 3 | 564 | 0,822 |
| 4 | 480 | 0,856 |
| 5 | 420 | 0,889 |
| 6 | 360 | 0,934 |
| 7 | 300 | 0,995 |
| 8 | 240 | 1,080 |
| 9 | 180 | 1,242 |
| 10 | 120 | 1,551 |

Tabelle 5.8.: Definition der Aktivitätslevel-Kennlinie II

Nachfolgend ist der Verlauf von Leistungsaufnahme bzw. Passivzeit über den Aktivitätsleveln der Kennlinie II in Abbildung 5.12 dargestellt.

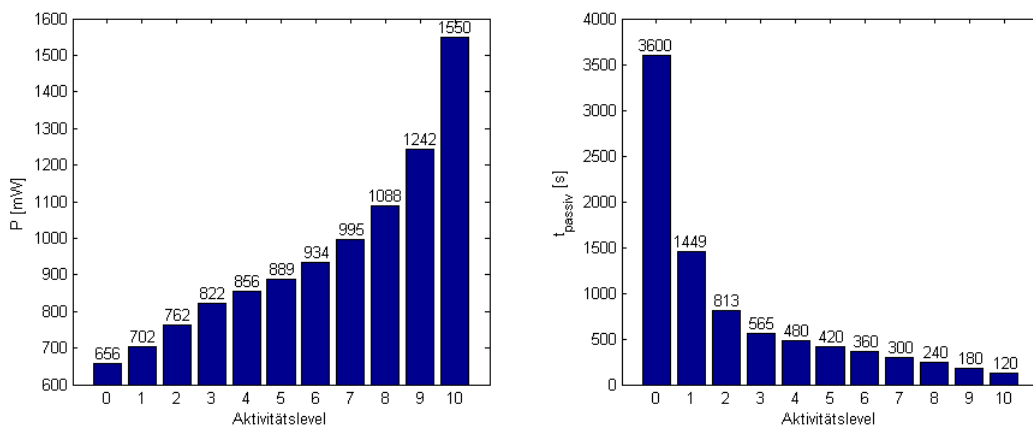


Abbildung 5.12.: Leistungsaufnahme und Passivzeit der Aktivitätslevel-Kennlinie II

Aktivitätskennlinie III:

Die dritte Definition von möglichen Aktivitätsleveln enthält wieder eine lineare Aufteilung der Zykluszeit. Die maximale Zeit wird, wie bei den vorherigen Serien, auf 1h begrenzt, jedoch wird nun die minimale Zeit auf 10 min (600 s). Dadurch ergibt sich insgesamt ein wesentlich geringerer Energieverbrauch des Systems.

In der folgenden Tabelle 5.9 werden die berechneten Werte für die Aktivitätskennlinie III dargestellt.

| Level | Aktivitätszyklus [s] | Energieverbrauch [W] |
|-------|----------------------|----------------------|
| 0 | 3600 | 0,656 |
| 1 | 3300 | 0,659 |
| 2 | 3000 | 0,662 |
| 3 | 2700 | 0,666 |
| 4 | 2400 | 0,671 |
| 5 | 2100 | 0,678 |
| 6 | 1800 | 0,687 |
| 7 | 1500 | 0,699 |
| 8 | 1200 | 0,718 |
| 9 | 900 | 0,748 |
| 10 | 600 | 0,810 |

Tabelle 5.9.: Definition der Aktivitätslevel-Kennlinie III

Der Verlauf von Leistungsaufnahme bzw. Passivzeit für die Aktivitätslevel-Kennlinie III ist in Abbildung 5.13 dargestellt.

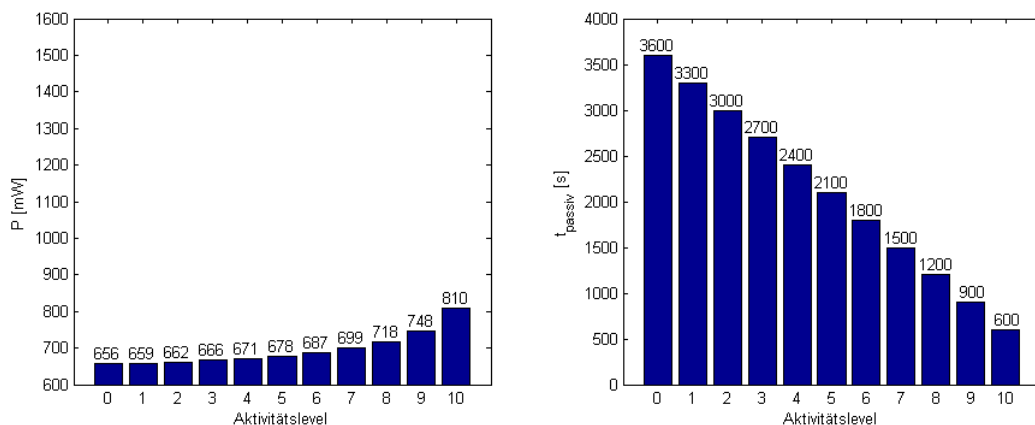


Abbildung 5.13.: Leistungsaufnahme und Passivzeit der Aktivitätslevel-Kennlinie III

6. Messungen und Auswertung

Nachdem ein funktionsfähiges System aufgebaut und die erforderliche Software umgesetzt wurde, wird nun das Verhalten des Gesamtsystems mit vorausschauendem Energiemanagement-Algorithmus analysiert. Dazu werden Szenarien entwickelt, welche den Algorithmus in unterschiedlichen Situationen testen. Mit Hilfe der von der Software erstellten Logdateien wird anschließend das Verhalten des Systems für die verschiedenen Szenarien ausgewertet.

6.1. Messungen

6.1.1. Messaufbau

Für die Messungen wird ein Messaufbau ohne Solarmodul verwendet. Um das Verhalten des Algorithmus unter unterschiedlichen Konditionen messen zu können, muss die Energiezufuhr durch das Solarmodul gesteuert werden können. Da eine Vorrichtung zur gezielten Bestrahlung des Solarmoduls nicht zur Verfügung steht, wird das Modul durch ein Labornetzgerät „simuliert“. Die Stromabgabe des Netzteils wird so begrenzt, dass die abgegebene Energie einem Wert entspricht, der mit der Leistung eines Solarmoduls vergleichbar ist. Durch Ein- bzw. Ausschalten des Labornetzgeräts kann nun die Energiezufuhr exakt gesteuert werden. Das Labornetzgerät wird auf eine Spannung von 13,8 V eingestellt und der Strom auf 0,2 A begrenzt. Dies entspricht einer Sonneneinstrahlung von 483 W/m^2 auf das vorhandene Solarmodul.

Zur Messung der Akkuspannung wird ein analoger Eingang am Gerät verwendet. Diese können mit Spannungswerten zwischen 0 V und 10 V beschaltet werden. Da die maximale Spannung des Akkus jedoch 13,8 V beträgt, wird ein Spannungsteiler mit einem Verhältnis von ca. 1:0,723 und einen daran angeschlossenen Impedanzwandler verwendet, um die Akkuspannung zu messen. Dadurch wird die maximale Spannung des Akkus von 13,8 V auf ca. 9,98 V herabgesetzt. In der Software wird der Spannungswert mit dem Kehrwert des Spannungsteilers multipliziert und somit die reale Akkuspannung berechnet. Der Impedanzwandler muss verwendet werden, da der Eingangswiderstand des A/D-Wandlers, gemessen an den Werten der für den Spannungsteiler verwendeten Widerstände, nicht hochohmig ist. Dies würde zu einem Abfall der zu messenden Spannung führen.

Der Messaufbau in Abbildung 6.1 wird für die Messungen verwendet.

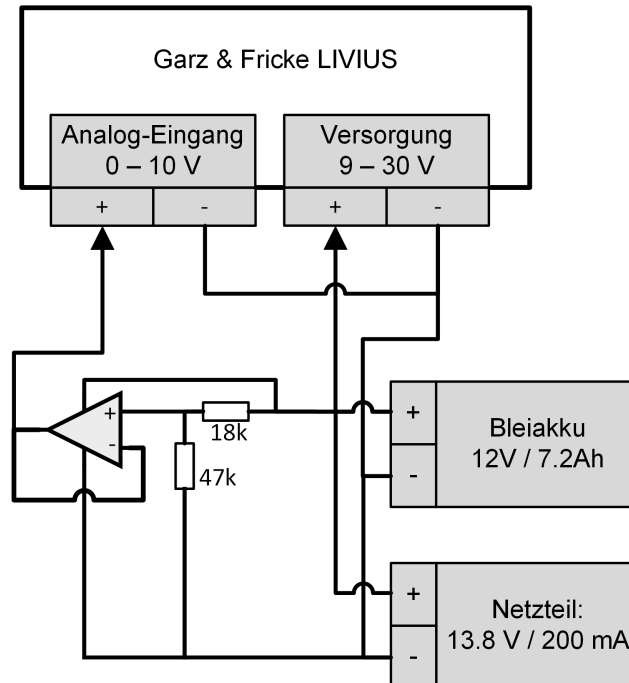


Abbildung 6.1.: Schaltplan des Messaufbaus

6.1.2. Durchführung der Messungen

Die Messungen werden mit unterschiedlichen Aktivitätslevel-Kennlinien, Wettervorhersagen und Energiezuführungen realisiert. Alle Messungen werden über einen Zeitraum von 4 Stunden und mit einem Prädiktionshorizont von 4 Stunden durchgeführt. Die Spannungs-Grenze des Akkus, welche nicht unterschritten werden soll, wird für jede Messung neu definiert. Die Wettervorhersagen für die Sonnenstrahlung entsprechen entweder der real möglichen Energiezufuhr von 483 W/m^2 oder 0 W/m^2 . Diese binäre Aufteilung wurde gewählt, da mit dem vorhandenen Messaufbau auch nur eine binäre Energiezufuhr möglich ist. Weiterhin muss beachtet werden, dass immer Vorhersage-Daten für 8 Stunden vorhanden sein müssen, da das System für jeden Zeitpunkt während der Messung eine Prädiktion von 4 Stunden durchführt. Dazu werden zwei gleiche Vorhersage-Datensätze für 4 Stunden verwendet, welche hintereinander gereiht werden.

Es werden zwei Grundscenarien für die Messungen verwendet, um den Algorithmus zu analysieren.

Szenario 1: Es wird eine einfache Entladungs-Situation simuliert. Für die gesamte Messung ist keine Sonnenstrahlung vorhergesagt und es wird auch real keine Energie zugeführt. Dieses Szenario entspricht dem im Abschnitt 4 beschriebenen Beispiel. Anhand der Ergebnisse dieses Szenarios wird das vorausschauende Verhalten des Algorithmus unter vereinfachten Bedingungen analysiert, daher werden auch Prädiktions-Daten von markanten Zeitpunkten in einem Diagramm aufgezeichnet.

Szenario 2: Das zweite Szenario deckt innerhalb der Messperiode mehrere Kombinationen aus Wettervorhersage und realer Energiezufuhr ab. Auf diese Weise wird das Verhalten unter stark dynamischen Umwelteinflüssen analysiert. Die nachfolgenden Situationen werden in diesem Szenario abgedeckt:

- Energiezufuhr vorhergesagt und es findet real die exakt gleiche Energiezufuhr statt
- keine Energiezufuhr vorhergesagt und es findet keine reale Energiezufuhr statt
- Energiezufuhr vorhergesagt, doch es findet keine reale Zufuhr statt
- keine Energiezufuhr vorhergesagt, doch es findet reale Zufuhr statt

Entsprechend der Tabelle 6.1 wurden die Messungen mit den unterschiedlichen Szenarien und verschiedenen Aktivitätslevel-Kennlinien durchgeführt

| Messung Nr. | Aktivitätslevel-Kennlinie | Szenario (1/2) | Start-Spannung | Grenz-Spannung |
|-------------|---------------------------|----------------|----------------|-------------------|
| 1 | I | 1 | 11.9752 V | 11.820 V (40 %) |
| 2 | I | 2 | 11.9412 V | 11.919 V (43 %) |
| 3 | II | 2 | 11.9380 V | 11.886 V (42 %) |
| 4 | III | 2 | 11.9177 V | 11.899 V (42.4 %) |

Tabelle 6.1.: Übersicht der durchgeführten Messungen und deren Randbedingungen

Die Software zeichnet selbstständig die Daten der einzelnen Systemzustände im Aktivmodus auf, dazu zählt die Systemzeit, das Aktivitätslevel, sowie die Akku-Spannung.

6.1.3. Messergebnisse

Dieser Abschnitt zeigt die Ergebnisse der Messungen, welche den Logdateien der Anwendungssoftware entnommen werden können. Für jede Messung ist jeweils die Akku-Spannung, das Aktivitätslevel, sowie die vorhergesagte und reale Energiezufuhr dargestellt. Über den jeweiligen Graphen sind die wichtigsten Kenndaten der Messung zusammengefasst.

Messung 1

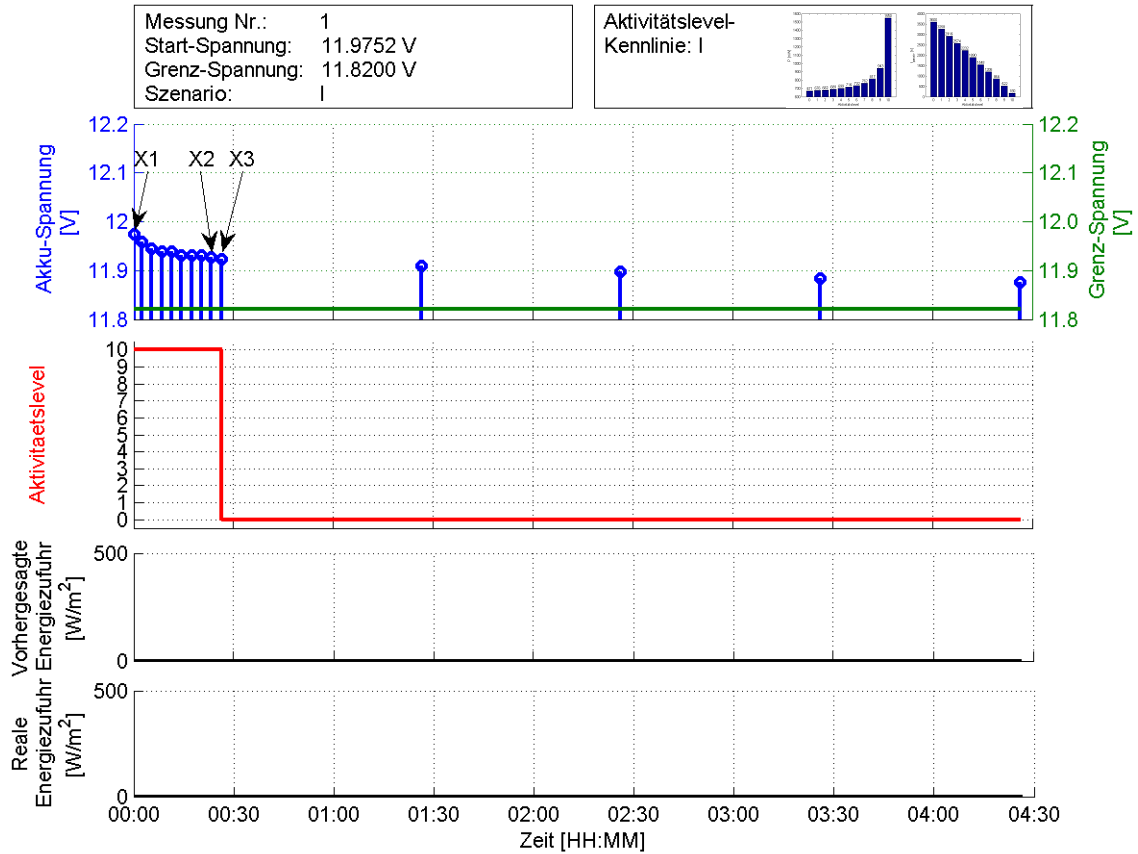


Abbildung 6.2.: Ergebnis der Messung 1

Für die Messung wird die Aktivitätskennlinie I verwendet (lineare Zykluszeit) und es wird bei einer Akku-Spannung von 11.9752 V gestartet. Die Grenz-Spannung wird auf 11.82 V festgelegt.

Das System startet im höchsten Aktivitätslevel (10) und schaltet nach ca. 25 Minuten auf das niedrigste Aktivitätslevel 0. Dieses Level wird dann bis zum Ende der Messung gehalten. Es ist außerdem erkennbar, dass die Akku-Spannung nach 4 Stunden die Grenz-Spannung nicht unterschritten hat, sondern weiter darüber liegt. Um die Entscheidung des Algorithmus zum Zeitpunkt X3 zu analysieren, werden die Daten der Prädiktionen betrachtet, die zu den Zeitpunkten X1, X2 und X3 berechnet wurden.

6. Messungen und Auswertung

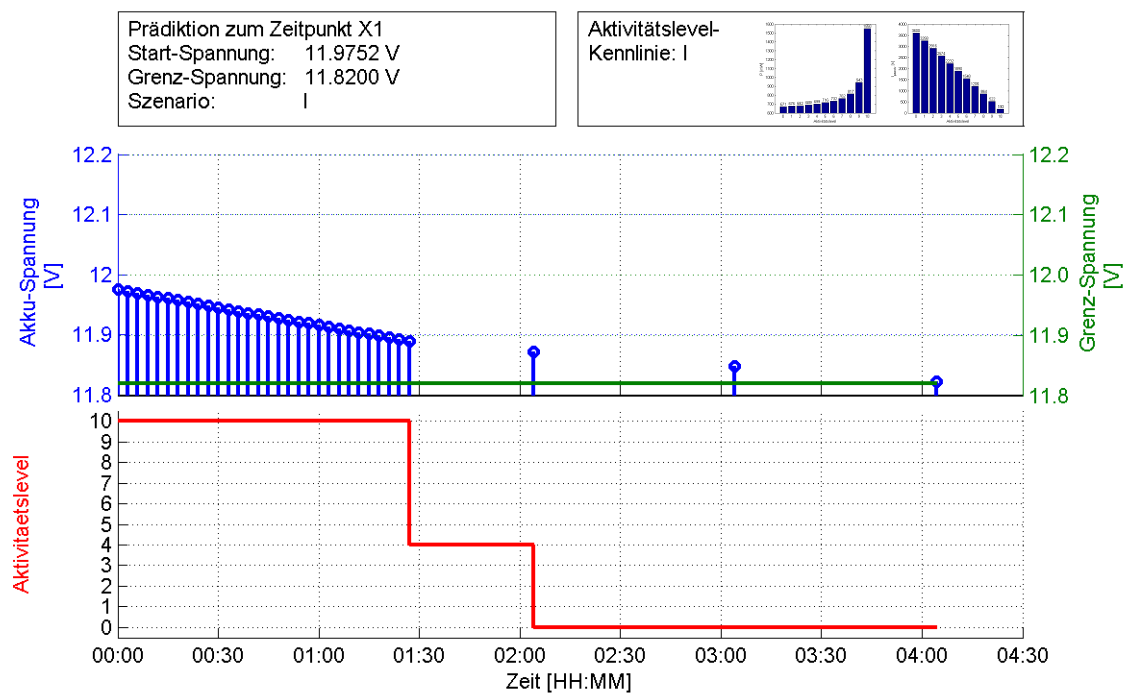


Abbildung 6.3.: Ergebnis der Prädiktion zum Zeitpunkt X1 (Messung 1)

Der Zeitpunkt X1 ist der Startpunkt der Messreihe. Anhand der Vorausberechnungen des Algorithmus für diesen Zeitpunkt (Abb. 6.3), muss nach 1,5 Stunden das Aktivitätslevel auf 4 und anschließend nach wiederum ca. 30 Minuten auf das Level 0 gewechselt werden, um nach 4 Stunden nicht unter die Grenz-Spannung zu fallen. In der Realität wechselt das System aber bereits nach ca. 30 Minuten auf das minimale Level. Das liegt daran, dass zu einem späteren Zeitpunkt X2 die Vorausberechnung wieder für 4 Stunden durchgeführt wird, jedoch zwischenzeitlich keine Aufladung stattfindet. Die Berechnung beginnt demnach bei einer niedrigeren Akku-Spannung, darf jedoch trotzdem nach 4 Stunden nicht die Grenz-Spannung unterschreiten. Daher muss in der zweiten Vorausberechnung mehr Energie eingespart werden, als noch bei der ersten Berechnung.

6. Messungen und Auswertung

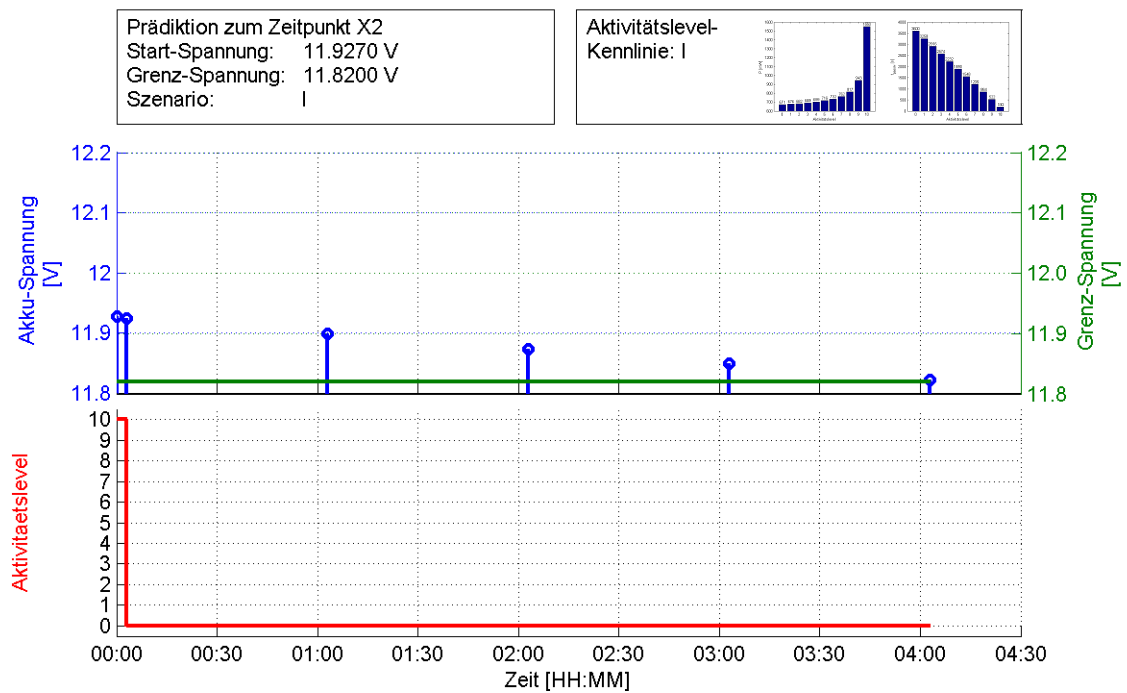


Abbildung 6.4.: Ergebnis der Prädiktion zum Zeitpunkt X2 (Messung 1)

Die Vorausberechnung zum aktiven Zeitpunkt X2, ergibt, dass das Aktivitätslevel beim nächsten Aktivzyklus auf den Wert 0 geändert werden muss, um innerhalb des Prädiktionshorizonts zulässige Akkuladezustände zu erhalten. Für den aktuellen Systemzustand kann jedoch noch das maximale Aktivitätslevel beibehalten werden (s. Abb. 6.4).

6. Messungen und Auswertung

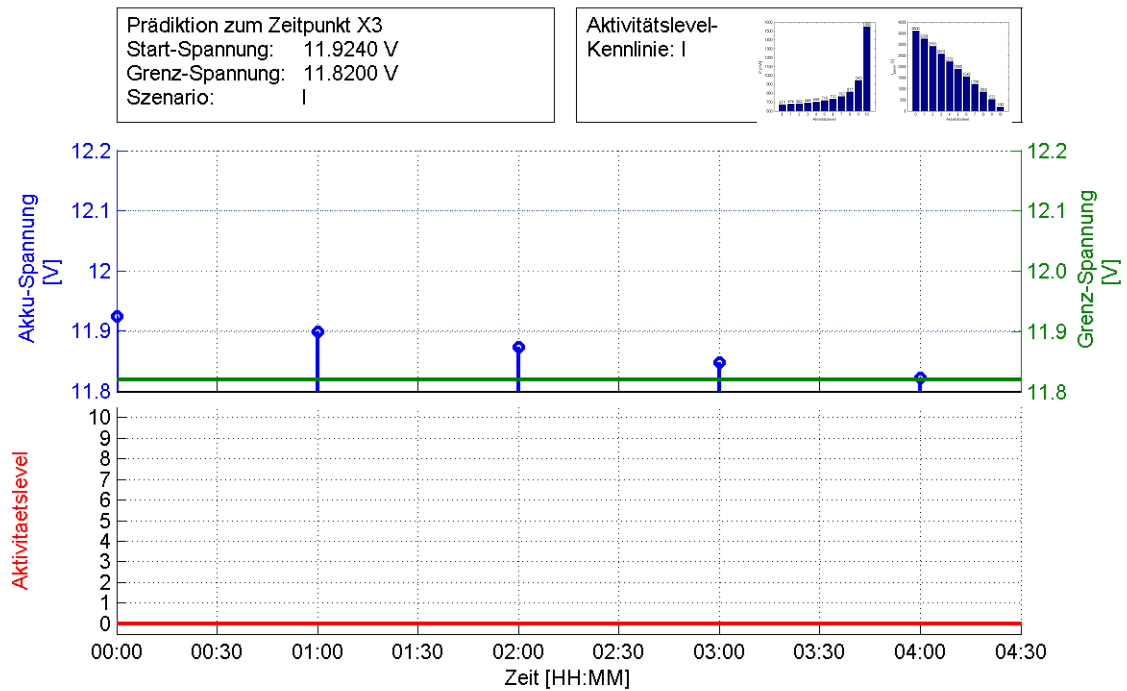


Abbildung 6.5.: Ergebnis der Prädiktion zum Zeitpunkt X3 (Messung 1)

Die Vorausberechnung zum Zeitpunkt X3 ergibt, dass es notwendig ist, von nun an nur noch das Aktivitätslevel 0 zu verwenden, um in 4 Stunden nicht unter die Grenz-Spannung zu fallen. Daher wechselt das System zu diesem Zeitpunkt auf das Aktivitätslevel 0.

Messung 2

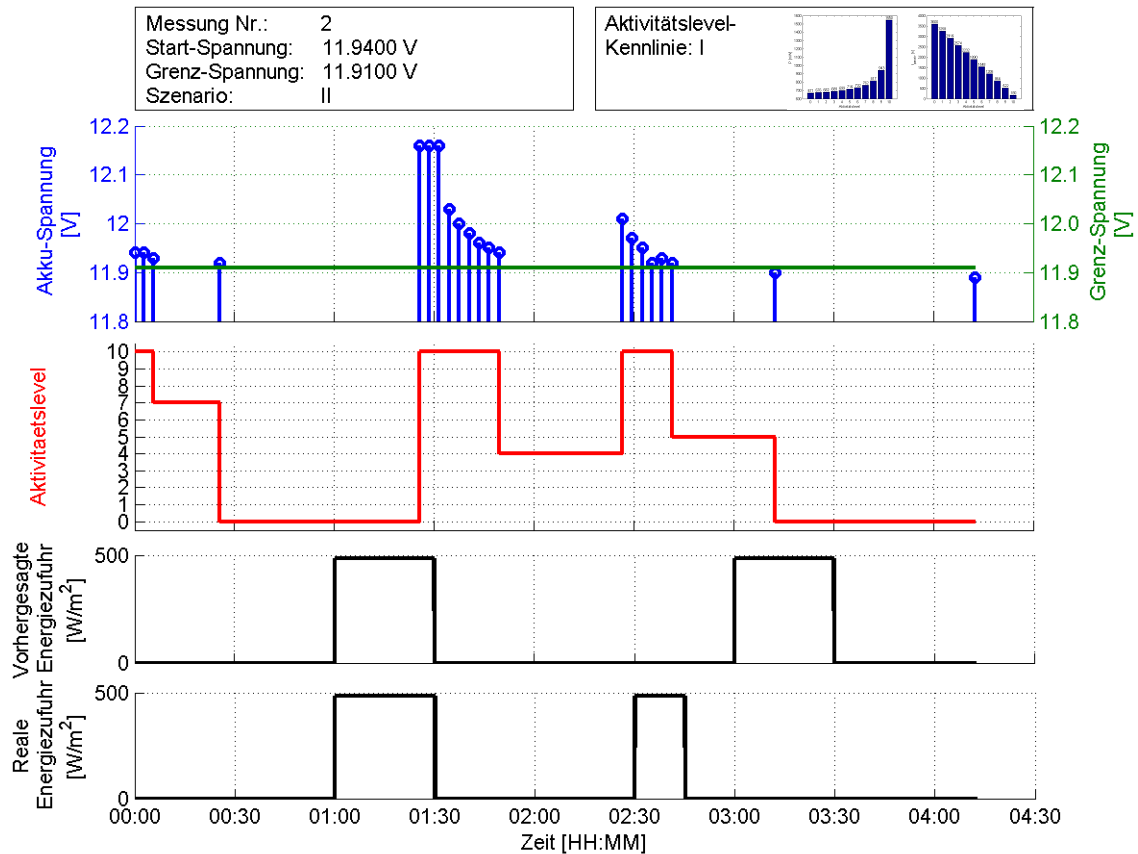


Abbildung 6.6.: Ergebnis der Messung 2

Es wird eine Aktivitätskennlinie mit einem linearen Verlauf der Zykluszeit und einem minimalen Zyklus von 3 Minuten verwendet. Die Abbildung 6.6 zeigt die aufgezeichneten Graphen für diese Messung. Der Algorithmus reduziert hier bereits nach kurzer Zeit das Aktivitätslevel, um nach ca. 30 Minuten auf das minimale Level zu wechseln. Durch die lange Passivzeit des minimalen Levels ist das System erst dann wieder aktiv, wenn die erste Aufladungsphase bereits fast abgeschlossen ist. Jedoch wird die höhere Akku-Spannung erkannt und das Aktivitätslevel auf den maximalen Wert eingestellt. Das Level wird für ca. 20 Minuten gehalten und anschließend auf ein mittleres Level gewechselt. Auf die nicht vorhergesagte Aufladung reagiert der Algorithmus mit einem sofortigen Wechsel auf das maximale Aktivitätslevel. Während der vorhergesagten Aufladung, welche jedoch nicht stattfindet, fällt der Akku-Spannungswert unter die Grenz-Spannung, worauf das Aktivitätslevel 0 aktiviert wird. Insgesamt ist das System innerhalb der 4 Stunden 21 Mal aktiv.

Messung 3

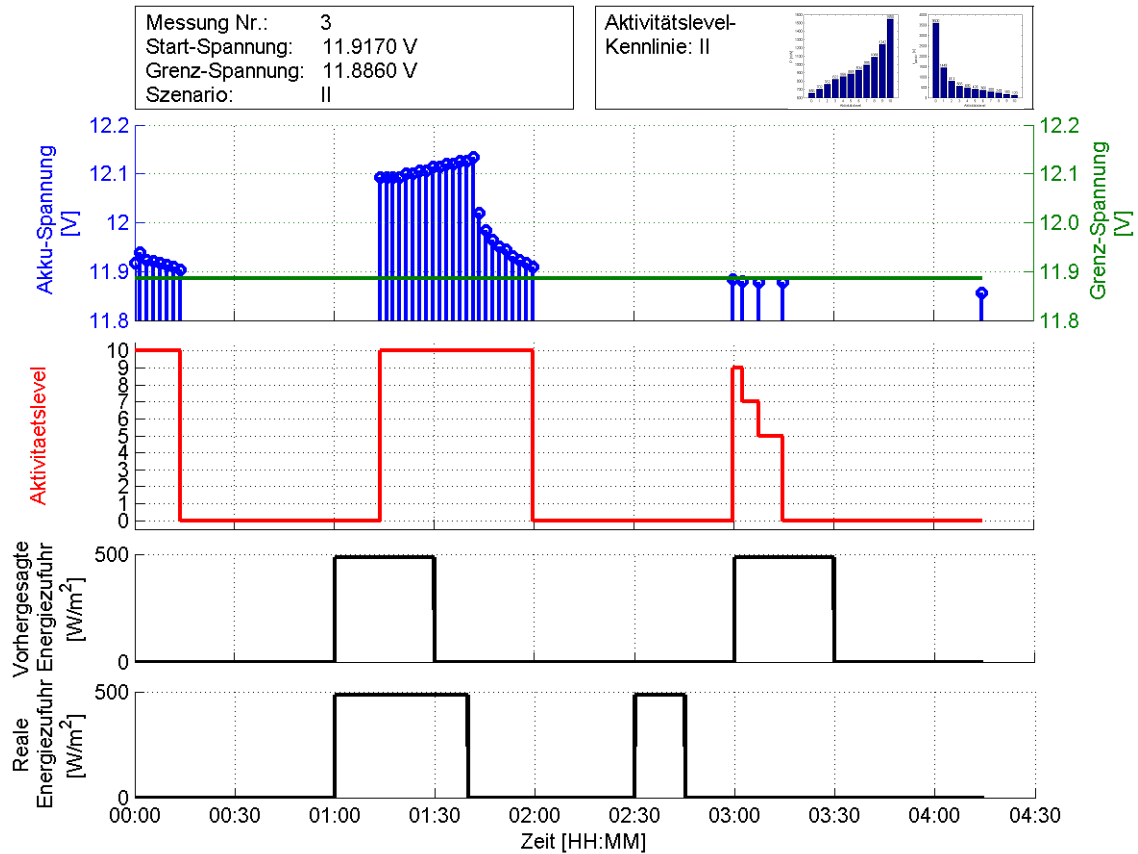


Abbildung 6.7.: Ergebnis der Messung 3

Für die nächste Messung (s. Abb. 6.7) wird die Aktivitätskennlinie II und eine leicht modifizierte reale Energiezufuhr verwendet. Die minimale Zykluszeit ist auf 2 Minuten festgelegt. Nach dem Start mit Aktivitätslevel 10 wechselt das System nach ca. 15 Minuten auf Level 0. Der nächste aktive Zeitpunkt befindet sich anschließend während der ersten vorhergesagten und realen Aufladung, was zu einem erneuten Wechsel auf das Level 10 führt. Das Aktivitätslevel wird auch nach der Aufladung weiter gehalten, bis nach ca. 20 Minuten wieder das minimale Level aktiv wird. Auf die unerwartete Aufladung reagiert der Algorithmus nicht, da sich das System während dieser Zeit im Passivmodus befindet. Der nächste Aktivzyklus beginnt zum Zeitpunkt der vorhergesagten, aber nicht erfolgten Aufladung. Die Akku-Spannung hat hier bereits die Grenz-Spannung erreicht. Da der Algorithmus jedoch mit einer Aufladung rechnet, wird ein hohes Aktivitätslevel gewählt. Die Level werden nun nach und nach reduziert, da die erwartete Aufladung nicht erfolgt, bis schließlich das minimale Aktivitätslevel aktiviert wird. Am Ende der Messung liegt die-Akku-Spannung unter der Grenz-Spannung. Das System führt in dieser Messung insgesamt 37 Messungen im Aktivmodus durch.

Messung 4

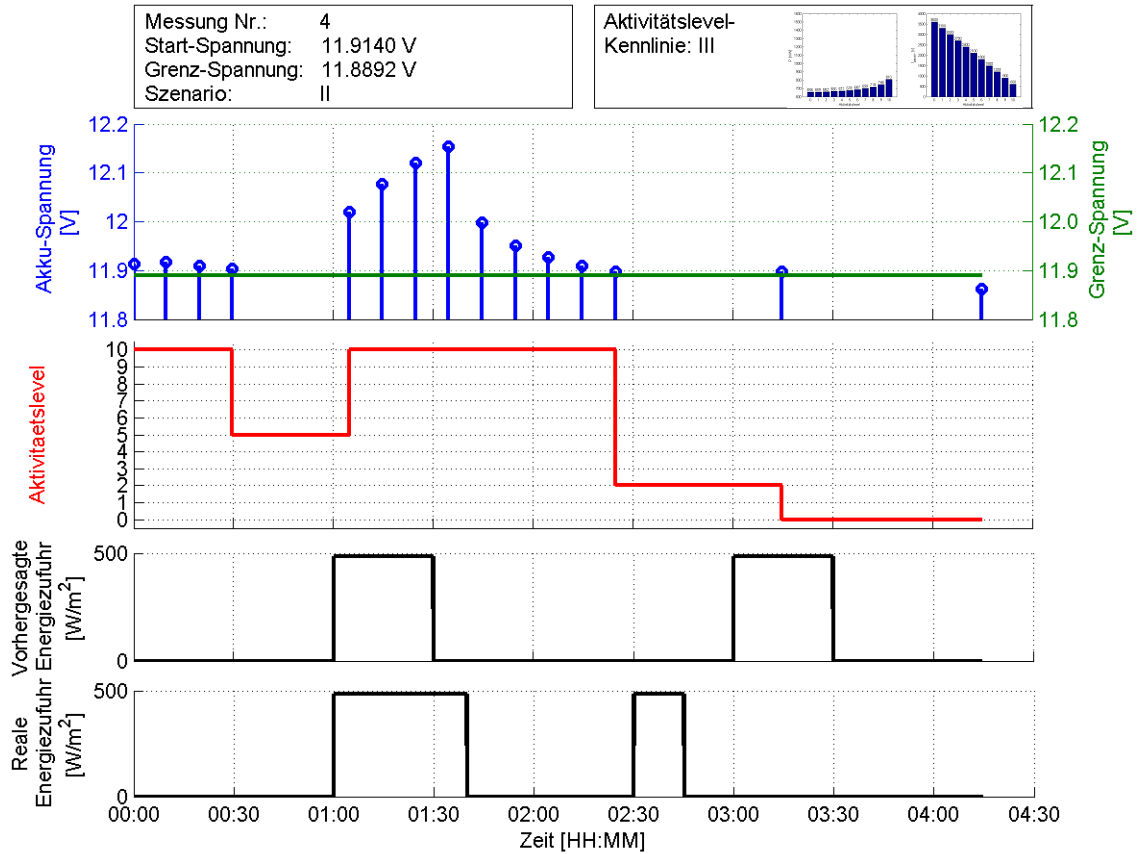


Abbildung 6.8.: Ergebnis der Messung 4

Die Aktivitätskennlinie III wird für die letzte Messung verwendet. Die Kennlinie hat, wie Kennlinie I, einen linearen Verlauf der Zykluszeit, verwendet aber eine wesentlich höhere minimale Zykluszeit von 10 Minuten. Für die Messung wird ebenfalls eine modifizierte reale Energiezufuhr verwendet. Die Abbildung 6.8 zeigt die zeitlichen Verläufe der aufgezeichneten Daten. Auch in dieser Messung wechselt der Algorithmus nach ca. 30 Minuten das Aktivitätslevel, es wird ein mittlerer Wert eingestellt. Während der ersten Aufladungsphase wird zurück auf das maximale Aktivitätslevel gewechselt, da die erhöhte Akku-Spannung erkannt wird. Das maximale Level wird auch nach der Aufladung weiter gehalten, bis es kurz vor der unerwarteten Aufladung auf einen niedrigen Wert eingestellt wird. Das System ist dann erst wieder zum Zeitpunkt der zweiten vorhergesagten Energiezufuhr aktiv und reagiert mit einem Wechsel auf Level 0. Innerhalb der Messperiode ist das System in dieser Messung 15 Mal aktiv.

6.2. Auswertung

6.2.1. Verhalten unter statischen Bedingungen

Das Verhalten unter statischen Bedingungen wird in Messung 1 untersucht. Es wird keine Energiezufuhr vorhergesagt und auch real keine Energie zugeführt. Mit Hilfe der Prädiktionsdaten für verschiedene Zeitpunkte wird die Wirkweise des Algorithmus verdeutlicht.

Die Messung ergibt, dass der Algorithmus vorausschauend das Aktivitätslevel frühzeitig reduziert, um am Ende der Messperiode die Grenzspannung nicht zu unterschreiten. Dabei wird das Aktivitätslevel früher reduziert als in der ersten Vorausberechnung ermittelt wurde, was mit der Verschiebung des Prädiktionshorizonts mit jedem aktiven Zyklus zusammenhängt. Es wird deutlich, dass die Optimierung für jeden aktiven Zeitpunkt neu durchgeführt wird, wobei sich die Berechnungsgrundlage und damit die Grundlage für die Auswahl eines Aktivitätslevels ändert.

Der Algorithmus arbeitet unter statischen Bedingungen sehr zuverlässig und die festgelegte Grenzspannung wird nicht unterschritten. Auffällig ist jedoch der große Sprung vom maximalen zum minimalen Aktivitätslevel.

6.2.2. Verhalten unter dynamischen Bedingungen

Das dynamische Verhalten des Energiemanagement-Algorithmus wird in den Messungen 2 bis 4 betrachtet. Es werden unterschiedliche Aktivitätslevel-Kennlinien für das gleiche dynamische Messszenario verwendet.

Auch in diesen Messungen kann die vorausschauende Reduktion des Aktivitätslevels beobachtet werden. Findet die vorhergesagte Energiezufuhr auch tatsächlich statt, werden die Level so gewählt, dass die Akku-Spannung nicht unter die Grenze fällt. Stimmt die Vorhersage jedoch nicht und wird insgesamt weniger Energie zugeführt, als vorhergesagt ist, so wählt der Algorithmus tendenziell zu hohe Aktivitätslevel. Dies führt dazu, dass am Ende der Messungen die Grenzspannung unterschritten wird. Es wurde eine deutliche Zwei-Punkt-Charakteristik festgestellt, die, je nach Länge der minimalen Zykluszeit, unterschiedlich stark ausgeprägt ist. Der Grund hierfür kann in der Implementierung des Algorithmus gefunden werden. Dieser wählt immer das maximal mögliche Aktivitätslevel, jedoch mit der Grenzspannung als Randbedingungen. So wählt der Algorithmus für energiereiche Perioden das maximale Aktivitätslevel, stellt dann aber fest, dass dies zu viel Energie verbraucht und schaltet zurück auf das minimale Aktivitätslevel, um noch bis zum Ende der Messung eine zulässige Akku-Spannung halten zu können.

Unter dynamischen Bedingungen ist das Verhalten des Algorithmus ebenfalls nachvoll-

ziehbar, doch können auch hier große Sprünge zwischen den Aktivitätsleveln beobachtet werden. Die Grenzspannung wird bei allen 3 Messungen am Ende unterschritten. Dies ist damit zu begründen, dass dem System weniger Energie als vorhergesagt zugeführt wurde.

6.2.3. Bewertung des Gesamtsystems

Die Messergebnisse zeigen, dass der entwickelte vorausschauende Energiemanagement-Algorithmus grundsätzlich funktioniert und den Energieverbrauch des eingebetteten Systems so steuert, dass der Akkumulator die festgelegte Spannungsgrenze weitestgehend nicht unterschreitet. Ist der Ladezustand des Akkus niedrig und wird eine längere Phase ohne Energiezufuhr erkannt, so wird das Aktivitätslevel reduziert, um Energie einzusparen. Sobald wieder ausreichend viel Energie im Akku zur Verfügung steht, wird das Aktivitätslevel erhöht. Das vorausschauende Verhalten des Algorithmus kann ebenfalls nachgewiesen werden, doch hängt dies stark von den gegebenen Umwelteinflüssen ab. Entscheidend für das Verhalten des Systems ist außerdem die verwendete Aktivitätslevel-Kennlinie.

Das System funktioniert sehr zuverlässig, wenn vorhergesagte und reale Energiezufuhr übereinstimmen, insbesondere wenn die Umweltbedingungen sich nicht ändern (s. Messung 1). Entsprechen die Vorhersage-Daten jedoch nicht der real zugeführten Energie so wählt das System zu hohe oder zu niedrige Aktivitätslevel, da die Optimierung direkt auf den Vorhersage-Daten basiert. Unerwartete Aufladungen werden vom System sehr schnell erkannt, sofern das Gerät in diesem Zeitraum einen aktiven Zyklus durchläuft. Das Aktivitätslevel wird in einem solchen Fall drastisch erhöht. Erfolgen jedoch Aufladungen, welche vorhergesagt waren, nicht, so wird dies nur indirekt festgestellt. Der Algorithmus plant dann hohe Aktivitätslevel, doch stellt fest, dass trotzdem immer weniger Energie zur Verfügung steht und ist daher gezwungen das Level zu verringern.

Die Ergebnisse der Messungen 2 bis 4 zeigen, dass die Aktivitätslevel-Kennlinie einen großen Einfluss auf das Verhalten des Systems hat. Allgemein können beim Wechsel der Aktivitätslevel sehr große Sprünge beobachtet werden, welche einer Zwei-Punkt-Steuerung zwischen maximalem und minimalem Level ähneln. Kürzere Zykluszeiten (Messung 3) führen dabei insgesamt zu häufigeren und größeren Sprüngen des Aktivitätslevels, aber auch zu einer hohen Messdichte. Sind die Zykluszeiten insgesamt länger (Messung 4), sind die Änderungen der Aktivitätslevel weniger stark ausgeprägt, doch die Grundtendenz zum Zwei-Punkt-Verhalten bleibt erhalten. Die großen Sprünge führen unter anderem auch dazu, dass das System auch zu Zeitpunkten inaktiv ist, zu denen eigentlich ausreichend viel Energie zur Verfügung steht, um eine Messung durchzuführen.

7. Zusammenfassung

Diese Arbeit zeigt, dass ein vorausschauendes Energiemanagement auf einem autonom mit Energie versorgten und eingebetteten System realisiert werden kann. Der implementierte Algorithmus steuert dazu dynamisch den Energieverbrauch des eingebetteten Systems in Abhängigkeit von Wettervorhersage-Daten und aktuellen Sensorwerten.

Das entwickelte Gesamtsystem arbeitet in Aktiv- und Passivphasen, welche zu unterschiedlichen Leistungsaufnahmen führen. Durch Änderung des Verhältnisses zwischen aktiver und passiver Zeit, wird die Leistungsaufnahme des Systems beeinflusst. Als Randbedingung für die dynamische Anpassung wird ein Spannungswert festgelegt, der eine Untergrenze für die Spannung des Akkumulators darstellt. Zusätzlich wird ein Prädiktionshorizont definiert, der festlegt, über welchen Zeitraum die vorausschauende Fähigkeit des Algorithmus wirkt. Eine Anwendungssoftware, die den Algorithmus implementiert, reguliert dann die Leistungsaufnahme, sodass die Akkumulator-Spannung innerhalb des Prädiktionshorizonts nicht unter die festgelegte Schwelle fällt.

Unter statischen Umweltbedingungen reagiert das Energiemanagement-System zuverlässig und reduziert frühzeitig die Energieaufnahme, sodass die definierte Spannungsgrenze nicht unterschritten wird. Ist es jedoch dynamischen, von der Vorhersage abweichenden, Bedingungen ausgesetzt, sind die Reaktionen des Algorithmus tendenziell korrekt, führen aber unter Umständen zu unerwünschten Nebeneffekten. Insgesamt hat das Regelverhalten des Systems eine ausgeprägte „Zwei-Punkt“-Charakteristik. Dieses Verhalten wird durch kurze Zykluszeiten begünstigt. Die Definition der Aktivitätslevel stellt somit einen wichtigen Faktor bei der Auslegung des Systems dar. Dabei können sich die Kennlinien für verschiedene Anwendungszwecke unterschiedlich gut eignen.

Es konnte nachgewiesen werden, dass die entwickelte Software ein vorausschauendes Energiemanagement auf dem eingebetteten System umsetzt. Das grundlegende Verhalten des Algorithmus entspricht den Erwartungen, doch sollte für eine reale Applikation des Systems die Aktivitätslevel-Kennlinie sehr sorgfältig ausgelegt werden, da diese maßgeblich für das Gesamtverhalten des Systems verantwortlich ist.

8. Ausblick

8.1. Optimierung des Algorithmus

Das System reguliert in der aktuellen Umsetzung den Energieverbrauch über der Zeit ohne jegliche Einschränkungen. Für den realen Einsatz als Messstation können jedoch Randbedingungen gelten, die gewisse Aktivitätslevel zu bestimmten Uhrzeiten nicht zulassen (z. B. nachts). Außerdem könnte es notwendig sein, regelmäßig Messungen zu exakten Zeitpunkten durchzuführen. Der Algorithmus muss dies berücksichtigen, damit das Gerät zum gewünschten Zeitpunkt aktiv wird, obwohl das aktuelle Aktivitätslevel dies möglicherweise nicht vorsieht.

Modellierung des Systems

Die für die Implementierung gewählten Modelle der einzelnen Komponenten sind sehr einfach und stellen das reale Verhalten mit einer begrenzten Genauigkeit dar. Um die Vorausberechnungen und damit die Leistungsfähigkeit des Algorithmus zu verbessern, sollten exaktere Modelle verwendet werden. Es wurde bisher nur eine lineare Kennlinie für den Akkumulator verwendet, welche als Lade- und Entladekennlinie dient. Die realen Kennlinien für Aufladung und Entladung sind jedoch nicht linear und unterscheiden sich deutlich. Um den Ladezustand besser anhand der Akkuspannung zu ermitteln, könnte die Lade- und Entladekennlinie des verwendeten Akkumulators aufgezeichnet werden, um diese später für die Berechnung der Restkapazität zu verwenden. Auch für das Solarmodul sollte für unterschiedlich starke Sonneneinstrahlungen und unter realen Bedingungen eine Kennlinie erfasst werden.

Ein anderer Ansatz zur Verbesserung der Modellierung des Gesamtsystems wäre eine adaptive Auslegung der Modelle. Dazu müssten die vorausberechneten Werte eines Zustands mit den späteren realen Werten verglichen und anschließend die Parameter des Modell geändert werden. Das System würde so selbstständig während des Betriebs die Parameter der einzelnen Modelle immer weiter anpassen. Über einen längeren Zeitraum würden so Modelle vom System entwickelt werden, die das reale Verhalten des Systems sehr gut abbilden und eine genauere Prädiktion von zukünftigen Werten erlauben. Des Weiteren würden dann auch schleichende Prozesse, wie z. B. Alterungserscheinungen an Akkumulator und Solarmodul, berücksichtigt werden.

Gezielte Regelung der Aktivitätslevel

Wie die Messungen zeigen, sind die Wechsel zwischen den Aktivitätsleveln meist sehr groß, da der Algorithmus keine Begrenzung bei der Auswahl der Level verwendet. Um die dadurch entstehende „Zwei-Punkt“-Regelung zu verhindern, könnte der Wechsel der Level begrenzt werden. Noch vorteilhafter wäre die Implementierung einer echten Regelung der Aktivitätslevel. Durch entsprechende Einstellung der Regelparameter, welche auch adaptiv vom System angepasst werden könnten, könnte das Verhalten beim Wechsel der Aktivitätslevel beeinflusst werden.

8.2. Optimierung Software

Anwendungssoftware

Die implementierte Anwendungssoftware verwendet eine statische Wettervorhersage, welche in eine C-Header-Datei eingetragen ist. Diese statische Lösung ist für Testzwecke geeignet, weniger jedoch für einen späteren autonomen Einsatz des Systems. Die Anwendung könnte so erweitert werden, dass Wettervorhersagen für den exakten Standort der Messstation regelmäßig über das GSM-Modem eingeholt werden. Sind keine Vorhersagedaten verfügbar, sollten Erfahrungswerte für die durchschnittliche Sonneneinstrahlung für den jeweiligen Monat im Jahr verwendet werden, um dennoch eine grundlegende Funktionalität zu gewährleisten. Solche Erfahrungswerte könnten auch durch die Anwendungssoftware selbst erstellt werden.

Die Anwendung sammelt während des Betriebs sehr viele Daten über die Umweltbedingungen und den aktuellen Systemzustand. Durch langfristige Analysen dieser Daten, können typische Verhaltensweisen des System erkannt und im Energiemanagement berücksichtigt werden. So könnte eine Jahres-Durchschnitts-Kurve für die Aktivitäten des Systems erstellt werden, durch die besonders kritische Zeiträume im Jahr bereits im Voraus erkannt und berücksichtigt werden können.

Betriebssystem

Um den Regelbereich für die Einstellung der Leistungsaufnahme zu erhöhen, muss der Unterschied zwischen Aktiv- und Passivphase so groß wie möglich sein. Das verwendete Betriebssystem unterstützt nur einen leichten Energiesparmodus. Das Linux-System stellt grundsätzlich auch effizientere Energiesparmodi zur Verfügung, doch fehlt die entsprechende Unterstützung für den verwendeten Prozessor. Durch Implementierung der Unterstützung von z. B. *Suspend-to-RAM* oder *Suspend-to-Disk* könnte der Energieverbrauch im Passiv-

modus stark verringert werden und damit der Regelbereich für die Leistungsaufnahme erhöht werden.

8.3. Einsatz optimierter Hardware

Bestimmung des Ladezustands des Akkumulators

Eine wichtige Aufgabe des System ist es, den Ladezustand des Akkumulators zu bestimmen. Es sind sehr genaue Werte notwendig, da der Akkumulator nur mit kleinen und langsamen Änderungen des Ladezustands reagiert. Die Spannungsmessung des Akkus könnte verbessert werden, indem ein eigens für diese Aufgabe zuständiger A/D-Wandler eingesetzt wird, welcher exakt auf den möglichen Spannungsbereich des Akkumulators abgestimmt ist. So würde die Auflösung des Wandlers optimal genutzt und das Ergebnis hätte eine sehr viel höhere Genauigkeit.

Die Ermittlung des Ladezustands über die Spannung des Akkus ist nicht sehr zuverlässig, da die Lade- und Entladekennlinien stark nichtlinear sind. Stattdessen könnte auch ein geeigneter Ladungszähler (*Coulomb-Zähler*) verwendet werden, um den Ladezustand zu bestimmen. Diese sind als Integrated Circuit (IC) verfügbar und können z. B. über eine serielle Schnittstelle mit dem eingebetteten System verbunden werden. Ein Coulomb-Zähler bestimmt den Ladezustand, indem die zugeführte und abgeführte Ladung gemessen wird. Mit dem Wissen über die Kapazität des Akkumulators kann so der Ladezustand berechnet werden. Der Vorteil dieser Methode ist, dass die Restenergie nicht durch einen Rückschluss über eine Kennlinie gezogen wird, sondern direkt die zugeführte und entnommene Ladungsmenge bestimmt wird.

Weckmechanismus für besondere Ereignisse

Um die Leistungsfähigkeit des Systems zu verbessern, muss verhindert werden, dass sich das System sich im passiven Modus befindet, obwohl gerade eine Aufladung stattfindet und genügend Energie zur Verfügung steht. Es könnte dazu zusätzlich eine Schaltung entwickelt werden, die das eingebettete System bei bestimmten Akku-Ladezuständen weckt, obwohl das aktuelle Aktivitätslevel dies nicht vorsieht. Ein Beispiel wäre ein Wecksignal beim Erreichen des Ladezustands von 100 % oder der zuvor festgelegten Spannungsgrenze. Durch den erzwungenen Aktivzyklus würde das System die Situation zu diesem Zeitpunkt neu bewerten und entsprechend reagieren können.

Tabellenverzeichnis

| | |
|--|----|
| 3.1. Anforderungen an die Hardware des Systems | 10 |
| 3.2. Anforderungen an die Software des Systems | 12 |
| 5.1. Technische Daten: Garz & Fricke LIVIUS [10] | 27 |
| 5.2. Technische Daten der Komponenten der Energieversorgung [12][14][18] | 29 |
| 5.3. Übersicht der Kernelanpassungen | 33 |
| 5.4. Kommandozeilenparameter der Anwendung | 41 |
| 5.5. Leistungsaufnahme des verwendeten Systems im Aktiv- und Passivmodus | 45 |
| 5.6. Randbedingungen für die Auslegung der Aktivitätslevel | 45 |
| 5.7. Definition der Aktivitätslevel-Kennlinie I | 46 |
| 5.8. Definition der Aktivitätslevel-Kennlinie II | 47 |
| 5.9. Definition der Aktivitätslevel-Kennlinie III | 48 |
| 6.1. Übersicht der durchgeführten Messungen und deren Randbedingungen | 51 |

Abbildungsverzeichnis

| | |
|--|----|
| 2.1. Vereinfachte Darstellung der Wirkweise der prädiktiven Heizungsregelung [24, S. 7] | 4 |
| 2.2. ACPI-States eines Intel Core 4th Gen. Prozessors [13, S. 49] | 6 |
| 3.1. Blockschaltbild autonome Messstation als Warnsystem für Pflanzenkrankheiten | 9 |
| 4.1. Verhalten des Gesamtsystems: Wechsel zwischen Aktiv- und Passivphasen . | 13 |
| 4.2. Steuerung des Energieverbrauch durch abwechselnde Aktiv- und Passivphasen, mittlerer Energieverbrauch in (a) niedriger als in (b) | 14 |
| 4.3. Energiefluss im Gesamtsystem | 15 |
| 4.4. Leistungsaufnahme über der Zeit bei einem niedrigen Aktivitätslevel | 15 |
| 4.5. Leistungsaufnahme über der Zeit bei einem hohen Aktivitätslevel | 16 |
| 4.6. Leistungsaufnahme über dem Verhältnis von Aktivzeit zur Zykluszeit | 16 |
| 4.7. Mittlere Leistungsaufnahme als Funktion der Passivzeit | 18 |
| 4.8. Verbrauchte Energiemenge für einen Gesamtzyklus | 18 |
| 4.9. Vorhersage-Daten über zukünftige Sonnenenergie als Stufenfunktion über der Zeit | 19 |
| 4.10. Erwartete zugeführte Energiemenge für einen Gesamtzyklus | 20 |
| 4.11. Allgemeiner Ablauf der vorrauschauenden Optimierung des aktuellen Aktivitätslevels | 21 |
| 4.12. Vorausberechnung eines Systemzustands in der Zukunft | 21 |
| 4.13. Vorausberechnungen für Aktivzyklus-Zeitpunkte | 22 |
| 4.14. Ablauf für die Vorausberechnung eines zukünftigen Systemzustands | 22 |
| 4.15. Ablauf für die Berechnung von 3 zukünftigen Akkuzuständen | 23 |
| 4.16. Rekursive Optimierung des Aktivitätslevels des Zustands S_n | 24 |
| 4.17. Schematische Darstellung der rekursiven Optimierung des Aktivitätslevels . . | 24 |
| 5.1. Computer-Modul Garz & Fricke „LIVIUS“ [10] | 26 |
| 5.2. Blockschaltbild des verwendeten Gesamtsystems | 30 |
| 5.3. Strukturen für Systemzustand, Aktivitätslevel und Wetterdaten | 35 |
| 5.4. Doppelt verkettete Liste von Systemzuständen | 36 |
| 5.5. Struktogramm der <i>Main</i> -Funktion der Anwendung | 37 |
| 5.6. Struktogramm für die Optimierung des aktuellen Aktivitätslevels | 38 |
| 5.7. Struktogramm für die Vorausberechnung zukünftiger Ladezustände | 39 |

| | |
|--|----|
| 5.8. Struktogramm für die rekursive Optimierung eines Systemzustands | 40 |
| 5.9. Verwendete Kennlinie der Solarmodul-Leistung über der Sonneneinstrahlung | 42 |
| 5.10. Verwendete Entladungs-Kennlinie des Akkumulators | 43 |
| 5.11. Leistungsaufnahme und Passivzeit der Aktivitätslevel-Kennlinie I | 46 |
| 5.12. Leistungsaufnahme und Passivzeit der Aktivitätslevel-Kennlinie II | 47 |
| 5.13. Leistungsaufnahme und Passivzeit der Aktivitätslevel-Kennlinie III | 48 |
| 6.1. Schaltplan des Messaufbaus | 50 |
| 6.2. Ergebnis der Messung 1 | 52 |
| 6.3. Ergebnis der Prädiktion zum Zeitpunkt X1 (Messung 1) | 53 |
| 6.4. Ergebnis der Prädiktion zum Zeitpunkt X2 (Messung 1) | 54 |
| 6.5. Ergebnis der Prädiktion zum Zeitpunkt X3 (Messung 1) | 55 |
| 6.6. Ergebnis der Messung 2 | 56 |
| 6.7. Ergebnis der Messung 3 | 57 |
| 6.8. Ergebnis der Messung 4 | 58 |

Abkürzungsverzeichnis

| | |
|-------------|---|
| ACPI | Advanced Configuration and Power Interface |
| CCM | Clock Controller Module |
| DVFS | Dynamic Voltage and Frequency Scaling |
| GPIO | General Purpose Input Output |
| RTC | Real Time Clock |
| ADC | Analog-Digital-Converter |
| PMIC | Power Management Integrated Circuit |
| IC | Integrated Circuit |
| MPC | Model based Predictive Control |
| UART | Universal Asynchronous Receiver/Transmitter |
| I2C | Inter-Integrated Circuit |
| IIO | Industrial Input Output |
| SoC | System On Chip |
| SSH | Secure Shell |
| STC | Standard Test Conditions |
| GSM | Global System for Mobile Communication |
| VRLA | Valve-Regulated Lead-Acid |

Literaturverzeichnis

- [1] Daniel P. Bovet and Marco Cesati. *Understanding the Linux Kernel, Third Edition*. O'Reilly Media, 2005.
- [2] Horst Börner. *Pflanzenkrankheiten und Pflanzenschutz*. Springer, 2009.
- [3] Christian W. Dawson. *Computerprojekte im Klartext*. Pearson Studium, 2003.
- [4] Rainer Dittmar. *Modellbasierte prädiktive Regelung : eine Einführung für Ingenieure*. Oldenbourg, München, 2004.
- [5] Prof. Dr. Dr. h.c. Günther Drosdowski, Dr. Werner Scholze-Stubenrecht, and Dr. Matthias Wermke, editors. *Das Fremdörterbuch*. Duden, 1997.
- [6] eCos. Redboot: bootstrap environment for embedded systems. <https://sourceware.org/redboot/>. Zugriff: 13.04.2014.
- [7] Freescale Conductor Inc. Freescale i.MX Linux Tree 3.10.17 beta. http://git.freescale.com/git/cgit.cgi/imx/linux-2.6-imx.git/?h=imx_3.10.17_1.0.0_beta. Zugriff: 08.01.2014.
- [8] Freescale Conductor Inc. *i.MX35 (MCIMX35) Multimedia Applications Processor Reference Manual*. Rev. 3 edition, 2010.
- [9] Garz & Fricke GmbH. LIVIUS: High-End M2M Hutschienen-Computer. http://www.garz-fricke.com/livius_de.html. Zugriff: 13.04.2014.
- [10] Garz & Fricke GmbH. *Datenblatt Garz & Fricke LIVIUS Series*, 2010.
- [11] Michel Goossens, Frank Mittelbach, and Alexander Samarin. *Der L^AT_EX -Begleiter*. Addison-Wesley, 2000.
- [12] H-Tronic GmbH. *Anleitung Solarladeregler SL53 12 V / 4 A*.
- [13] Intel Corporation. *Desktop 4th Generation Intel Core Processor Family Datasheet*. Volume 1 edition, 2014.
- [14] Koekraf GmbH. Spezifikation 6W Solarmodul 12V System. <http://www.koekraf.com/produkte/solar-wind-energie/duennschicht-solarmodule/6w-solarmodul-12v-system/spezifikationen/>. Zugriff: 03.04.2014.

- [15] Otto Kruse. *Keine Angst vor dem leeren Blatt*. campus concret, 2000.
- [16] Linux Foundation. Yocto Project. <https://www.yoctoproject.org/>. Zugriff: 13.04.2014.
- [17] Konrad Mertens. *Photovoltaik*. Hanser Fachbuchverlag, 2013.
- [18] Panasonic Corporation. *Datenblatt Panasonic LC-R127R2PG*.
- [19] Pengutronix e.K. OSELAS® Services for Embedded Linux. http://www.oselas.com/oselas/index_en.html. Zugriff: 13.04.2014.
- [20] Klaus Poenicke. *Wie verfaßt man wissenschaftliche Arbeiten?* Duden, 1988.
- [21] J. A. Rossiter. *Model-based predictive control : a practical approach*. CRC Press, Boca Raton, 2003.
- [22] Helmut Schellong. *Moderne C-Programmierung: Kompendium und Referenz (Xpert.press)*. Springer Vieweg, 2013.
- [23] Joachim Schröder, Tilo Gockel, and Rüdiger Dillmann. *Embedded Linux: Das Praxisbuch (X.systems.press)*. Springer, 2009.
- [24] Siemens AG. *Desigo - Energieeffiziente Applikationen: Prädiktiver und selbstadaptierender Heizungsregler (Applikationsdatenblatt)*. 2011.
- [25] Joachim Wietzke. *Embedded Technologies: Vom Treiber bis zur Grafik-Anbindung (Xpert.press)*. Springer, 2012.
- [26] Karim Yaghmour, Jon Masters, Gilad Ben-Yossef, and Philippe Gerum. *Building Embedded Linux Systems*. O'Reilly Media, 2008.
- [27] ZF Friedrichshafen AG. *Schaltstrategie mit Weitblick - PreVision GPS für TraXon-Nutzfahrzeuggetriebe von ZF (Presseinformation)*. 2012.

A. Anhang

A.1. CD

- **Bachelorthesis**
 - Bachelorthesis im PDF-Format
- **Energiemanagement Applikation**
 - Vollständiger Quellcode der Energiemanagement-Applikation „pman“
 - „Makefile“ zum Übersetzen der Applikation

A.2. Quellcode: Energiemanagement-Applikation

pman.c

```
1  /*****  
2  /*  
3  /* pman - power management for Garz & Fricke LIVIUS  
4  /*  
5  /* This program is free software; you can redistribute it and/or modify it  
6  /* under the terms of the GNU General Public License version 2 as published  
7  /* by the Free Software Foundation.  
8  /*  
9  /* This power management tool is meant to run on Garz & Fricke LIVIUS.  
10 /* The tool provides an adaptive and predictive power management based on  
11 /* weather forecast data.  
12 /*  
13 /* Author:      Richard Guenther <richard.guenther@haw-hamburg.de  
14 /*  
15 /*****  
16  
17 #include <stdio.h>  
18 #include <stdlib.h>  
19 #include <syslog.h>  
20 #include <unistd.h>  
21 #include <string.h>  
22 #include <errno.h>  
23 #include <time.h>  
24 #include <float.h>  
25 #include <sys/stat.h>  
26 #include <getopt.h>  
27  
28 #include "pman.h"  
29 #include "sysfs_utils.h"  
30 #include "weather.h"  
31  
32 #define _GNU_SOURCE /* Must be defined to enable getopt_long functionality. */  
33  
34 /* default buffer sizes */  
35 #define MAX_PATH_LENGTH 75  
36 #define MAX_MSG_LENGTH 75  
37  
38 /* GPIOs */  
39 #define RUN_VBAK5V (1 * 32 + 11)  
40 #define CHARGE_STAT1 (0 * 32 + 8)  
41 #define CHARGE_DONE (0 * 32 + 9)  
42 #define CHARGE_DISABLE (1 * 32 + 30)  
43 #define VCC_CAN_EN (2 * 32 + 2)  
44 #define GSM_EN (2 * 32 + 4)  
45 #define VBATT_EN (2 * 32 + 3)  
46 #define VBAK5V_EN (1 * 32 + 17)  
47 #define KB_LED_EN (1 * 32 + 10)  
48  
49 /* ADC channels */  
50 #define ADC_CHANNEL_VIN 1  
51 #define ADC_CHANNEL_BATTERY 5  
52 #define ADC_CHANNEL_VIN_CURRENT 6  
53 #define ADC_CHANNEL_RTC_BATTERY 7  
54  
55 /* battery data */
```

A. Anhang

```
56 #define BAT_VOLTAGE_MAX      13.8 /* [V] */
57 #define BAT_VOLTAGE_MIN      10.5 /* [V] */
58 #define BAT_CAPACITY         7200 /* [Ah] */
59 #define BAT_ENERGY_MAX       86400 /* [Wh] */
60 #define BAT_PERCENT_BASE     (BAT_VOLTAGE_MAX - BAT_VOLTAGE_MIN) / 100
61
62 /* solar module data */
63 #define SOLAR_POWER_RATING    17.5 /* [V] */
64 #define SOLAR_SURFACE_AREA    0.146475 /* [m^2] */
65 #define SOLAR_MUE             0.04096
66
67 /* prediction defines */
68 #define PREDICTION_HORIZON    14400 /* [sec] */
69 #define LEVEL_CHANGE_THRESHOLD 42.4 /* [%] */
70
71 /* Log file paths */
72 #define LOG_PATH_STATES       "/home/root/current_state"
73 #define LOG_PATH_MEASUREMENT "/home/root/measurements"
74 #define LOG_PATH_PREDICTION  "/home/root/prediction"
75
76 /* defines and function for printing messages */
77 #define V_INFO 3
78 #define V_DEBUG 2
79 #define V_WARN 1
80 #define V_ERROR 0
81
82 /* print function for verbose messages */
83 #define PRINT_INFO(verbosity_level, fmt, args...) do { \
84     if (verbosity >= verbosity_level) \
85         fprintf(stderr, "%s: " fmt, __progname, ## args); \
86 } while (0)
87
88 /* print function for error messages */
89 #define PRINT_ERROR(errno, fmt, args...) \
90     fprintf(stderr, "%s: ERROR %d: %s: " fmt, __progname, errno, __func__, ## args);
91
92 /*****
93  */
94 /* global variables
95  */
96 /*****
97 int verbosity = 1; /* warnings enabled by default */
98 int logging = 0; /* logging disabled by default */
99
100 /*****
101  */
102 /* struct definitions
103  */
104 /*****
105 struct system_state {
106     struct power_lvl * plevel; /* power level */
107     time_t time; /* current system time (UNIX format) */
108     float bat_energy; /* available energy in main battery [Wh] */
109     float bat_percent; /* main battery state of charge [%] */
110     float v_backup_bat; /* backup battery voltage [V] */
111     float v_main_bat; /* main battery voltage [V] */
112     float i_main_bat; /* main battery current [A] */
113
114     struct system_state * next; /* pointer to the next system state */
115     struct system_state * prev; /* pointer to the previous system state */

```


A. Anhang

```
116 };
117
118 struct power_lvl {
119     int    level;          /* level */
120     int    active_interval; /* activity cycle interval */
121     int    power_consumption; /* power consumption */
122 };
123
124 /*****
125  */
126 /* enumerations
127  */
128 /*****
129
130 /* available power levels */
131 enum powerlevels {P0, P1, P2, P3, P4, P5, P6, P7, P8, P9, P10};
132
133 /*****
134  */
135 /* tables
136  */
137 /*****
138  */
139 * -----
140 * linear sleep time characteristic
141 * step: 342 s
142 * -----
143 */
144 struct power_lvl power_level_table1[] = {
145 /* | Level | sleep | power |
146 * |      | [sec] | [mW]  | */
147 { P0,    3600,  671 },
148 { P1,    3258,  676 },
149 { P2,    2916,  682 },
150 { P3,    2574,  689 },
151 { P4,    2232,  699 },
152 { P5,    1890,  716 },
153 { P6,    1548,  732 },
154 { P7,    1206,  762 },
155 { P8,     864,  817 },
156 { P9,     522,  943 },
157 { P10,   180,  1550 },
158 };
159
160 /*
161 * -----
162 * mostly linear power consumption characteristic:
163 * step: 0.085 mW
164 * -----
165 */
166 struct power_lvl power_level_table2[] = {
167 /* | Level | sleep | power |
168 * |      | [sec] | [mW]  | */
169 { P0,    3600 ,  656 },
170 { P1,    1449 ,  702 },
171 { P2,     813 ,  762 },
172 { P3,     565 ,  822 },
173 { P4,     480 ,  856 },
174 { P5,     420 ,  889 },
175 { P6,     360 ,  934 },
```

A. Anhang

```
176 { P7,      300 , 995 },
177 { P8,      240 , 1088 },
178 { P9,      180 , 1242 },
179 { P10,     120 , 1550 },
180 };
181
182 /*
183 * -----
184 * lower power consumption, linear sleep time characteristic
185 * step: 300 s
186 * -----
187 */
188 struct power_lvl power_level_table3[] = {
189 /* | Level | sleep | power |
190 * |      | [sec] | [mW] | */
191 { P0,     3600, 656 },
192 { P1,     3300, 659 },
193 { P2,     3000, 662 },
194 { P3,     2700, 666 },
195 { P4,     2400, 671 },
196 { P5,     2100, 678 },
197 { P6,     1800, 687 },
198 { P7,     1500, 699 },
199 { P8,     1200, 718 },
200 { P9,     900, 748 },
201 { P10,    600, 810 },
202 };
203
204 /*****
205 */
206 /* Function:      get_next_active_time
207 */
208 /* Description: Returns the next active time that is scheduled for the given
209 /*              system state.
210 */
211 /* Input:         @state: pointer to the system state
212 */
213 /* Return:        @next_active_time: time value of next activity (UNIX format)
214 */
215 /*****
216 time_t get_next_active_time(struct system_state *state)
217 {
218     int i;
219     time_t next_active_time;
220
221     if(state == NULL) {
222         PRINT_ERROR(EINVAL, "invalid pointer to system state\n");
223         return -EINVAL;
224     }
225
226     /* get next active time from power level */
227     next_active_time = (state->time + state->plevel->active_interval);
228
229     PRINT_INFO(V_INFO, "next active time will be: %s", ctime(&next_active_time));
230
231     return next_active_time;
232 }
233
234 /*****
235 */
```

A. Anhang

```
236 /* Function:    log_to_file                                */
237 /*                                                     */
238 /* Description: writes a message to a file at the given path with a time stamp. */
239 /*                                                     */
240 /*                                                     */
241 /* Input:      * message to write                       */
242 /*            * path to the file                       */
243 /*                                                     */
244 /* Return:     On failure - negative errno return code */
245 /*            On success - '0' return code.           */
246 /*                                                     */
247 /*****
248 static int log_to_file(char *file_path, char *msg)
249 {
250     FILE *log_file;
251     time_t raw_time;
252     struct tm *ptm;
253
254     char *log_msg = malloc(MAX_MSG_LENGTH + strlen(msg));
255     if (log_msg == NULL) {
256         PRINT_ERROR(ENOMEM, "log message memory allocation failed");
257         return -ENOMEM;
258     }
259
260     time(&raw_time);
261     ptm = localtime(&raw_time);
262
263     /* generate timestamp */
264     snprintf(log_msg, MAX_MSG_LENGTH, "[%0.2d/%0.2d/%0.2d %0.2d:%0.2d:%0.2d] ",
265             ptm->tm_mday, (ptm->tm_mon)+1, (ptm->tm_year)+1900,
266             ptm->tm_hour, ptm->tm_min, ptm->tm_sec);
267
268     /* concatenate log message */
269     strcat(log_msg, msg);
270
271     /* write message to logfile */
272     log_file = fopen(file_path, "ab+");
273     if(!log_file)
274         return -EIO;
275     fprintf(log_file, log_msg);
276     fclose(log_file);
277
278     return 0;
279 }
280
281 /*****
282 /*
283 /* Function:    log_system_state                            */
284 /*                                                     */
285 /* Description: writes data of the given system state to the specified log */
286 /*            file path.                                  */
287 /*                                                     */
288 /* Input:      @file_path: path to the location of the log file */
289 /*            @state   : pointer to the system state to log      */
290 /*                                                     */
291 /* Return:     On failure - negative errno return code */
292 /*            On success - '0' return code.           */
293 /*                                                     */
294 /*****
295 static int log_system_state(char *file_path, struct system_state *state)
```

A. Anhang

```
296 {
297     int ret;
298     time_t system_time, next_active_time;
299
300     char *log_msg = malloc(MAX_MSG_LENGTH);
301     if (log_msg == NULL) {
302         PRINT_ERROR(ENOMEM, "log message memory allocation failed");
303         return -ENOMEM;
304     }
305
306     system_time = state->time;
307     next_active_time = get_next_active_time(state);
308
309     ret = log_to_file(file_path, "-----\n");
310     /* system time */
311     snprintf(log_msg, MAX_MSG_LENGTH, "system time: %s", ctime(&system_time));
312     ret = log_to_file(file_path, log_msg);
313
314     /* power level */
315     snprintf(log_msg, MAX_MSG_LENGTH, "power level: %d\n", state->plevel->level);
316     ret = log_to_file(file_path, log_msg);
317     snprintf(log_msg, MAX_MSG_LENGTH, " power consumption: %d\n", state->plevel->
318         power_consumption);
319     ret = log_to_file(file_path, log_msg);
320     snprintf(log_msg, MAX_MSG_LENGTH, " active interval: %d\n", state->plevel->
321         active_interval);
322     ret = log_to_file(file_path, log_msg);
323     snprintf(log_msg, MAX_MSG_LENGTH, " next active time: %s", ctime(&next_active_time));
324     ret = log_to_file(file_path, log_msg);
325
326     /* main battery */
327     snprintf(log_msg, MAX_MSG_LENGTH, "main battery percent: %.4f%%\n", state->bat_percent
328         );
329     ret = log_to_file(file_path, log_msg);
330     snprintf(log_msg, MAX_MSG_LENGTH, "main battery energy: %.4f mWh\n", state->bat_energy
331         );
332     ret = log_to_file(file_path, log_msg);
333     snprintf(log_msg, MAX_MSG_LENGTH, "main battery voltage: %.4f V\n", state->v_main_bat)
334         ;
335     ret = log_to_file(file_path, log_msg);
336     snprintf(log_msg, MAX_MSG_LENGTH, "main battery current: %.4f mA\n", (state->
337         i_main_bat)*1000);
338     ret = log_to_file(file_path, log_msg);
339
340     /* backup battery */
341     snprintf(log_msg, MAX_MSG_LENGTH, "backup battery voltage: %.4f V\n", state->
342         v_backup_bat);
343     ret = log_to_file(file_path, log_msg);
344     ret = log_to_file(file_path, "-----\n");
345
346     free(log_msg);
347     return ret;
348 }
349
350 /*
351 *****
352 */
353 /* Function:    log_system_state_list */
354 /*
355 /* Description: prints out the time of all list elements
356 /*
357 */
```

A. Anhang

```
349 /* Input:      @head: pointer to the head of the list          */
350 /*                                                    */
351 /* Return:     On failure - negative errno return code        */
352 /*            On success - '0' return code.                  */
353 /*                                                    */
354 /*****
355 int log_system_state_list(char *file_path, struct system_state *head) {
356     struct system_state *current;
357     time_t time;
358
359     if(head == NULL) {
360         PRINT_ERROR(EINVAL, "invalid pointer to list head\n");
361         return -EINVAL;
362     }
363
364     current = head;
365
366     while (current != NULL) {
367         log_system_state(file_path, current);
368         current = current->next;
369     }
370 }
371
372 /*****
373 /*
374 /* Function:   get_current_system_state                        */
375 /*                                                    */
376 /* Description: update values of the given system state by reading supply */
377 /*            voltages and GPIOs                               */
378 /*                                                    */
379 /* Input:     @state: pointer to the system state to update  */
380 /*                                                    */
381 /* Return:    On failure - negative errno return code        */
382 /*            On success - '0' return code.                  */
383 /*                                                    */
384 /*****
385 static int get_current_system_state(struct system_state *state)
386 {
387     float v_backup_bat, v_main_bat, i_main_bat, bat_percent, bat_energy;
388     float v_bat_1, v_bat_2;
389
390     if(state == NULL) {
391         PRINT_ERROR(EINVAL, "invalid pointer to system state\n");
392         return -EINVAL;
393     }
394
395     /* read ADC values */
396     v_backup_bat = sysfs_adc_read_channel(ADC_CHANNEL_BATTERY);
397     i_main_bat = sysfs_adc_read_channel(ADC_CHANNEL_VIN_CURRENT);
398
399
400     v_bat_1 = sysfs_adc_read_channel(ADC_CHANNEL_VIN);
401     sleep(1);
402     v_bat_2 = sysfs_adc_read_channel(ADC_CHANNEL_VIN);
403
404     v_main_bat = (v_bat_1 + v_bat_2) / 2;
405
406     /* calculate voltage/current (due to hardware) */
407     v_main_bat = v_main_bat * 1.386;
408     i_main_bat = i_main_bat / (0.022*100);
```

A. Anhang

```
409
410  /* calculate percent and energy values */
411  bat_percent = ((v_main_bat - BAT_VOLTAGE_MIN) / (BAT_VOLTAGE_MAX - BAT_VOLTAGE_MIN)) *
    100;
412  bat_energy = BAT_ENERGY_MAX * (bat_percent / 100);
413
414  /* write new values*/
415  state->v_backup_bat = v_backup_bat;
416  state->v_main_bat = v_main_bat;
417  state->i_main_bat = i_main_bat;
418  state->bat_percent = bat_percent;
419  state->bat_energy = bat_energy;
420
421  return 0;
422 }
423
424 /*****
425  */
426  /* Function:    freeze_system                                */
427  /*                                                     */
428  /* Description: sets the device into "freeze" mode      */
429  /*                                                     */
430 /*****
431  int freeze_system(void)
432  {
433      return system("echo freeze > /sys/power/state");
434  }
435
436 /*****
437  */
438  /* Function:    do_active_work                            */
439  /*                                                     */
440  /* Description: simulates active work by generating CPU load for 85 seconds */
441  /*                                                     */
442 /*****
443  int do_active_work(void)
444  {
445      system("dd if=/dev/zero of=/dev/null &");
446      sleep(56);
447      system("killall dd");
448  }
449
450 /*****
451  */
452  /* Function:    set_power_level                          */
453  /*                                                     */
454  /* Description: writes the given power level to the given system state. */
455  /*                                                     */
456  /* Input:       @state: pointer to the system state to update */
457  /*             @level: power level to write                    */
458  /*                                                     */
459  /* Return:      On failure - negative errno return code      */
460  /*             On success - '0' return code.                  */
461  /*                                                     */
462 /*****
463  int set_power_level(struct system_state *state, int level)
464  {
465      if(state == NULL) {
466          PRINT_ERROR(EINVAL, "invalid pointer to system state\n");
467          return -EINVAL;

```

A. Anhang

```
468 }
469
470 /* do not exceed array borders */
471 if (level > P10) {
472     level = P10;
473 }
474 else if (level < P0) {
475     level = P0;
476 }
477
478 PRINT_INFO(V_INFO, "setting power level to %d\n", level);
479
480 //state->plevel = &power_level_table1[level];
481 //state->plevel = &power_level_table2[level];
482 state->plevel = &power_level_table3[level];
483 }
484
485 /*****
486 */
487 /* Function:      gsm_startup                               */
488 /*              */
489 /* Description:  boot the GSM modem by pulling the ignition pin to high for  */
490 /*              5 seconds                                         */
491 /*              */
492 /* Input:        None                                           */
493 /*              */
494 /* Return:       On failure - negative errno return code         */
495 /*              On success - '0' return code.                   */
496 /*              */
497 *****/
498 int gsm_startup(void)
499 {
500     int ret;
501
502     ret = sysfs_gpio_write_value(GSM_EN, 1);
503     sleep(5);
504     ret = sysfs_gpio_write_value(GSM_EN, 0);
505
506     return ret;
507 }
508
509 /*****
510 */
511 /* Function:      toggle_active_mode                         */
512 /*              */
513 /* Description:  apply a power level to the device. This will mainly toggle  */
514 /*              peripheral devices to reduce or gain power consumption         */
515 /*              */
516 /* Input:        @toggle: switch active mode on or off         */
517 /*              */
518 /* Return:       On failure - negative errno return code         */
519 /*              On success - '0' return code.                   */
520 /*              */
521 *****/
522 int toggle_active_mode(int toggle)
523 {
524     int ret;
525
526     /* peripheral control switches */
527     ret = sysfs_gpio_write_value(CHARGE_DISABLE, !toggle);
```

A. Anhang

```
528 ret = sysfs_gpio_write_value(VCC_CAN_EN, toggle);
529 ret = sysfs_gpio_write_value(VBATT_EN, toggle);
530
531 if(toggle) {
532     ret = gsm_startup();
533 }
534
535 return ret;
536 }
537
538 /*****
539 */
540 /* Function:    predict_next_system_state
541 */
542 /* Description: Predicts values for the next system state.
543 */
544 /*             A model of the solar panel and the main battery are used to
545 /*             calculate expected battery and main supply values for the
546 /*             next active time
547 */
548 /* Input:      @current_state: pointer to the system state to start from
549 /*             @weather_data : pointer to the weather forecast data array
550 */
551 /* Return:     On failure - negative errno return code
552 /*             On success - '0' return code.
553 */
554 int predict_next_system_state(struct system_state *current_state, struct weather_entry *
    weather_data)
555 {
556     struct system_state *next_state;
557     struct weather_entry *w_entry;
558
559     float bat_energy_charge = 0, bat_energy_discharge = 0;
560     float solar_power, time_interval;
561     float next_vbat, next_bat_energy, next_bat_percent, next_ibat;
562     int harvest_start_time, harvest_end_time;
563     int i;
564
565     if(current_state == NULL) {
566         PRINT_ERROR(EINVAL, "invalid pointers to system state\n");
567         return -EINVAL;
568     }
569
570     if(current_state->next == NULL) {
571         PRINT_ERROR(EINVAL, "invalid pointers to next system state (list corrupted)\n");
572         return -EINVAL;
573     }
574
575     if(weather_data == NULL) {
576         PRINT_ERROR(EINVAL, "invalid pointers to weather data array\n");
577         return -EINVAL;
578     }
579
580     next_state = current_state->next;
581     w_entry = weather_data;
582
583     /* update time for future system state */
584     next_state->time = get_next_active_time(current_state);
585
586     /*
```


A. Anhang

```
587 * calculate energy harvest from solar panel:
588 * =====
589 */
590 next_bat_energy = current_state->bat_energy;
591 next_bat_percent = current_state->bat_percent;
592 next_vbat = current_state->v_backup_bat;
593
594 /* start and end time for energy harvesting */
595 harvest_start_time = current_state->time;
596 harvest_end_time = next_state->time - 1;
597
598 /* parse weather data array */
599 while((w_entry+1)->time != 0) {
600
601     /* interval is negative: exit */
602     if(w_entry->time > harvest_end_time) {
603         break;
604     }
605     /* interval is between two data entries */
606     else if ((harvest_start_time > w_entry->time) && (harvest_end_time < (w_entry+1)->time)
607             ) {
608         time_interval = (float)(harvest_end_time - harvest_start_time);
609     }
610     /* complete data entry within the interval */
611     else if ((harvest_start_time == w_entry->time) && (harvest_end_time >= (w_entry+1)->
612             time)) {
613         time_interval = (float)((w_entry+1)->time - w_entry->time);
614         harvest_start_time = (w_entry+1)->time;
615     }
616     /* interval: start time -> next data entry time */
617     else if ((harvest_start_time > w_entry->time) && (harvest_start_time < (w_entry+1)->time
618             ) && (harvest_end_time >= (w_entry+1)->time)) {
619         time_interval = (float)((w_entry+1)->time - harvest_start_time);
620         harvest_start_time = (w_entry+1)->time;
621     }
622     /* interval: last data entry time -> end time */
623     else if ((harvest_start_time == w_entry->time) && (harvest_end_time < (w_entry+1)->time)
624             ) {
625         time_interval = (float)(harvest_end_time - (w_entry->time));
626     }
627     /* data entry is not within the interval */
628     else {
629         if((w_entry+1)->time > harvest_start_time)
630             harvest_start_time = (w_entry+1)->time;
631         w_entry++;
632         continue;
633     }
634 }
635
636 /* calculate solar supply power */
637 solar_power = ((float)(w_entry->condition) * SOLAR_SURFACE_AREA) * SOLAR_MUE;
638
639 /* determine charging energy (integration) */
640 bat_energy_charge += (solar_power * (time_interval / 3600));
641
642 /* move to the next data entry */
643 w_entry++;
644 }
645
646 /*
647 * calculate changes on battery charge
```

A. Anhang

```
643 * =====
644 */
645 bat_energy_discharge = ((float)(current_state->plevel->power_consumption * current_state
    ->plevel->active_interval)) / 3600;
646
647 PRINT_INFO(V_INFO, " total charge energy      : %.2f mWh\n", bat_energy_charge);
648 PRINT_INFO(V_INFO, " total discharge energy : %.2f mWh\n", bat_energy_discharge);
649 PRINT_INFO(V_INFO, " energy balance       : %.2f mWh\n", bat_energy_charge -
    bat_energy_discharge);
650
651 /* calculate values for the next state */
652 next_bat_energy += (float)(bat_energy_charge - bat_energy_discharge);
653
654 /* battery cannot carry more than max. capacity */
655 if(next_bat_energy > BAT_ENERGY_MAX)
656     next_bat_energy = BAT_ENERGY_MAX;
657
658 next_bat_percent = (next_bat_energy / BAT_ENERGY_MAX) * 100;
659 next_vbat = next_bat_percent * ((BAT_VOLTAGE_MAX - BAT_VOLTAGE_MIN) / 100) +
    BAT_VOLTAGE_MIN;
660
661 /* write new system state values */
662 next_state->bat_energy = next_bat_energy;
663 next_state->bat_percent = next_bat_percent;
664 next_state->v_main_bat = next_vbat;
665
666 return 0;
667 }
668
669 /*****
670 */
671 /* Function:    predict_multiple_system_states          */
672 /*            */
673 /* Description: Predicts the future system state for the given time. For this */
674 /*            all other intermediate states between the start point and the */
675 /*            specified time need to be predicted      */
676 /*            */
677 /* Input:      @start_state      : pointer to the system state to start from */
678 /*            @prediction_time: time to predict the system state for      */
679 /*            @weather         : array with weather forecast data          */
680 /*            */
681 /* Return:     On failure - negative errno return code */
682 /*            On success - '0' return code.           */
683 /*            */
684 *****/
685 int predict_multiple_system_states(struct system_state *start_state, time_t prediction_time
    , struct weather_entry *weather_data)
686 {
687     struct system_state *current_state, *next_state;
688     int next_active_time;
689     time_t time_predicted;
690     int i, j;
691
692     if(start_state == NULL) {
693         PRINT_ERROR(EINVAL, "invalid pointer to list head\n");
694         return -EINVAL;
695     }
696
697     if(prediction_time <= 0) {
698         PRINT_ERROR(EINVAL, "invalid prediction horizon - must be positive integer\n");
```

A. Anhang

```
699     return -EINVAL;
700 }
701
702 current_state = start_state;
703
704 /*
705  * This loop predicts future system states until reaching <prediction_time>
706  */
707 while(prediction_time > time_predicted) {
708
709     /* insert new element if list is too short */
710     if(current_state->next == NULL) {
711         add_list_element(current_state);
712     }
713
714     /* catch corrupted list */
715     if(current_state == NULL || current_state->next == NULL) {
716         PRINT_ERROR(EINVAL, "could not complete prediction. system state list ended
717             unexpected\n");
718         return -EINVAL;
719     }
720
721     /* predict future system states */
722     predict_next_system_state(current_state, weather_data);
723     time_predicted = current_state->next->time;
724
725     /* move pointer to next list element */
726     current_state = current_state->next;
727 }
728
729 return 0;
730 }
731
732 /*****
733  */
734 /* Function:      pop_list_element
735  */
736 /* Description:  Removes the first element of the list and moves the head
737  */
738 /*               pointer to the next element
739  */
740 /* Input:        @head: pointer to pointer to the head of the list
741  */
742 /* Return:       On failure - negative errno return code
743  */
744 /*               On success - '0' return code.
745  */
746 /*****
747  */
748 int pop_list_element(struct system_state **head)
749 {
750     struct system_state *next_element = NULL;
751
752     if(*head == NULL) {
753         PRINT_ERROR(EINVAL, "invalid pointer to list head\n");
754         return -EINVAL;
755     }
756
757     next_element = (*head)->next;
758     free(*head);
759     *head = next_element;
760
761     return 0;
762 }
```

A. Anhang

```
758 }
759
760 /*****
761  */
762 /* Function:   delete_list
763  */
764 /* Description: deletes the whole list
765  */
766 /* Input:     @head: pointer to the head of the list
767  */
768 /* Return:    On failure - negative errno return code
769  */
770 /*            On success - '0' return code.
771  */
772 /*****
773 int delete_list(struct system_state **head)
774 {
775     struct system_state *next, *deleteMe;
776
777     if(*head == NULL) {
778         PRINT_ERROR(EINVAL, "invalid pointer to list head\n");
779         return -EINVAL;
780     }
781
782     deleteMe = *head;
783
784     while (deleteMe) {
785         next = deleteMe->next;
786         free(deleteMe);
787         deleteMe = next;
788     }
789     *head = NULL;
790
791     return 0;
792 }
793
794 /*****
795  */
796 /* Function:   add_list_element
797  */
798 /* Description: Adds an element at the bottom of a doubly linked list
799  */
800 /* Input:     @head: pointer to the head of the list
801  */
802 /* Return:    On failure - negative errno return code
803  */
804 /*            On success - '0' return code.
805  */
806 /*****
807 int add_list_element(struct system_state *head)
808 {
809     struct system_state *newState = malloc(sizeof(struct system_state));
810     struct system_state *current = head;
811
812     if (newState == NULL) {
813         PRINT_ERROR(ENOMEM, "list element memory allocation failed");
814         return -ENOMEM;
815     }
816
817     if(current == NULL) {
818         PRINT_ERROR(EINVAL, "invalid pointer to list head\n");
819         return -EINVAL;
820     }
821 }
```

A. Anhang

```
818     }
819
820     /* first insertion */
821     if(head->next == NULL) {
822         head->next = newState;
823         newState->prev = head;
824     }
825     /* find last element and insert the new one */
826     else {
827         while (1) {
828             if(current->next == NULL)
829             {
830                 current->next = newState;
831                 newState->prev = current;
832                 break;
833             }
834             current = current->next;
835         };
836     }
837
838     /* pre set values */
839     set_power_level(newState, current->plevel->level);
840     newState->time = get_next_active_time(newState->prev);
841     newState->bat_energy = 0;
842     newState->bat_percent = 0;
843     newState->i_main_bat = 0;
844     newState->v_backup_bat = 0;
845     newState->next = NULL;
846
847     return 0;
848 }
849
850 /*****
851  */
852 /* Function:      optimize_system_state_predicted          */
853 /*              */
854 /* Description:  This function optimizes the power levels of a list of system */
855 /*              states by looking at the next system states.          */
856 /*              */
857 /* Input:       @head: Pointer to the head of the list of system states */
858 /*              */
859 /* Return:      On failure - negative errno return code          */
860 /*              On success - '0' return code if the plevel was not changed */
861 /*              On success - '1' return code if the plevel was changed */
862 /*              */
863 /*****
864 int optimize_system_state_predicted(struct system_state *current_state, time_t
865 prediction_time, struct weather_entry *weather_data)
866 {
867     struct system_state *current;
868     int finished = 0, optimized = 0;
869
870     if(current_state == NULL) {
871         PRINT_ERROR(EINVAL, "invalid pointer to list head\n");
872         return -EINVAL;
873     }
874
875     predict_multiple_system_states(current_state, prediction_time, weather_data);
876
877     while(finished == 0) {
```

```

877
878     optimized = 0;
879     /* generate future system state list */
880     predict_multiple_system_states(current_state, prediction_time, weather_data);
881
882     current = current_state;
883
884     /* check for system state to optimize */
885     while(current->next != NULL) {
886
887         optimized = optimize_power_level_recursive(current, 0);
888
889         /* optimization error */
890         if (optimized < 0) {
891             PRINT_INFO(V_WARN, "an error occurred while optimizing\n");
892             finished = 1;
893             break;
894         }
895         /* optimization successful */
896         else if(optimized == 1) {
897             delete_list(&(current->next));
898             break;
899         }
900         /* optimization reaches current state: cannot optimize any more */
901         else if (optimized == 2) {
902             PRINT_INFO(V_WARN, "optimization reached current system state\n");
903             if(current->plevel->level == 0 || current->plevel->level == 7)
904                 finished = 1;
905             break;
906         }
907         /* no need to optimize this state - switch to the next */
908         current = current->next;
909     }
910
911     /* no state was optimized within the prediction horizon - we are done */
912     if(optimized == 0) {
913         finished = 1;
914     }
915 }
916
917 return 0;
918 }
919
920 /*****
921  */
922 /* Function:      optimize_power_level_recursive          */
923 /*              */
924 /* Description:  This function optimizes the power level of the given system */
925 /*              state by looking at the next system state.          */
926 /*              */
927 /* Input:       @state: Pointer to the system state          */
928 /*              */
929 /* Return:      On failure - negative errno return code      */
930 /*              On success - '0' return code if the plevel was not changed */
931 /*              On success - '1' return code if the plevel was changed */
932 /*              On success - '2' return code if state is current state and at */
933 /*              power level 0          */
934 /*              */
935 /*****
936 int optimize_power_level_recursive(struct system_state *state, int force)

```

A. Anhang

```
937 {
938     int new_plevel, level_changed = 0;
939
940     if(state == NULL || state->next == NULL) {
941         PRINT_ERROR(EINVAL, "invalid pointer to system state\n");
942         return -EINVAL;
943     }
944
945     new_plevel = state->plevel->level;
946
947     /* ----- */
948     /* prevent from going below 25% battery charge */
949     /* ----- */
950     if((state->next->bat_percent < LEVEL_CHANGE_THRESHOLD) || force == 1 ) {
951         new_plevel -= 1;
952
953         /* optimize previous power level if current cannot be optimized any more */
954         if (new_plevel < 0) {
955             if (state->prev != NULL) {
956                 level_changed = optimize_power_level_recursive(state->prev, 1); // recursive!
957             }
958             else {
959                 level_changed = 2;
960             }
961         }
962         else {
963             set_power_level(state, new_plevel);
964             level_changed = 1;
965         }
966     }
967
968     return level_changed;
969 }
970
971 /*-----*/
972 /*
973 /* Function:      print_system_status
974 /*
975 /* Description: displays the values of the given system status
976 /*
977 /* Input:        @state: pointer to the system state to display
978 /*
979 /*-----*/
980 int print_system_status(struct system_state *state)
981 {
982     if(state == NULL) {
983         PRINT_ERROR(EINVAL, "invalid pointer to system state\n");
984         return -EINVAL;
985     }
986
987     printf("\n");
988     printf("System status:\n");
989     printf(" - system time           : %s", ctime(&(state->time)));
990     printf(" - backup-battery         : %.2fV\n", state->v_backup_bat);
991     printf(" - main supply           : %.4fV at %.2f mA \n", state->v_main_bat, state->
992         i_main_bat * 1000);
993     printf("Power level:\n");
994     printf(" - current level         : %d\n", state->plevel->level);
995     printf(" - activity interval    : %d seconds\n", state->plevel->active_interval);
996     printf(" - avg. power consumption : %d mW\n", state->plevel->power_consumption);
```

A. Anhang

```
996     printf("\n");
997
998     return 0;
999 }
1000
1001 /*****
1002  */
1003 /* Function:    show_help                                */
1004 /*                                                     */
1005 /* Description: This function is called when the test is started with      */
1006 /*               parameter -h. It displays all parameter options specifically */
1007 /*               available for this test.                                    */
1008 /*                                                     */
1009 /*****
1010 void show_help()
1011 {
1012     printf("\n");
1013     printf("Power management tool for Garz & Fricke LIVIUS.\n");
1014     printf("\n");
1015     printf("Usage: pman [OPTIONS]\n");
1016     printf("  -h, --help          show this help and exit\n");
1017     printf("  -s, --status        print current system status\n");
1018     printf("  -v, --verbose       increase verbosity level\n");
1019     printf("  -q, --quiet         decrease verbosity level\n");
1020 }
1021
1022 /*****
1023  */
1024 /* Function:    main                                    */
1025 /*                                                     */
1026 /* Description: Entry point to the program. It parses all the command line  */
1027 /*               inputs, sets up the initial system state and runs the      */
1028 /*               infinite loop of the program.                                */
1029 /*                                                     */
1030 /* Input:       None.                                    */
1031 /*                                                     */
1032 /* Return:      On failure - negative errno return code                       */
1033 /*               On success - '0' return code.                               */
1034 /*                                                     */
1035 /*****
1036 int main(int argc, char* argv[])
1037 {
1038     struct system_state *current_state = malloc(sizeof(struct system_state));
1039     struct weather_entry *weather_data_start;
1040     struct weather_entry weather_data[48];
1041     int opt, i, show_status=0;
1042     time_t prediction_time, next_active_time;
1043
1044     /* options definition */
1045     const char* const shortopts = "shvq";
1046     struct option longopts[] = {
1047         {"help"          , 0, NULL, 'h'},
1048         {"status"        , 0, NULL, 's'},
1049         {"verbose"       , 0, NULL, 'v'},
1050         {"quiet"         , 0, NULL, 'q'},
1051         {0, 0, 0, 0}     /* Array always terminates with a NULL option. */
1052     };
1053
1054     /* parsing options */
1055     while((opt = getopt_long(argc, argv, shortopts, longopts, NULL)) != -1) {
```



```
1056     switch(opt) {
1057     case 's':
1058         show_status = 1;
1059         break;
1060     case 'h':
1061         show_help();
1062         return 1;
1063         break;
1064     case 'v':
1065         verbosity += 1;
1066         break;
1067     case 'q':
1068         verbosity -= 1;
1069         break;
1070     case ':':
1071         printf("ERROR: Option needs a value.\n");
1072         show_help();
1073         return 1;
1074         break;
1075     case '?':
1076         printf("ERROR: Unknown option: %c\n", optopt);
1077         show_help();
1078         return 1;
1079         break;
1080     default:
1081         show_help();
1082         return 1;
1083     break;
1084     }
1085 }
1086
1087 /* always enable backup battery fall back */
1088 sysfs_gpio_write_value(VBAK5V_EN, 1);
1089 sysfs_gpio_write_value(KB_LED_EN, 1);
1090
1091 /* set values for the first list element */
1092 get_current_system_state(current_state);
1093 current_state->next = NULL;
1094 current_state->prev = NULL;
1095 current_state->time = time(NULL);
1096 set_power_level(current_state, P10);
1097
1098 /* print current status */
1099 if(show_status) {
1100     print_system_status(current_state);
1101     return 0;
1102 }
1103
1104 /* parse weather data array */
1105 for(i=0; i<48; i++) {
1106     weather_data[i].time = weather_forecast_testing_4h[i].time + time(NULL);
1107     weather_data[i].condition = weather_forecast_testing_4h[i].condition;
1108     //weather_data[i].time = weather_forecast_testing_night[i].time + time(NULL);
1109     //weather_data[i].condition = weather_forecast_testing_night[i].condition;
1110 }
1111
1112 weather_data_start = &weather_data[0];
1113
1114 /* main loop */
1115 while(1) {
```

A. Anhang

```
1116
1117     /* update system state values and set preferred power level */
1118     set_power_level(current_state, P10);
1119     current_state->time = time(NULL);
1120     get_current_system_state(current_state);
1121     PRINT_INFO(V_DEBUG, "current time is          %s", ctime(&(current_state->time)));
1122     PRINT_INFO(V_DEBUG, "current battery voltage: %.4fV\n", current_state->v_main_bat);
1123
1124     /* -----
1125      * active mode
1126      * ----- */
1127     toggle_active_mode(1);
1128
1129     /* do some task in active mode */
1130     log_to_file(LOG_PATH_MEASUREMENT, "measurement simulation\n");
1131     do_active_work();
1132
1133     /* -----
1134      * this is where the prediction happens
1135      * -----*/
1136     /* optimize current power level using prediction */
1137     prediction_time = time(NULL) + PREDICTION_HORIZON;
1138     optimize_system_state_predicted(current_state, prediction_time, weather_data_start);
1139
1140     PRINT_INFO(V_DEBUG, "switching to power level: %d\n", current_state->plevel->level);
1141
1142     log_system_state(LOG_PATH_STATES, current_state);
1143     log_system_state_list(LOG_PATH_PREDICTION, current_state);
1144
1145     /* delete predicted states */
1146     delete_list(&(current_state->next));
1147
1148     /* -----
1149      * passive mode
1150      * ----- */
1151     toggle_active_mode(0);
1152
1153     next_active_time = get_next_active_time(current_state);
1154     PRINT_INFO(V_DEBUG, "next active time will be %s", ctime(&next_active_time));
1155
1156     /* setting next RTC wakeup and go to sleep */
1157     sysfs_rtc_set_wakealarm(next_active_time);
1158     freeze_system();
1159 }
1160
1161 return 0;
1162 }
```

pman.h

```
1 #ifndef __INCLUDE_PMAN_H
2 #define __INCLUDE_PMAN_H
3
4 extern char *__progname;
5 extern char *iio_dir;
6
7 #endif /* __INCLUDE_PMAN_H */
```

sysfs_utils.c

```

1  /* useful set of sysfs util functionality
2  *
3  * Copyright (c) 2008 Jonathan Cameron
4  * Copyright (c) 2014 Richard Guenther
5  *
6  * This program is free software; you can redistribute it and/or modify it
7  * under the terms of the GNU General Public License version 2 as published by
8  * the Free Software Foundation.
9  */
10
11 #include <string.h>
12 #include <stdlib.h>
13 #include <ctype.h>
14 #include <stdio.h>
15 #include <stdint.h>
16 #include <dirent.h>
17 #include <errno.h>
18
19 #include "sysfs_utils.h"
20
21 /* Made up value to limit allocation sizes */
22 #define IIO_MAX_NAME_LENGTH 30
23 #define IIO_MAX_PATH_LENGTH 75
24
25 #define FORMAT_SCAN_ELEMENTS_DIR "%s/scan_elements"
26 #define FORMAT_TYPE_FILE "%s_type"
27
28 /* GPIO */
29 #define SYSFS_GPIO_PATH          "/sys/class/gpio"
30 #define SYSFS_GPIO_VALUE_PATH   SYSFS_GPIO_PATH "gpio%d/value"
31 #define SYSFS_GPIO_EXPORT_PATH  SYSFS_GPIO_PATH "export"
32 #define SYSFS_GPIO_UNEXPORT_PATH SYSFS_GPIO_PATH "unexport"
33
34 /* ADC */
35 #define SYSFS_ADC_DEVICE        "/iio:device0"
36 #define SYSFS_ADC_CHANNEL_PATH  SYSFS_ADC_DEVICE "/in_voltage%d_raw"
37 #define SYSFS_ADC_SCALE_PATH    SYSFS_ADC_DEVICE "/in_voltage_scale"
38
39 /* RTC */
40 #define SYSFS_RTC_PATH          "/sys/class/rtc/rtc0/"
41
42 /* LED */
43 #define SYSFS_LED_PATH          "/sys/class/leds/"
44
45 char *iio_dir = "/sys/bus/iio/devices/";
46
47 inline int _write_sysfs_int(char *filename, char *basedir, int val, int verify)
48 {
49     int ret=0;
50     FILE *sysfsfp;
51     int test;
52     char *temp = malloc(strlen(basedir) + strlen(filename) + 2);
53     if (temp == NULL)
54         return -ENOMEM;
55     sprintf(temp, "%s/%s", basedir, filename);
56     sysfsfp = fopen(temp, "w");
57     if (sysfsfp == NULL) {
58         printf("failed to open %s\n", temp);

```

```
59     ret = -errno;
60     goto error_free;
61 }
62 fprintf(sysfsfp, "%d", val);
63 fclose(sysfsfp);
64 if (verify) {
65     sysfsfp = fopen(temp, "r");
66     if (sysfsfp == NULL) {
67         printf("failed to open %s\n", temp);
68         ret = -errno;
69         goto error_free;
70     }
71     fscanf(sysfsfp, "%d", &test);
72     fclose(sysfsfp);
73     if (test != val) {
74         printf("Possible failure in int write %d to %s%s\n",
75             val,
76             basedir,
77             filename);
78         ret = -1;
79     }
80 }
81 error_free:
82 free(temp);
83 return ret;
84 }
85
86 int write_sysfs_int(char *filename, char *basedir, int val)
87 {
88     return _write_sysfs_int(filename, basedir, val, 0);
89 }
90
91 int write_sysfs_int_and_verify(char *filename, char *basedir, int val)
92 {
93     return _write_sysfs_int(filename, basedir, val, 1);
94 }
95
96 int _write_sysfs_string(char *filename, char *basedir, char *val, int verify)
97 {
98     int ret = 0;
99     FILE *sysfsfp;
100     char *temp = malloc(strlen(basedir) + strlen(filename) + 2);
101     if (temp == NULL) {
102         printf("Memory allocation failed\n");
103         return -ENOMEM;
104     }
105     sprintf(temp, "%s/%s", basedir, filename);
106     sysfsfp = fopen(temp, "w");
107     if (sysfsfp == NULL) {
108         printf("Could not open %s\n", temp);
109         ret = -errno;
110         goto error_free;
111     }
112     fprintf(sysfsfp, "%s", val);
113     fclose(sysfsfp);
114     if (verify) {
115         sysfsfp = fopen(temp, "r");
116         if (sysfsfp == NULL) {
117             printf("could not open file to verify\n");
118             ret = -errno;
```

A. Anhang

```
119     goto error_free;
120 }
121 fscanf(sysfsfp, "%s", temp);
122 fclose(sysfsfp);
123 if (strcmp(temp, val) != 0) {
124     printf("Possible failure in string write of %s "
125           "Should be %s "
126           "written to %s\\%s\\n",
127           temp,
128           val,
129           basedir,
130           filename);
131     ret = -1;
132 }
133 }
134 error_free:
135     free(temp);
136
137     return ret;
138 }
139
140 /**
141  * write_sysfs_string_and_verify() - string write, readback and verify
142  * @filename: name of file to write to
143  * @basedir: the sysfs directory in which the file is to be found
144  * @val: the string to write
145  */
146 int write_sysfs_string_and_verify(char *filename, char *basedir, char *val)
147 {
148     return _write_sysfs_string(filename, basedir, val, 1);
149 }
150
151 /**
152  * write_sysfs_string() - string write
153  * @filename: name of file to write to
154  * @basedir: the sysfs directory in which the file is to be found
155  * @val: the string to write
156  */
157 int write_sysfs_string(char *filename, char *basedir, char *val)
158 {
159     return _write_sysfs_string(filename, basedir, val, 0);
160 }
161
162 /**
163  * read_sysfs_posint() - read positive int from sysfs
164  * @filename: name of file to read from
165  * @basedir: the sysfs directory in which the file is to be found
166  */
167 int read_sysfs_posint(char *filename, char *basedir)
168 {
169     int ret;
170     FILE *sysfsfp;
171     char *temp = malloc(strlen(basedir) + strlen(filename) + 2);
172     if (temp == NULL) {
173         printf("Memory allocation failed");
174         return -ENOMEM;
175     }
176     sprintf(temp, "%s/%s", basedir, filename);
177     sysfsfp = fopen(temp, "r");
178     if (sysfsfp == NULL) {
```

A. Anhang

```
179     ret = -errno;
180     goto error_free;
181 }
182 fscanf(sysfsfp, "%d\n", &ret);
183 fclose(sysfsfp);
184 error_free:
185     free(temp);
186     return ret;
187 }
188
189 /**
190  * read_sysfs_posint() - read float from sysfs
191  * @filename: name of file to read from
192  * @basedir: the sysfs directory in which the file is to be found
193  * @val: pointer to the variable in which the value is to be stored
194  */
195 int read_sysfs_float(char *filename, char *basedir, float *val)
196 {
197     float ret = 0;
198     FILE *sysfsfp;
199     char *temp = malloc(strlen(basedir) + strlen(filename) + 2);
200     if (temp == NULL) {
201         printf("Memory allocation failed");
202         return -ENOMEM;
203     }
204     sprintf(temp, "%s/%s", basedir, filename);
205     sysfsfp = fopen(temp, "r");
206     if (sysfsfp == NULL) {
207         ret = -errno;
208         goto error_free;
209     }
210     fscanf(sysfsfp, "%f\n", val);
211     fclose(sysfsfp);
212
213 error_free:
214     free(temp);
215     return ret;
216 }
217
218 /**
219  * sysfs_gpio_export() - export gpio
220  * @gpio: gpio number to export
221  */
222 int sysfs_gpio_export(unsigned int gpio)
223 {
224     return write_sysfs_int("export", SYSFS_GPIO_PATH, gpio);
225 }
226
227 /**
228  * sysfs_gpio_unexport() - unexport gpio
229  * @gpio: gpio number to unexport
230  */
231 int sysfs_gpio_unexport(unsigned int gpio)
232 {
233     return write_sysfs_int("unexport", SYSFS_GPIO_PATH, gpio);
234 }
235
236 /**
237  * sysfs_gpio_read_value() - read gpio value
238  * @gpio: gpio number to read value from
```

A. Anhang

```
239  /**/
240  int sysfs_gpio_read_value(unsigned int gpio)
241  {
242      int ret=0, result;
243      char *temp;
244
245      temp = malloc(strlen(SYSFS_GPIO_VALUE_PATH) + 2);
246      if (temp == NULL) {
247          printf("Memory allocation failed");
248          return -ENOMEM;
249      }
250      sprintf(temp, "gpio%d/value", gpio);
251
252      ret = write_sysfs_int("export", SYSFS_GPIO_PATH, gpio);
253      result = read_sysfs_posint(temp, SYSFS_GPIO_PATH);
254      ret = write_sysfs_int("unexport", SYSFS_GPIO_PATH, gpio);
255
256      free(temp);
257      if(ret != 0)
258          return ret;
259
260      return result;
261  }
262
263  /**
264   * sysfs_gpio_write_value() - write gpio value
265   * @gpio: gpio number to write value to
266   */
267  int sysfs_gpio_write_value(unsigned int gpio, int value)
268  {
269      int ret, result;
270      char *temp;
271
272      temp = malloc(strlen(SYSFS_GPIO_VALUE_PATH) + 2);
273      if (temp == NULL) {
274          printf("Memory allocation failed");
275          return -ENOMEM;
276      }
277      sprintf(temp, "gpio%d/value", gpio);
278
279      ret = write_sysfs_int("export", SYSFS_GPIO_PATH, gpio);
280      ret = write_sysfs_int(temp, SYSFS_GPIO_PATH, value);
281      ret = write_sysfs_int("unexport", SYSFS_GPIO_PATH, gpio);
282
283      free(temp);
284      return ret;
285  }
286
287  /**
288   * sysfs_adc_read_channel() - read float value from adc channel
289   * @channel: iio channel number to read value from
290   */
291  float sysfs_adc_read_channel(unsigned int channel)
292  {
293      int ret;
294      int raw_value;
295      float raw_scale;
296      char adc_channel_path[IIO_MAX_PATH_LENGTH];
297
298      snprintf(adc_channel_path, IIO_MAX_PATH_LENGTH, SYSFS_ADC_CHANNEL_PATH, channel);
```

A. Anhang

```
299
300 raw_value = read_sysfs_posint(adc_channel_path, iio_dir);
301 ret = read_sysfs_float(SYSFS_ADC_SCALE_PATH, iio_dir, &raw_scale);
302 if(ret != 0)
303     return ret;
304
305 return (raw_scale * raw_value);
306 }
307
308 /**
309  * sysfs_rtc_read_time() - read time from rtc in UNIX format
310  */
311 int sysfs_rtc_read_time(void)
312 {
313     return read_sysfs_posint("since_epoch", SYSFS_RTC_PATH);
314 }
315
316 /**
317  * sysfs_rtc_read_wakealarm() - read wakealarm from rtc
318  */
319 int sysfs_rtc_read_wakealarm(void)
320 {
321     return read_sysfs_posint("wakealarm", SYSFS_RTC_PATH);
322 }
323
324 /**
325  * sysfs_rtc_reset_wakealarm() - reset the rtc wakealarm by setting it to 0
326  * @channel: iio channel number to read value from
327  */
328 int sysfs_rtc_reset_wakealarm(void)
329 {
330     return write_sysfs_int("wakealarm", SYSFS_RTC_PATH, 0);
331 }
332
333 /**
334  * sysfs_rtc_set_wakealarm() - set the rtc wakealarm
335  * @time: alarm time in UNIX format
336  */
337 int sysfs_rtc_set_wakealarm(int time)
338 {
339     sysfs_rtc_reset_wakealarm();
340     return write_sysfs_int("wakealarm", SYSFS_RTC_PATH, time);
341 }
342
343 /**
344  * sysfs_rtc_set_wakealarm() - set the rtc wakealarm
345  * @time: alarm time in UNIX format
346  */
347 int sysfs_led_set_brightness(char *led_name, int brightness)
348 {
349     return write_sysfs_int(led_name, SYSFS_LED_PATH, brightness);
350 }
```

sysfs_utils.h

```
1 #ifndef __INCLUDE_SYSFS_UTILS_H
2 #define __INCLUDE_SYSFS_UTILS_H
3
4 char *iio_dir;
```


A. Anhang

```
5
6 /* gpios */
7 int sysfs_gpio_export(unsigned int gpio);
8 int sysfs_gpio_unexport(unsigned int gpio);
9 int sysfs_gpio_read_value(unsigned int gpio);
10 int sysfs_gpio_write_value(unsigned int gpio, int value);
11
12 /* adc */
13 float sysfs_adc_read_channel(unsigned int channel);
14
15 /* rtc */
16 int sysfs_rtc_read_time(void);
17 int sysfs_rtc_set_wakealarm(int time);
18 int sysfs_rtc_read_wakealarm(void);
19 int sysfs_rtc_reset_wakealarm(void);
20
21 #endif /* __INCLUDE_SYSFS_UTILS_H */
```

weather.h

```
1 #ifndef __INCLUDE_WEATHER_H
2 #define __INCLUDE_WEATHER_H
3
4 /*
5  * Using this header file to store weather forecast data to keep the main program clean
6  * THIS IS FOR TESTING ONLY
7  */
8
9 #include "pman.h"
10
11 struct weather_entry {
12     int    time;        /* entry time */
13     int    condition;   /* weather condition */
14 };
15
16 /* weather forecast data for 2 days */
17 struct weather_entry weather_forecast_real[] = {
18     { 0, 0 },
19     { 1200, 0 },
20     { 2400, 0 },
21     { 3600, 0 },
22     { 4800, 0 },
23     { 6000, 0 },
24     { 7200, 0 },
25     { 8400, 76000 },
26     { 9600, 142000 },
27     { 10800, 198000 },
28     { 12000, 238000 },
29     { 13200, 261000 },
30     { 14400, 268000 },
31     { 15600, 257000 },
32     { 16800, 229000 },
33     { 18000, 185000 },
34     { 19200, 126000 },
35     { 20400, 59000 },
36     { 21600, 0 },
37     { 22800, 0 },
38     { 24000, 0 },
39     { 25200, 0 },
40     { 26400, 0 },
41     { 27600, 0 },
42     { 28800, 0 },
43     { 30000, 0 },
44     { 31200, 0 },
45     { 32400, 0 },
46     { 33600, 0 },
47     { 34800, 0 },
48     { 36000, 0 },
49     { 37200, 76000 },
50     { 38400, 142000 },
51     { 39600, 198000 },
52     { 40800, 238000 },
53     { 42000, 261000 },
54     { 43200, 268000 },
55     { 44400, 257000 },
56     { 45600, 229000 },
57     { 46800, 185000 },
58     { 48000, 126000 },
```

A. Anhang

```
59 { 49200, 59000 },
60 { 50400, 0 },
61 { 51600, 0 },
62 { 52800, 0 },
63 { 54000, 0 },
64 { 55200, 0 },
65 { 56400, 0 },
66 { 0, 0 },
67 };
68
69 /* weather forecast data for an 8h measurement */
70 struct weather_entry weather_forecast_testing_8h[] = {
71 { 0, 483000 },
72 { 1200, 483000 },
73 { 2400, 483000 },
74 { 3600, 0 },
75 { 4800, 0 },
76 { 6000, 0 },
77 { 7200, 483000 },
78 { 8400, 483000 },
79 { 9600, 483000 },
80 { 10800, 0 },
81 { 12000, 0 },
82 { 13200, 0 },
83 { 14400, 483000 },
84 { 15600, 483000 },
85 { 16800, 483000 },
86 { 18000, 0 },
87 { 19200, 0 },
88 { 20400, 0 },
89 { 21600, 0 },
90 { 22800, 0 },
91 { 24000, 0 },
92 { 25200, 0 },
93 { 26400, 0 },
94 { 27600, 0 },
95 { 28800, 483000 },
96 { 30000, 483000 },
97 { 31200, 483000 },
98 { 32400, 0 },
99 { 33600, 0 },
100 { 34800, 0 },
101 { 36000, 483000 },
102 { 37200, 483000 },
103 { 38400, 483000 },
104 { 39600, 0 },
105 { 40800, 0 },
106 { 42000, 0 },
107 { 43200, 483000 },
108 { 44400, 483000 },
109 { 45600, 483000 },
110 { 46800, 0 },
111 { 48000, 0 },
112 { 49200, 0 },
113 { 50400, 0 },
114 { 51600, 0 },
115 { 52800, 0 },
116 { 54000, 0 },
117 { 55200, 0 },
118 { 56400, 0 },
```

A. Anhang

```
119     { 0, 0 },
120 };
121
122 /* weather forecast data for an 4h measurement */
123 struct weather_entry weather_forecast_testing_4h[] = {
124     { 0, 0 },
125     { 600, 0 },
126     { 1200, 0 },
127     { 1800, 0 },
128     { 2400, 0 },
129     { 3000, 0 },
130     { 3600, 483000 },
131     { 4200, 483000 },
132     { 4800, 483000 },
133     { 5400, 0 },
134     { 6000, 0 },
135     { 6600, 0 },
136     { 7200, 0 },
137     { 7800, 0 },
138     { 8400, 0 },
139     { 9000, 0 },
140     { 9600, 0 },
141     { 10200, 0 },
142     { 10800, 483000 },
143     { 11400, 483000 },
144     { 12000, 483000 },
145     { 12600, 0 },
146     { 13200, 0 },
147     { 13800, 0 },
148     { 14400, 0 },
149     { 15000, 0 },
150     { 15600, 0 },
151     { 16200, 0 },
152     { 16800, 0 },
153     { 17400, 0 },
154     { 18000, 483000 },
155     { 18600, 483000 },
156     { 19200, 483000 },
157     { 20400, 0 },
158     { 21000, 0 },
159     { 21600, 0 },
160     { 22200, 0 },
161     { 22800, 0 },
162     { 23400, 0 },
163     { 24000, 0 },
164     { 24600, 0 },
165     { 25200, 0 },
166     { 25800, 483000 },
167     { 26400, 483000 },
168     { 27000, 483000 },
169     { 27600, 0 },
170     { 28800, 0 },
171     { 29400, 0 },
172     { 0, 0 },
173 };
174
175 /* weather forecast data for an 4h measurement (night) */
176 struct weather_entry weather_forecast_testing_night[] = {
177     { 0, 0 }, /* 00:00 */
178     { 600, 0 },
```

A. Anhang

```
179 { 1200, 0 },
180 { 1800, 0 },
181 { 2400, 0 },
182 { 3000, 0 },
183 { 3600, 0 },
184 { 4200, 0 },
185 { 4800, 0 },
186 { 5400, 0 },
187 { 6000, 0 },
188 { 6600, 0 },
189 { 7200, 0 },
190 { 7800, 0 },
191 { 8400, 0 },
192 { 9000, 0 },
193 { 9600, 0 },
194 { 10200, 0 },
195 { 10800, 0 },
196 { 11400, 0 },
197 { 12000, 0 },
198 { 12600, 0 },
199 { 13200, 0 },
200 { 13800, 0 },
201 { 14400, 0 },
202 { 15000, 0 },
203 { 15600, 0 },
204 { 16200, 0 },
205 { 16800, 0 },
206 { 17400, 0 },
207 { 18000, 0 },
208 { 18600, 0 },
209 { 19200, 0 },
210 { 20400, 0 },
211 { 21000, 0 },
212 { 21600, 0 },
213 { 22200, 0 },
214 { 22800, 0 },
215 { 23400, 0 },
216 { 24000, 0 },
217 { 24600, 0 },
218 { 25200, 0 },
219 { 25800, 0 },
220 { 26400, 0 },
221 { 27000, 0 },
222 { 27600, 0 },
223 { 28800, 0 },
224 { 29400, 0 },
225 { 0, 0 },
226 };
227
228 #endif /* __INCLUDE_WEATHER_H */
```

Versicherung über die Selbstständigkeit

Hiermit versichere ich, dass ich die vorliegende Arbeit im Sinne der Prüfungsordnung nach §16 APSO-TI-BM ohne fremde Hilfe selbstständig verfasst und nur die angegebenen Hilfsmittel benutzt habe. Wörtlich oder dem Sinn nach aus anderen Werken entnommene Stellen habe ich unter Angabe der Quellen kenntlich gemacht.

Hamburg, 15.04.2014

Ort, Datum

Unterschrift